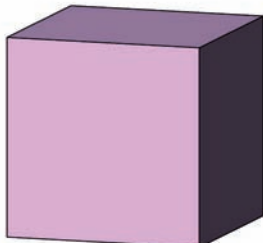


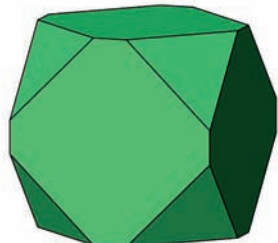
HALLESCHES JAHRBUCH FÜR GEOWISSENSCHAFTEN

BEIHEFT 30

Fluorit:

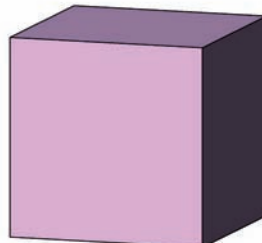


Hexaeder

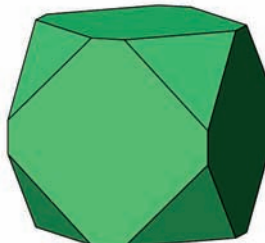


Hexaeder
Oktaeder

Fluorita:



Hexaedro (cubo)



Hexaedro
Octaedro

HERBERT PÖLLMANN & MARCONDES LIMA DA COSTA

SYMMETRIEN	SIMETRIA
DIE 32 PUNKTGRUPPEN	OS 32 GRUPOS DE PONTOS
MINERALE UND IHRE FORMEN	MINERAIS E SUAS FORMAS



HALLE (SAALE) 2013

Mitarbeit	Colaboracão
DIPL.MIN. CHRIS STRAUB	PROF.DR. ROMULO SIMÕES ANGÉLICA
JOÃO VICTOR BORGES FEIO	CAIO ALVES DE MORAES
TIAGO MASCARENHAS AGUIAR	CHIMEDNOROV OTGONBAYAR
FRANZiska SETZER	LEONARDO BOIADEIRO AYRES NEGRAO
MATEUS MARCHADO MORGADO	MAURICE PAWLIK
FLAVIA SUYANE RODRIGUES SANTOS	

Titelbild / **Imagen da capa**
Fluorit / **Fluorita**

HALLESCHES JAHRBUCH FÜR GEOWISSENSCHAFTEN

Herausgeber

**Institut für Geowissenschaften und Geographie
der Martin - Luther Universität Halle-Wittenberg**

G. BORG M. FRÜHAUF
C. GLÄSSER H. HEINISCH W. KÜHLING C. LEMPP
H. PÖLLMANN W. THOMI P. WYCISK

Schriftleitung

D. MERTMANN T. DEGEN S. STÖBER

BEIHEFT 30

Halle (Saale) 2013
Institut für Geowissenschaften und Geographie
der Martin - Luther Universität Halle-Wittenberg



Anschrift von Herausgebern und Schriftleitung:

Martin-Luther-Universität Halle-Wittenberg
Institut für Geowissenschaften und Geographie
Von Seckendorff - Platz 3/4
D-06120 Halle (Saale)

e-mail: hjg@geo.uni-halle.de

Schriftleitung:

D. Mertmann T. Degen S. Stöber

P-ISSN: 2193-1313, E-ISSN: 2196-3622

© 2013 im Selbstverlag des Instituts für Geowissenschaften und Geographie
der Martin-Luther-Universität Halle-Wittenberg
Alle Rechte vorbehalten

Vorwort

Im vorliegenden zusammenfassenden Buch wird versucht, die Grundlagen der Kristallographie und insbesondere der Symmetrielehre in deutscher und portugiesischer Sprache darzustellen. Die Zusammenfassung der Symmetrielehre basierend auf den 32 Punktgruppen wird erweitert durch Anwendungsbeispiele der makroskopischen Form von wichtigen Mineralen sowie Hinweisen zu den Raumgruppen.

Die Zusammenarbeit zwischen deutschen und brasilianischen Wissenschaftlern über lange Jahre basiert hierbei nicht nur auf der Kooperation in wissenschaftlichen Projekten sondern wurde darüber hinaus auch durch einen regen Wissenschaftler- und Studentenaustausch weiter intensiviert. Die Unterstützung des Deutschen Akademischen Austauschdienstes (DAAD) auf deutscher Seite, bzw. Capes/Cnpq auf brasilianischer Seite soll an dieser Stelle besonders hervorgehoben werden.

Die Idee, Sprachbarrieren durch gemeinsame Grundlagenpublikationen abzubauen, ergab sich aus den Schwierigkeiten von Austauschstudenten, Vorlesungen und Übungen in einer fremden Sprache und zudem einer fremden Fachsprache zu verstehen. Oft werden fehlende Kenntnisse der deutschen oder portugiesischen Sprache dann über Englisch ausgeglichen.

Das Buch ist vor allem dahingehend ausgerichtet, zu helfen, erste Sprachbarrieren zu überwinden und entsprechendes Grundlagenwissen anschaulich darzustellen. Durch die Komplexität des Gesamtgebietes kann hier natürlich nur ein kleiner Ausschnitt aufgezeigt werden, der trotzdem Basisdaten in beiden Sprachen darstellt und als Einführung verwendet werden kann.

Hier soll bewusst der Versuch unternommen werden, die für den Austausch zwischen Brasilien und Deutschland notwendigen Sprachen in den Vordergrund zu stellen. Es ist geplant, diese Zusammenstellung in den kommenden Jahren auszuweiten, zu vervollständigen sowie auch eine entsprechende Zusammenstellung in englischer Sprache zur Verfügung zu stellen.

Besonderer Dank gebührt Frau PD Dr. Dorothee Mertmann für die geduldige und hilfreiche Umsetzung des Manuskriptes in die vorliegende Endform.

Herbert Pöllmann, Halle, September 2013

Prefácio

O presente livro é uma introdução aos princípios da cristalografia, com ênfase principalmente ao ensino da simetria, usando para tal linguagem e apresentação gráfica a mais clara possível, em dois idiomas, alemão e português.

A cooperação científica duradoura, por décadas, entre pesquisadores alemães e brasileiros, não esteve centrada tão somente em projetos científicos, mas também na contínua e aprofundada formação de recursos humanos em quase todos os níveis, do graduado ao pós-doutorado. Para este sucesso continuado foi muito importante, e continua sendo, o apoio do DAAD pelo lado Alemão e do CNPq e CAPES pelo lado brasileiro.

A ideia para amenizar as barreiras de idiomas surgiu por ocasião das aulas ministrada e durante a discussão e o desenvolvimento de projetos de pesquisas conjuntos, que nos levaram a elaborar publicações introdutórias em conjunto. Em geral se tenta corrigir a falta de conhecimento da língua alemã ou portuguesa através da inglesa, o que nem sempre é óbvia.

Portanto o presente o livro tem também como objetivo auxiliar nesta empreitada voltada para o intercâmbio de estudantes e pesquisadores do Brasil e da Alemanha.

Simplificando o ensino de simetria centrado nos 32 pontos de simetria é enriquecido com desenhos das formas dos minerais mais importantes, além de informações sobre os grupos espaciais. Planejamos enriquecer e ampliar este livro nos próximos anos, em uma nova edição mais completa, considerando inclusive uma edição em língua inglesa.

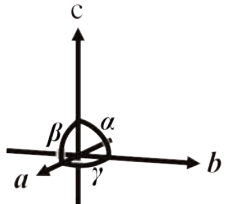
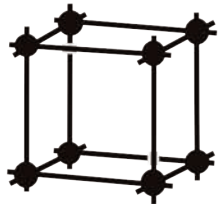
Este livro pensado para ajudar a amenizar as barreiras dos idiomas, também espera principalmente contribuir para uma visão geral do conhecimento sobre cristalografia e mineralogia. É claro que devido a complexidade e a amplitude do conhecimento na área de cristalografia e mineralogia, o presente livro é tão somente uma pequena amostra do mesmo, mesmo assim acreditamos que ao apresentá-lo nos dois idiomas, ele poderá ser utilizado como uma introdução a este vasto conhecimento.

Este livro pensado para ajudar a amenizar as barreiras dos idiomas, também espera principalmente contribuir para uma visão geral do conhecimento sobre cristalografia e mineralogia. É claro que devido a complexidade e a amplitude do conhecimento na área de cristalografia e mineralogia, o presente livro é tão somente uma pequena amostra do mesmo, mesmo assim acreditamos que ao apresentá-lo nos dois idiomas, ele poderá ser utilizado como uma introdução a este vasto conhecimento.

A tentativa em apresentar um texto resumido nos dois idiomas também deverá eliminar a lacuna existente nesta área do conhecimento, já que poderá ser um importante suporte aos estudantes.

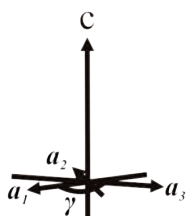
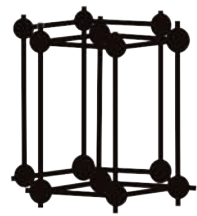
Marcondes Lima da Costa, Belem, September 2013

Die 7 Kristallsysteme



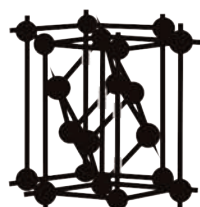
Kubisch:

$$\begin{aligned}a_0 &= b_0 = c_0 \\ \alpha &= \beta = \gamma = 90^\circ\end{aligned}$$



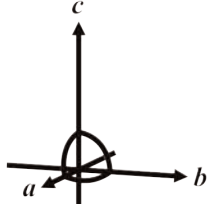
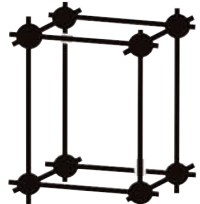
Hexagonal:

$$\begin{aligned}a_1 &= a_2 = a_3 \neq c_0 \\ \alpha &= \beta = 90^\circ; \gamma = 120^\circ\end{aligned}$$



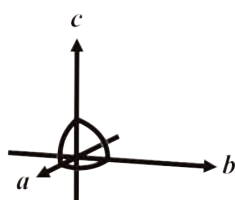
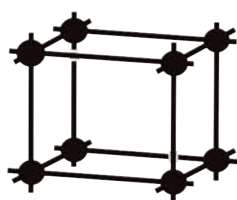
Rhomboedrisch:

$$\begin{aligned}a_1 &= a_2 = a_3 \\ \alpha_1 &= \alpha_2 = \alpha_3 \neq 90^\circ\end{aligned}$$



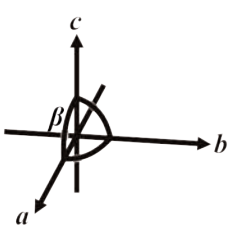
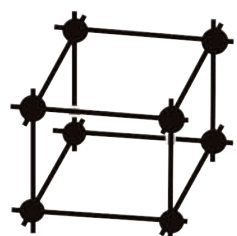
Tetragonal:

$$\begin{aligned}a_0 &= b_0 \neq c_0 \\ \alpha &= \beta = \gamma = 90^\circ\end{aligned}$$



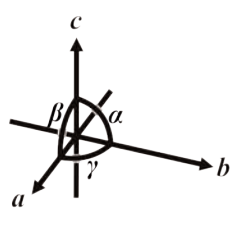
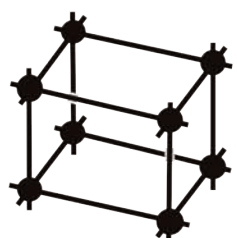
Orthorhombisch:

$$\begin{aligned}a_0 &\neq b_0 \neq c_0 \\ \alpha &= \beta = \gamma = 90^\circ\end{aligned}$$



Monoklin:

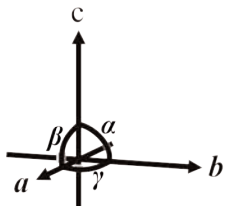
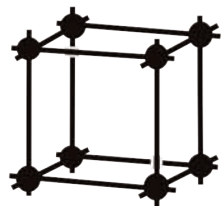
$$\begin{aligned}a_0 &\neq b_0 \neq c_0 \\ \alpha &= \gamma = 90^\circ; \beta \neq 90^\circ\end{aligned}$$



Triklin:

$$\begin{aligned}a_0 &\neq b_0 \neq c_0 \\ \alpha &\neq \beta \neq \gamma \neq 90^\circ\end{aligned}$$

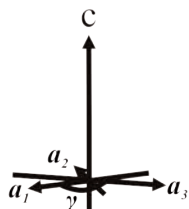
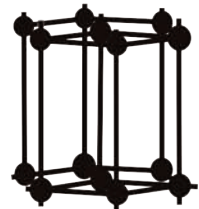
Os 7 sistemas cristalinos



Cúbico ou Isométrico:

$$a_0 = b_0 = c_0$$

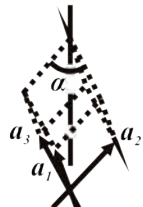
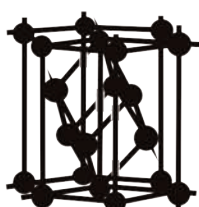
$$\alpha = \beta = \gamma = 90^\circ$$



Hexagonal:

$$a_1 = a_2 = a_3 \neq c_0$$

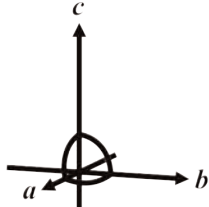
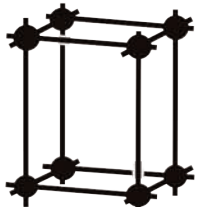
$$\alpha = \beta = 90^\circ; \gamma = 120^\circ$$



Romboédrico:

$$a_1 = a_2 = a_3 \neq c_0$$

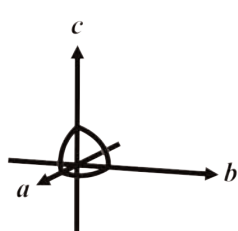
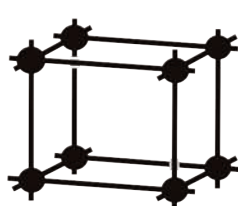
$$\alpha_1 = \alpha_2 = \alpha_3 \neq 90^\circ$$



Tetragonal:

$$a_0 = b_0 \neq c_0$$

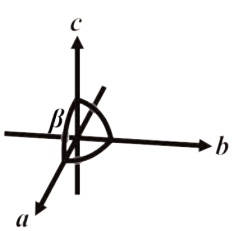
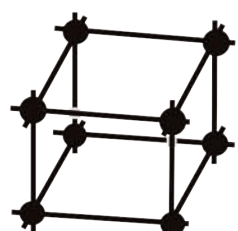
$$\alpha = \beta = \gamma = 90^\circ$$



Ortorrombico:

$$a_0 \neq b_0 \neq c_0$$

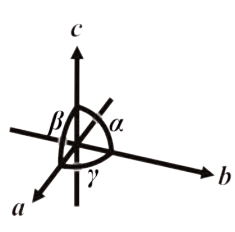
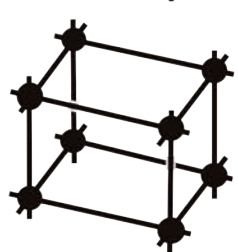
$$\alpha = \beta = \gamma = 90^\circ$$



Monoclínico:

$$a_0 \neq b_0 \neq c_0$$

$$\alpha = \gamma = 90^\circ; \beta \neq 90^\circ$$



Triclínico:

$$a_0 \neq b_0 \neq c_0$$

$$\alpha \neq \beta \neq \gamma \neq 90^\circ$$

Häufigkeit von Mineralen

Von 3510 bekannten Mineralen (Stand Mai 1993) sind:

Kubisch	5 Kristallklassen	346	9,9%
Hexagonal	7 Kristallklassen	326	9,3%
Trigonal - Rhomboedrisch	5 Kristallklassen	295	8,4%
Tetragonal	7 Kristallklassen	278	7,9%
Orthorhombisch	3 Kristallklassen	774	22%
Monoklin	3 Kristallklassen	1129	32,2%
Triklin	2 Kristallklassen	332	9,5%

Es gibt 30 Arten amorpher Minerale, sie machen 0,8% der Mineralvorkommen aus.
Aus „Minerale: Bestimmen nach äußereren Kennzeichen / HOCHLEITNER; PHILIPSBERN; WEINER“

Wirkung der verschiedenen Drehachsen

Name	Symbol	Wirkung
Inversion	* / i	Inversion am Zentrum
Zweizähnige Drehachse	1 / 2	Drehungen um 180°
Spiegelbare / inverse zweizähnige Drehachse.	m = 2	Spiegelung an einer Ebene
Dreizähnige Drehachse	▲ / 3	Drehungen um 120°
Inverse dreizähnige Drehachse.	Δ / 3̄	Drehungen um 120° und Inversion
Vierzählige Drehachse	◆ / 4	Drehungen um 90°
Inverse vierzählige Drehachse	◊ / 4̄	Drehungen um 90° und Inversion
Sechszähnige Drehachse	■ / 6	Drehungen um 60°
Inverse sechszähnige Drehachse	▲ / 6̄	Drehungen um 60° und Inversion

Freqüência dos Minerais

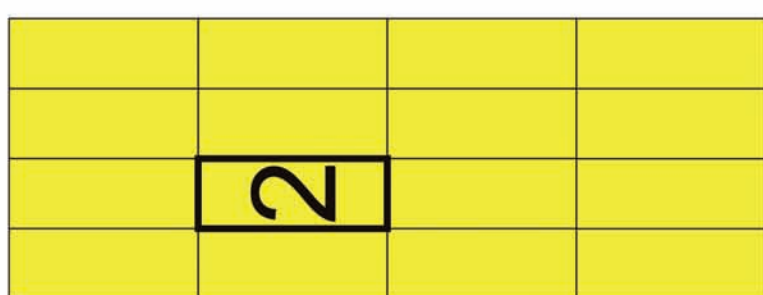
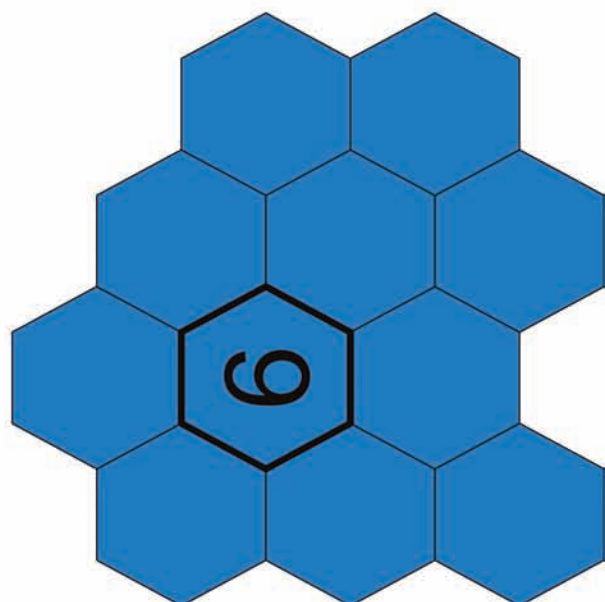
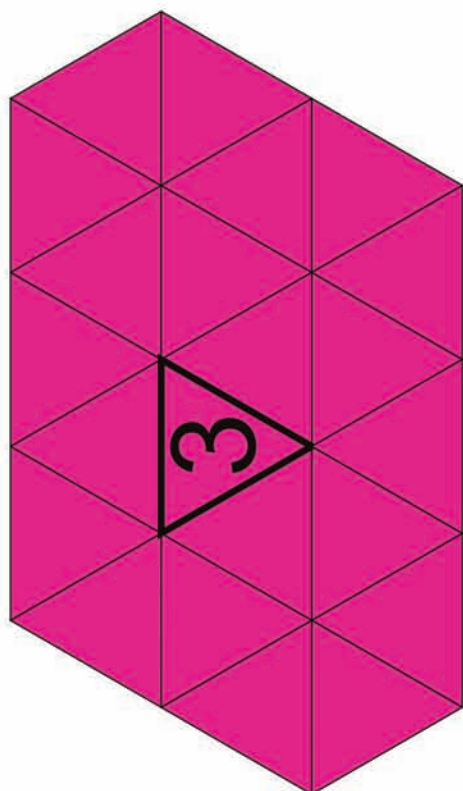
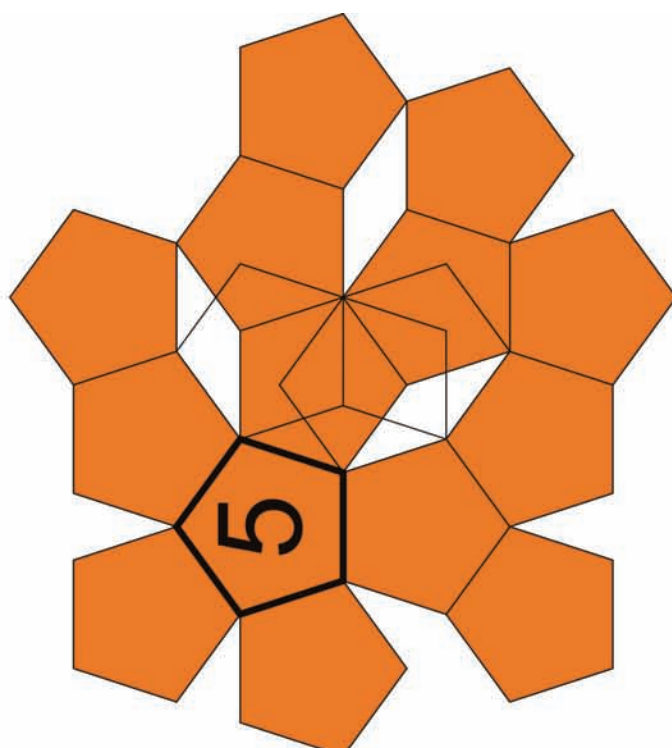
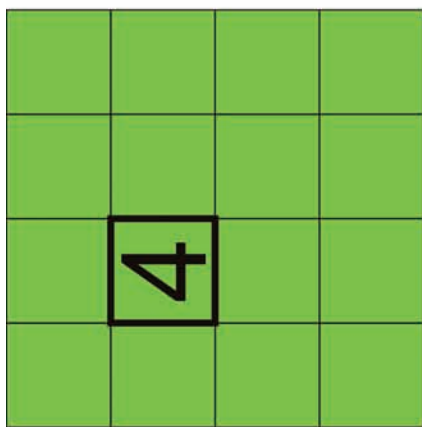
Os 3510 minerais conhecidos até maio de 1993 distribuem-se da seguinte forma:

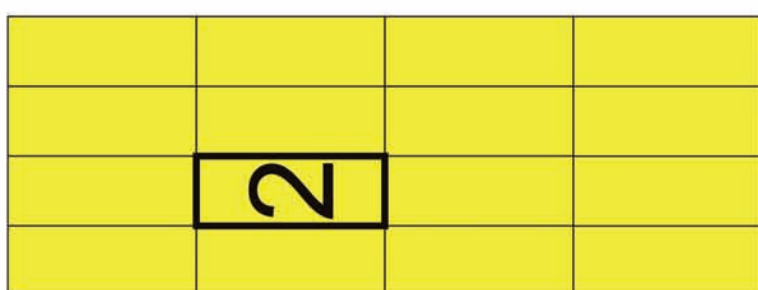
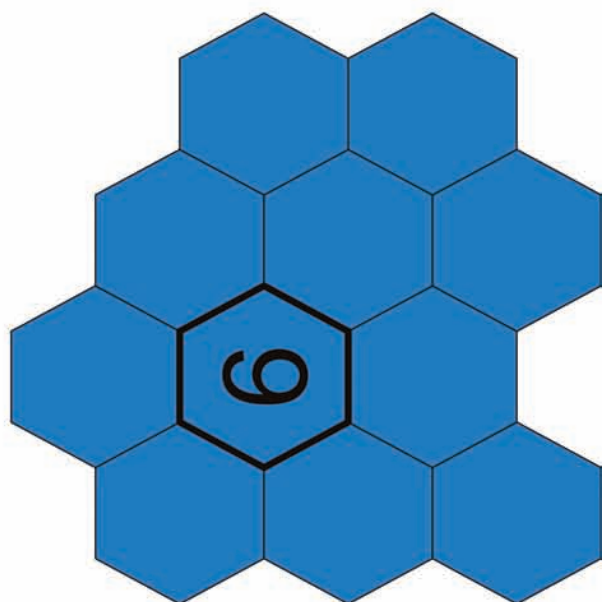
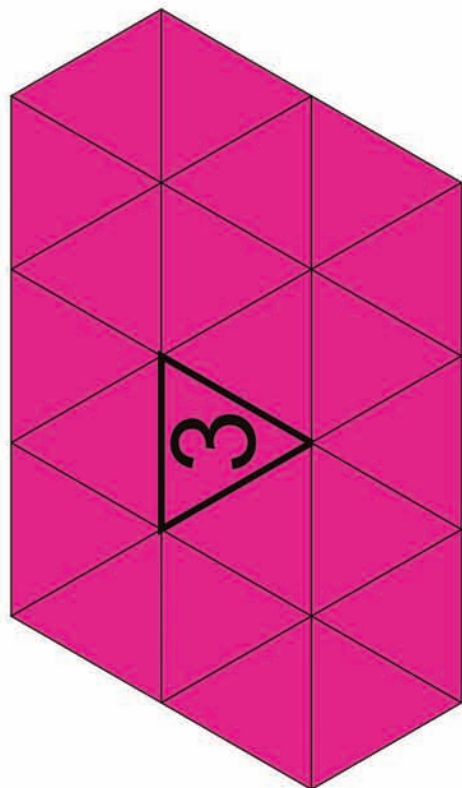
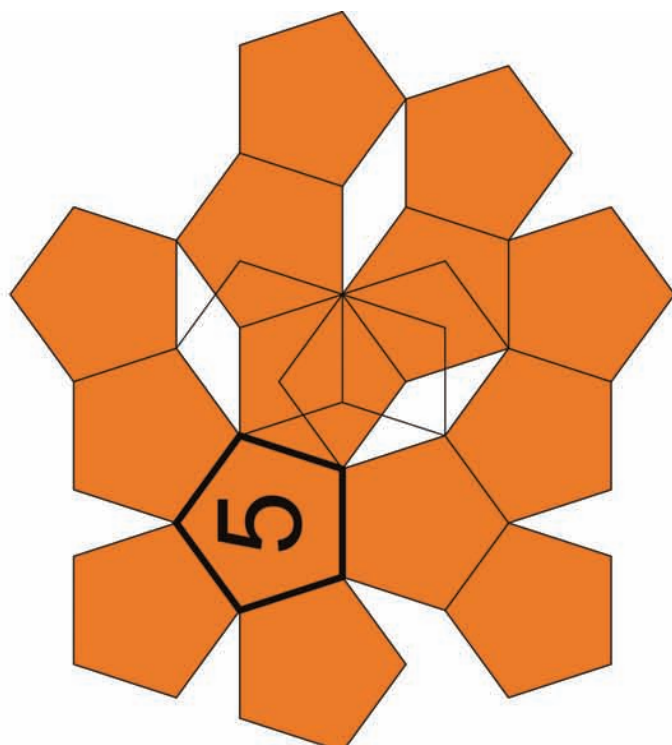
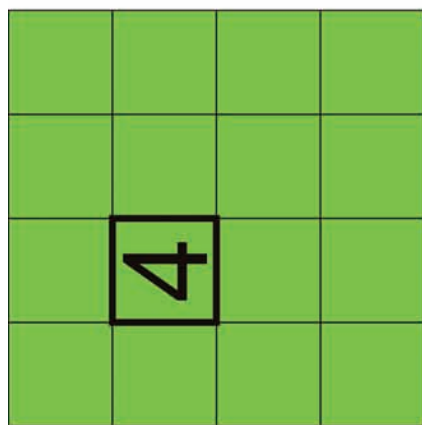
Sistemas	Grupo de Pontos/classes cristalinas	Espécies de minerais	Frequência em percentagem
Isométrico	5	346	9,9%
Hexagonal	7	326	9,3%
Romboédrico	5	295	8,4%
Tetragonal	7	278	7,9%
Ortorrômico	3	774	22%
Monoclínico	3	1129	32,2%
Triclínico	2	332	9,5%

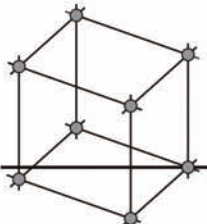
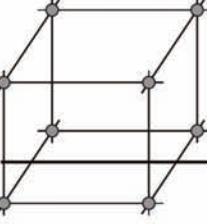
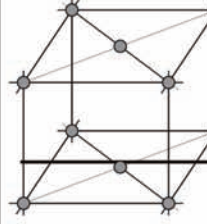
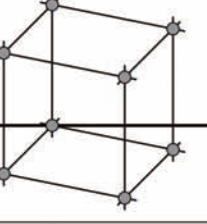
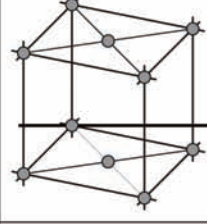
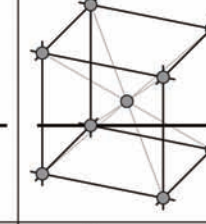
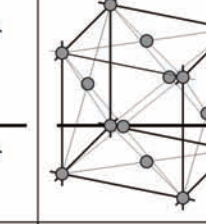
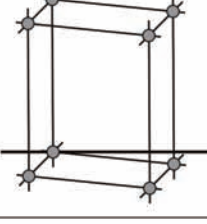
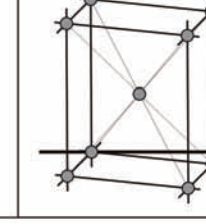
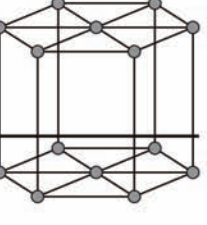
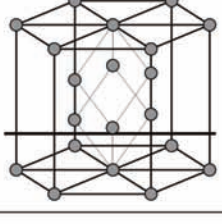
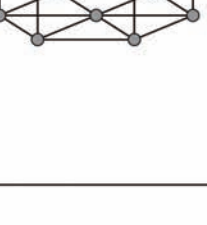
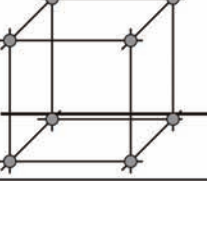
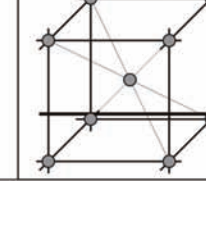
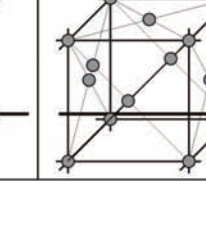
Os minerais amorfos envolvem 30 espécies, ou seja 0,8 % em frequência. Fonte: "Minerais: Identificação através de características externas / HOCHLEITNER; PHILIPSBERN; WEINER"

Efeitos dos diversos eixos de rotação

Nome	Símbolo	Efeito
Inversão (eixo unitário de inversão)	* / i	Centro de inversão
Eixo de rotação binária	♦ / 2	Rotação 180°
Plano de reflexão (Espelho)/ Eixo de rotação binária inversa	m = $\bar{2}$	Plano de Reflexão
Eixo de rotação ternária	▲ / 3	Rotação a 120°
Eixo de rotação ternária inversa	▲ / $\bar{3}$	Rotação a 120° mais inversão
Eixo de rotação quaternária	◆ / 4	Rotação a 90°
Eixo de rotação quaternária inversa	◆ / $\bar{4}$	Rotação a 90° mais inversão
Eixo de rotação senária	■ / 6	Rotação a 60°
Eixo de rotação senária inversa	▲ / $\bar{6}$	Rotação a 60° mais inversão



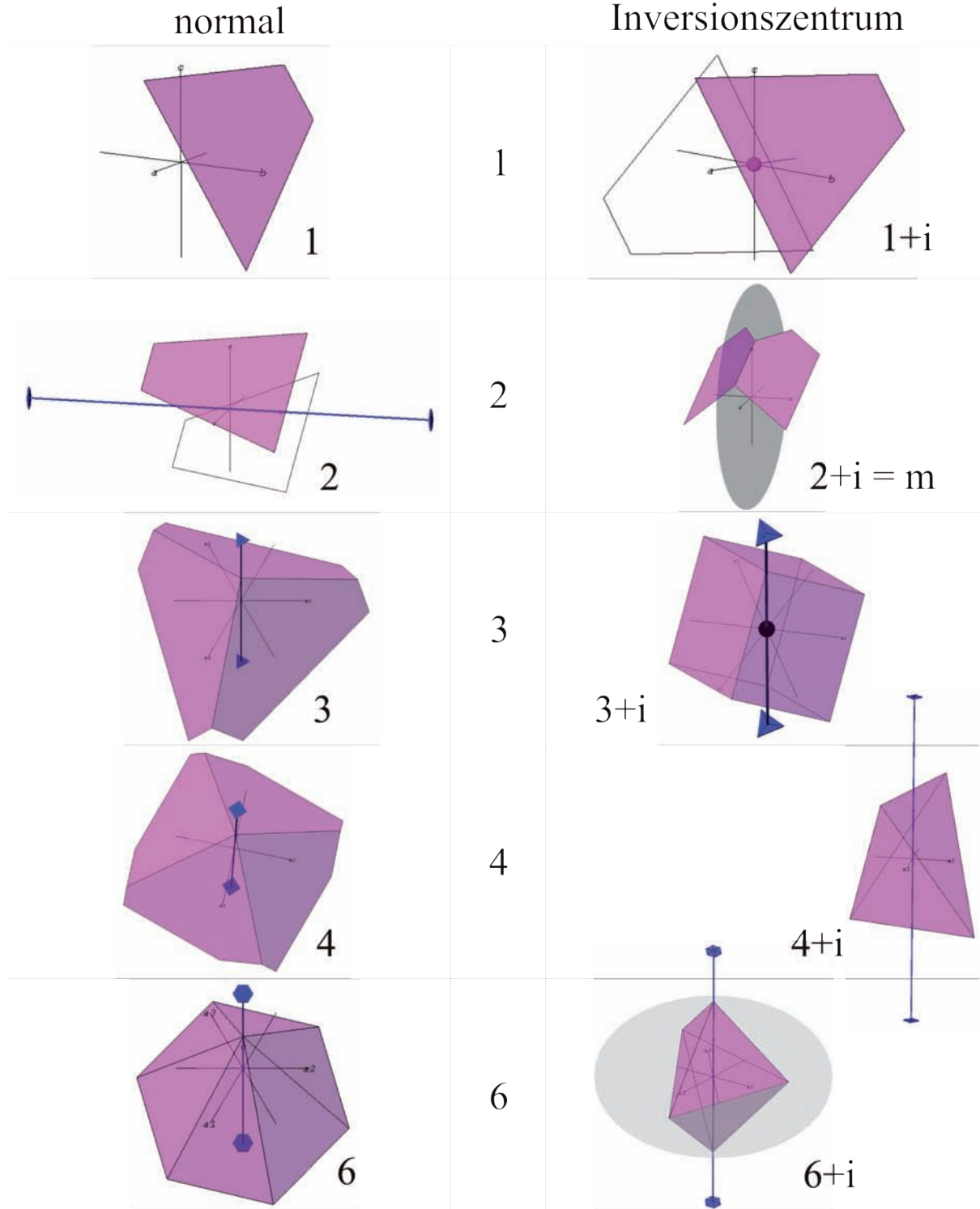


	P	C	I	F
triklin				
monoklin			identisch mit C-Gitter	identisch mit C-Gitter
ortho-rhombisch				
tetragonal		identisch mit P-Gitter		identisch mit I-Gitter
trigonal				
hexagonal				
kubisch		unmöglich		

	P	C	I	F
triclínico				
monoclínico			idêntico como retículo tipo C	idêntico como retículo tipo C
ortorrômbico				
tetragonal		idêntico como retículo tipo P		idêntico como retículo tipo I
trigonal				
hexagonal				
cúbico		impossível		

Die Symmetrieelemente

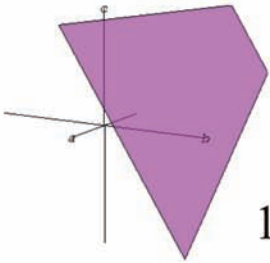
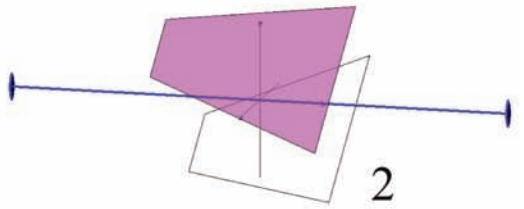
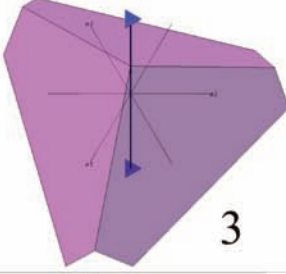
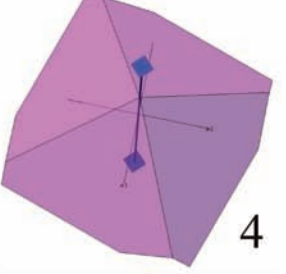
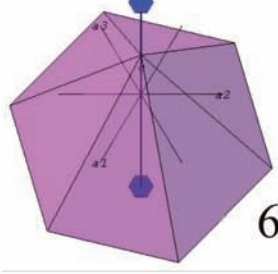
(normale Drehachsen, Drehachsen kombiniert mit Inversion)
kombiniert mit
Inversionszentrum



Os Elementos de Simetria

(eixos normal, eixos com centro de inversão)

Combinado com
centro de inversão

normal	
	1
	2
	3
	4
	6
	1
	2
	3
	4
	6
	1+i
	2+i = m
	3+i
	4+i
	6+i

Symmetrie	Symbole nach Schönlies	Symbol
(polare Drehachsen)	C_1	\bullet
Hermann-Mauguin	1	2
Kombination von Drehachsen und horizontalen Symmetrieebenen	C_{2h}	C_{4h}
Kombination von Drehachsen und vertikalen Symmetrieebenen	C_s	C_{2v}
Kombination von Drehachsen, horizontalen und vertikalen Symmetrieebenen	m	$mm2$
Kombination mit zweizähligen Drehachsen	D_{2h}	D_{4h}
Symmetriezentrum und Inversionsachsen	I	$I\overline{m}$
Hermann-Mauguin	$I\overline{m} (m)$	$I\overline{m} 2m$
Hermann-Mauguin	$I\overline{2}$	$I\overline{2} 2m$
Hermann-Mauguin	$2/m$	$3/m (\bar{1})$
Hermann-Mauguin	C_{2v}	C_{4v}
Hermann-Mauguin	$mm2$	$3m$
Schönlies	D_{2h}	D_{3h}
Hermann-Mauguin	mmm	$I\overline{m} 2m$
Schönlies	D_2	D_3
Hermann-Mauguin	222	32
Schönlies	C_i	C_{3i}
Hermann-Mauguin	$I\overline{m}$	$I\overline{m} (3/m)$
		\bullet

Simetria	Simbologia segundo	Simbologia					
		*	•	□	◆	◆	◆
<i>Schönflies</i> <i>(Eixos de rotação polar)</i>	C_1	C_2	C_3	C_4	C_6		
<i>Hermann-Mauguin</i>	1	2	3	4	6		
<i>Schönflies</i>		C_{2h}	C_{3h}	C_{4h}	C_{6h}		
<i>Hermann-Mauguin</i>		$2/m$	$\begin{matrix} 3/m \\ \varnothing \end{matrix}$	$4/m$	$6/m$		
<i>Schönflies</i>	C_s	C_{2v}	C_{3v}	C_{4v}	C_{6v}		
<i>Hermann-Mauguin</i>	m	$mm2$	$3m$	$4mm$	$6mm$		
<i>Schönflies</i>		D_{2h}	D_{3h}	D_{4h}	D_{6h}		
<i>Hermann-Mauguin</i>		mmm	$\begin{matrix} 1\varnothing 2m \\ \varnothing \end{matrix}$	$4/mmm$	$6/mmm$		
<i>Schönflies</i>		D_2	D_3	D_4	D_6		
<i>Hermann-Mauguin</i>		222	32	422	622		
<i>Schönflies</i>	C_i		C_{3i}	S_4			
<i>Hermann-Mauguin</i>	$I\bar{1}$	$I\bar{1}\cap(m)$	$I\bar{1}\cap m$	$I\bar{1}\rightarrow 2m$	$I\bar{1}\cap(3/m)$		
<i>Centro de simetria e eixo de inversão</i>							

Die 32 Punktgruppen

Kristallsystem	Triklin	Monoklin	Orthorhombisch	Trigonal	Hexagonal	Tetragonal	Kubisch
Holoedrie	$\bar{1}$	$\frac{2}{m}$	$\frac{2}{m} \frac{2}{m} \frac{2}{m}$	$\bar{3} \frac{2}{m}$	$\frac{6}{m} \frac{2}{m} \frac{2}{m}$	$\frac{4}{m} \frac{2}{m} \frac{2}{m}$	$\frac{4}{m} \bar{3} \frac{2}{m}$
Blickrichtung	- keine-	[010]	[100] [010] [001]	[001] [100] [1 $\bar{1}$ 0]	[001] [100] [1 $\bar{1}$ 0]	[001] [100] [1 $\bar{1}$ 0]	[001] [111] [1 $\bar{1}$ 0]
Punktgruppen	1	2	2 2 2	3	6	4	2 3

Os 32 Grupos de Pontos

Sistema Cristalino	Triclinico	Monoclínico	Ortorrombico	Trigonal	Hexagonal	Tetragonal	Cubico
Holoedria	$\bar{1}$	$\frac{2}{m}$	$\frac{2\ 2\ 2}{m\ m\ m}$	$\bar{3}\ \frac{2}{m}$	$\frac{6\ 2\ 2}{m\ m\ m}$	$\frac{4\ 2\ 2}{m\ m\ m}$	$\frac{4}{m}\bar{3}\frac{2}{m}$
Perspectiva	- nenhuma	[010]	[100] [010] [001]	[001] [100]	[001] [100] [110]	[001] [100] [110]	[001] [111] [1\bar{1}0]
Grupos de Pontos	1	2	2 2 2	3	6	4	2 3

Die 32 Kristallklassen

Anzahl der Klassen	Bezeichnung nach Herman-Mauguin		Bezeichnung der Kristallklasse
	komplett	abgekürzt	
Triklines System			
2 Klassen	1	1	Triklin Pedial
	-1	-1	Triklin Pinakoidal
Monoklines System			
3 Klassen	2/m	2/m	Monoklin Prismatisch
	m	m	Monoklin Domatisch
	2	2	Monoklin Sphenoid
Orthorombisches System			
3 Klassen	2/m2 /m/m	mmm	Orthorombisch Dipyramidal
	mm2	mm2	Orthorombisch Pyramidal
	222	222	Orthorombisch Disphenoid
Tetragonales System			
7 Klassen	4/m2/m2/m	4/m mm	Ditetragonal Dipyramidal
	4mm	4mm	Ditetragonal Pyramidal
	422	422	Tetragonal Trapezoedrisch
	4/m	4/m	Tetragonal Dipyramidal
	4	4	Tetragonal Pyramidal
	4-2 m	4-2 m	Tetragonal Skalenoedrisch
	-4	-4	Tetragonal Disphenoidisch
Hexagonales System:			
7 Klassen	6/m2/m2/m	6/m mm	Dihexagonal Dipyramidal
	6mm	6mm	Dihexagonal Pyramidal
	622	622	Hexagonal Trapezoedrisch
	6/m	6/m	Hexagonal Dipyramidal
	6	6	Hexagonal Pyramidal
	-6m2	-6m2	Ditrigonal Dipyramidal
	-6	-6	Trigonal Dipyramidal
Trigonales System:			
5 Klassen	-3 2m	-3m	Ditrigonal Skalenoedrisch
	3m	3m	Ditrigonal Pyramidal
	32	32	Trigonal Trapezoedrisch
	3	3	Trigonal Pyramidal
	-3	-3	Trigonal Rhomboedrisch
Kubisches System			
5 Klassen	4/m-3 2/m	m3m	Hexakisoktaedrisch
	432	432	Pentagonikositetraedrisch
	2/m -3	m3	Disdodekaedrisch
	-4 3m	-4 3m	Hexakistetraedrisch
	23	23	Tetraedrisch Pentagondodekaedrisch

As 32 classes de simetria

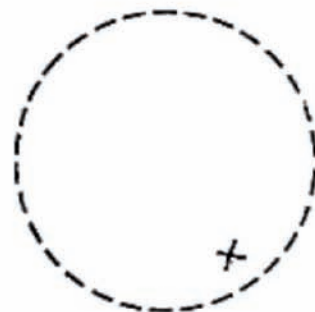
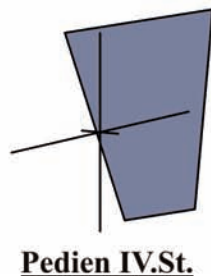
Número de classes	Índices de Hermann-Mauguin		Denominação da classe
	completos	abreviados	
Sistema triclinico:			
2 classes	1	1	classe pinacoidal
	-1	-1	classe pedial
Sistema monoclinico:			
3 classes	2/m	2/m	classe prismática
	m	m	classe domática
	2	2	classe esfenóidica
Sistema ortorrômbico:			
3 classes	2/m2 /m/m	mmm	classe dipiramidal ortorrômbica
	mm2	mm2	classe piramidal ortorrômbica
	222	222	classe diesfenóidica ortorrômbica
Sistema tetagonal:			
7 classes	4/m2/m2/m	4/mmm	classe dipiramidal ditetagonal
	4mm	4mm	classe piramidal ditetagonal
	422	422	classe trapezoédrica tetagonal
	4/m	4/m	classe dipiramidal tetagonal
	4	4	classe piramidal tetagonal
	4-2 m	4-2 m	classe escalenoédrica tetagonal
	-4	-4	classe diesfenóidica tetagonal
Sistema hexagonal: -1 -2 -4 -6 -3			
7 classes	6/m2/m2/m	6/mmm	classe dipiramidal dihexagonal
	6mm	6mm	classe piramidal- dihexagonal
	622	622	classe trapezoédrica-hexagonal
	6/m	6/m	classe dipiramidal-hexagonal
	6	6	classe piramidal-hexagonal
	-6m2	-6m2	classe dipiramidal ditrigonal
	-6	-6	classe dipiramidal trigonal
Sistema trigonal:			
5 classes	-3 2m	-3m	classe escaenoédrica ditrigonal
	3m	3m	classe piramidal ditrigonal
	32	32	classe trapezoédrica trigonal
	3	3	classe piramidal trigonal
	-3	-3	classe romboédrica
Sistema cúbico ou isométrico:			
5 classes	4/m-3 2/m	m3m	classe hexaoctaédrica
	432	432	classe pentagontrioctaédrica
	2/m -3	m3	classe didodecaédrica
	-4 3m	-4 3m	classe hexatetraédrica
	23	23	classe pentagontritetrédrica

Triklines Kristallsystem

Trikline Hemiedrie
Triklin-pediale Klasse

Symbol: 1 oder C₁

Allgemeine Form:
 $\{hkl\}$



$\{0kl\}$	$\{h0l\}$	$\{hk0\}$
Pedien I.St.	Pedien II.St.	Pedien III.St.
$\{100\}$	$\{010\}$	$\{001\}$
I. Pedion	II. Pedion	III. Pedion

Mineral-Bsp.:

Sinnerite Cu₆As₄S₉

Hartite C₂₀H₃₄

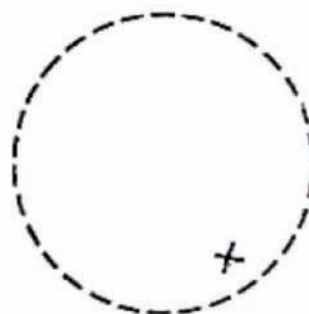
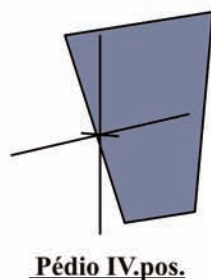
Nekoite Ca₃[Si₆O₁₅]^{*}7H₂O

Sistema Cristalino Triclínico

Hemiedria Triclínico
Classe pedal triclínica

Símbolo: 1 ou C₁

Forma geral:
 $\{hkl\}$



$\{0kl\}$	$\{h0l\}$	$\{hk0\}$
Pédio I.pos.	Pédio II.pos.	Pédio III.pos.
$\{100\}$	$\{010\}$	$\{001\}$
I. Pédio	II. Pédio	III. Pédio

Exemplos de minerais:

Sinnerita Cu₆As₄S₉

Hartita C₂₀H₃₄

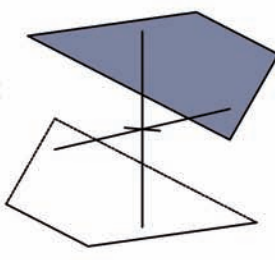
Nekoita Ca₃[Si₆O₁₅]^{*}7H₂O

Triklines Kristallsystem

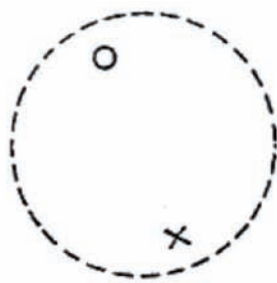
Trikline Holoedrie
Triklin-pinakoidale Klasse

Symbol: $\bar{1}$ oder C_i

Allgemeine Form:
 $\{hkl\}$



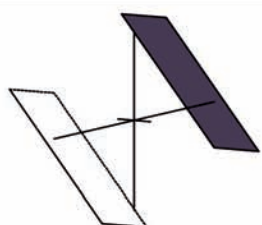
Pinakoide IV.St.



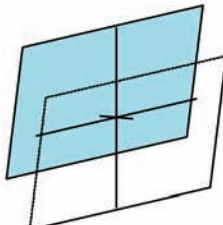
$\{0kl\}$

$\{h0l\}$

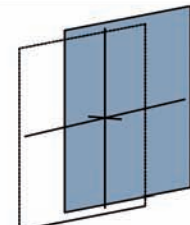
$\{hk0\}$



Pinakoide I.St.



Pinakoide II.St.

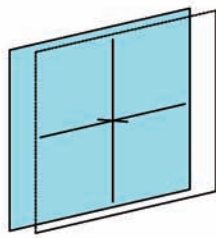


Pinakoide III.St.

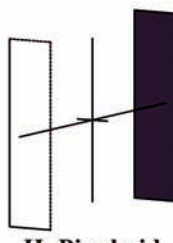
$\{100\}$

$\{010\}$

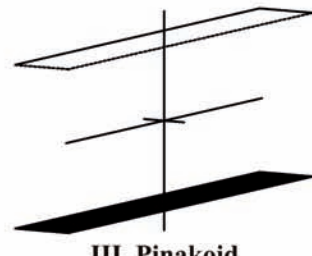
$\{001\}$



I. Pinakoid



II. Pinakoid



III. Pinakoid

Mineral-Bsp.:

Albit $\text{Na}[\text{AlSi}_3\text{O}_8]$

Kyanit/Disthen $\text{Al}_2[\text{O/SiO}_4]$

Wollastonit $\text{Ca}[\text{SiO}_3]$

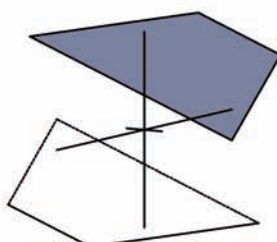
Axinit $\text{Ca}_2(\text{Fe,Mn})\text{Al}_2[\text{BO}_3\text{OH/Si}_4\text{O}_{12}]$

Sistema Cristalino Triclínico

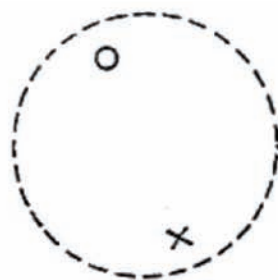
Holoedria Triclínico
Classe pinacoidal triclínica

Símbolo: $\bar{1}$ ou C_i

Forma geral:
 $\{hkl\}$



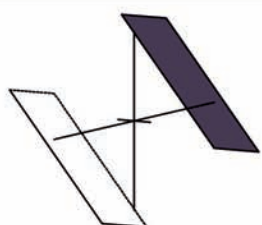
Pinacóide IV. pos.



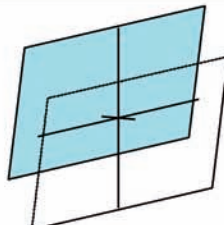
$\{0kl\}$

$\{h0l\}$

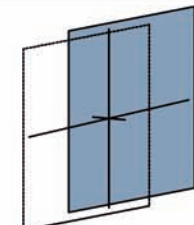
$\{hk0\}$



Pinacóide I. pos.



Pinacóide II. pos.

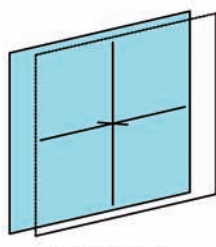


Pinacóide III. pos.

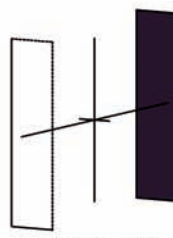
$\{100\}$

$\{010\}$

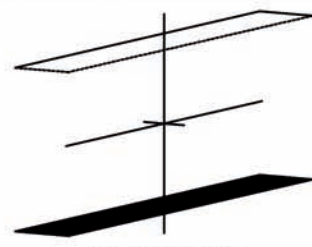
$\{001\}$



I. Pinacóide



II. Pinacóide



III. Pinacóide

Exemplos de Minerais:

Albita $\text{Na}[\text{AlSi}_3\text{O}_8]$

Cianita/Distênio $\text{Al}_2[\text{O/SiO}_4]$

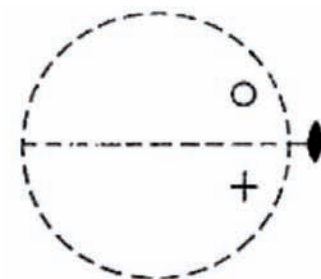
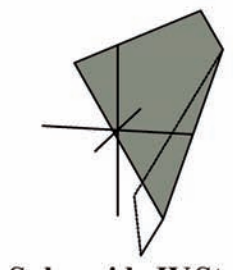
Wollastonita $\text{Ca}[\text{SiO}_3]$

Axinita $\text{Ca}_2(\text{Fe,Mn})\text{Al}_2[\text{BO}_3\text{OH/Si}_4\text{O}_{12}]$

Monoklines Kristallsystem

Monokline Hemimorphie Symbol: 2 oder C_2
 Monoklin-sphenoidische Klasse

Allgemeine Form:
 $\{hkl\}$

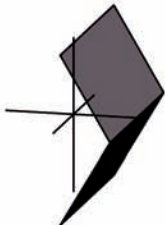


Sphenoide IV.St.

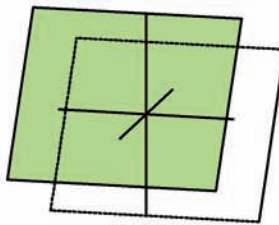
$\{0kl\}$

$\{h0l\}$

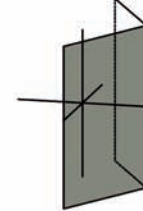
$\{hk0\}$



Sphenoide I.St.



Pinakoide II.St.

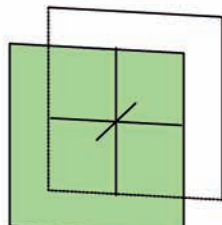


Sphenoide III.St.

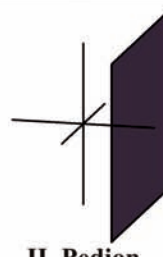
$\{100\}$

$\{010\}$

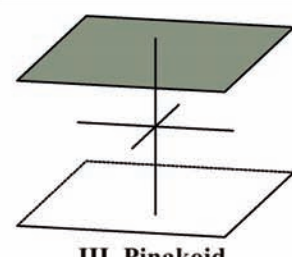
$\{001\}$



I. Pinakoid



II. Pedion



III. Pinakoid

Mineral-Bsp.:

(Rohr-/Kandis-)Zucker $C_{12}H_{22}O_{11}$

Weinsäure $C_4H_6O_6$

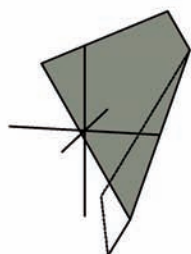
Latiumite $(Ca,K)_8(Al,Mg,Fe)[(Si,Al)_{10}O_{25}/(SO_4)]$

Sistema Cristalino Monoclínico

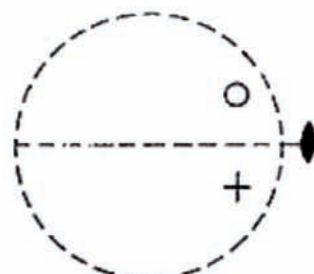
Monoclínico hemimorfite
Classe monoclínica-esfenoidal

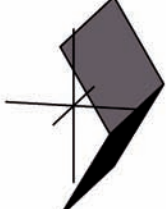
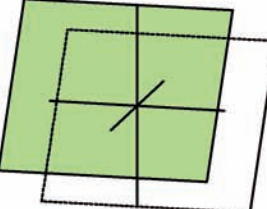
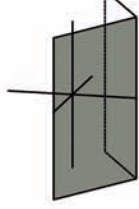
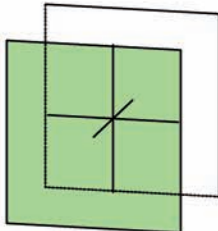
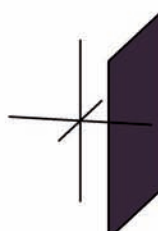
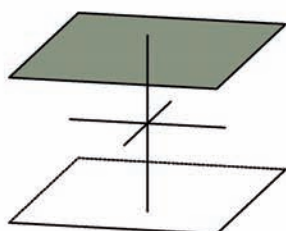
Símbolo: 2 ou C₂

Forma geral:
{hkl}



Esfenoide IV.pos.



{0kl}	{h0l}	{hk0}
		
<u>Esfenoide I.pos.</u>	<u>Pinacoide II.pos.</u>	<u>Esfenoide III.pos.</u>
{100}	{010}	{001}
		
<u>I. Pinacoide</u>	<u>II. Pédion</u>	<u>III. Pinacoide</u>

Exemplos de minerais:

Açucar de cana C₁₂H₂₂O₁₁

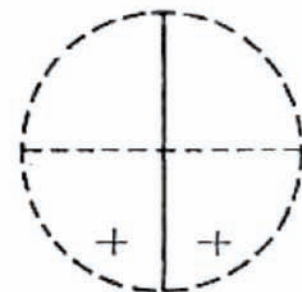
Ácido tartárico C₄H₆O₆

Latiumita (Ca,K)₈(Al,Mg,Fe)[(Si,Al)₁₀O₂₅/(SO₄)]

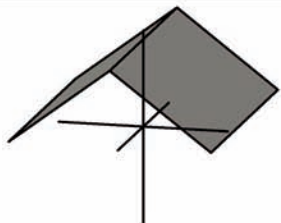
Monoklines Kristallsystem

Monokline Hemiedrie II.Art Symbol: m oder C_s
 Monoklin-domatische Klasse

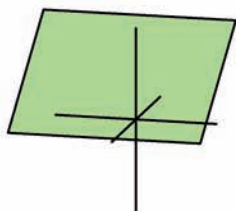
Allgemeine Form:
 $\{hkl\}$



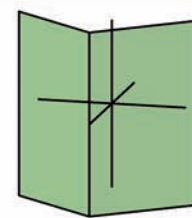
$\{0kl\}$



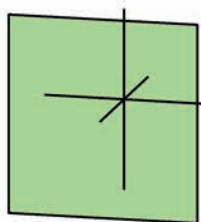
$\{h0l\}$



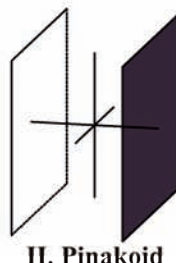
$\{hk0\}$



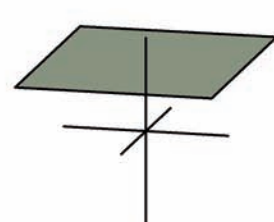
$\{100\}$



$\{010\}$



$\{001\}$



Mineral-Bsp.:

Posnjakite $\text{Cu}_4[(\text{OH})_6/\text{SO}_4]^*\text{H}_2\text{O}$

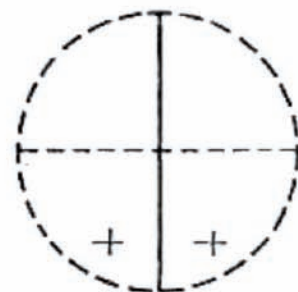
Hilgardit $\text{Ca}_2[\text{Cl}/\text{B}_5\text{O}_8(\text{OH})_2]$

Skolezit $\text{Ca}[\text{Al}_2\text{Si}_3\text{O}_{10}]^*3\text{H}_2\text{O}$

Sistema Cristalino Monoclínico

Monoclínico Hemiédrico II.Art Símbolo: m ou C_s
 Monoclínico- Classe domática

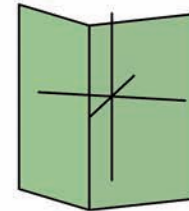
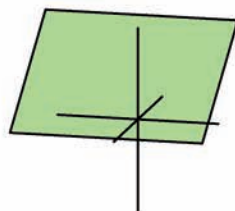
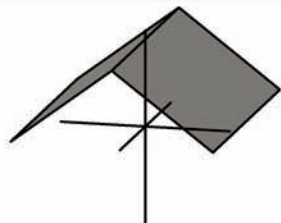
Forma geral:
 {hkl}



{0kl}

{h0l}

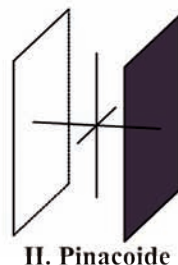
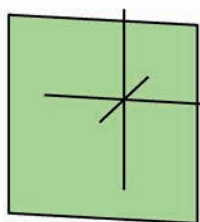
{hk0}



{100}

{010}

{001}



Exemplos de minerais:

Posnjaquita Cu₄[(OH)₆/SO₄]^{*}H₂O

Hilgardita Ca₂[Cl/B₅O₈(OH)₂]

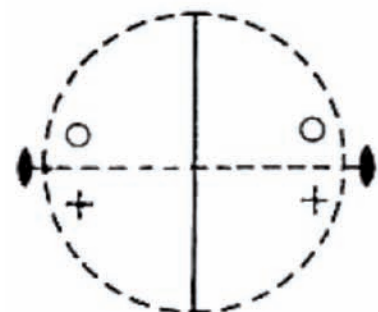
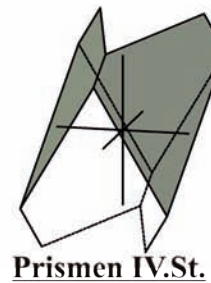
Escolecita Ca[Al₂Si₃O₁₀]^{*}3H₂O

Monoklines Kristallsystem

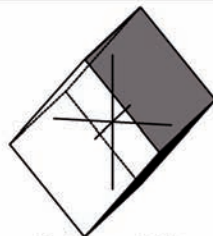
Monokline Holoedrie
Monoklin-prismatische Klasse

Symbol: $2/m$ oder C_{2h}

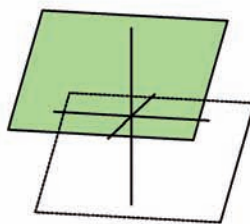
Allgemeine Form:
 $\{hkl\}$



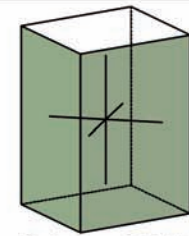
$\{0kl\}$



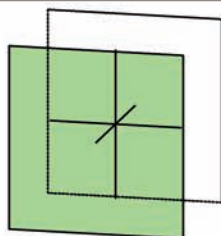
$\{h0l\}$



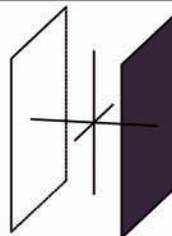
$\{hk0\}$



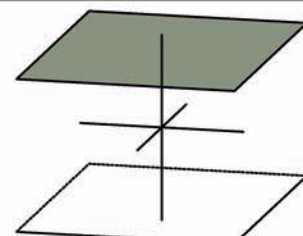
$\{100\}$



$\{010\}$



$\{001\}$



Mineral-Bsp.:

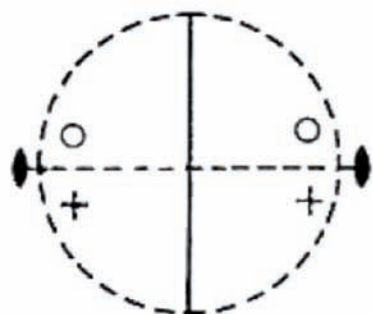
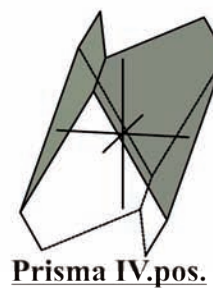
- häufigste Kristallklasse
- siehe Zusatzseite

Sistema Cristalino Monoclínico

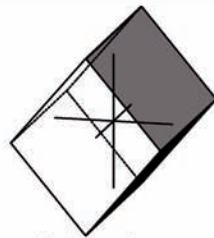
Monoclínico Holoedro
Classe monoclínico-prismático

Símbolo: $2/m$ ou C_{2h}

Forma geral:
 $\{hkl\}$

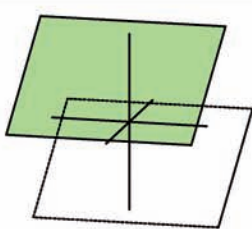


$\{0kl\}$



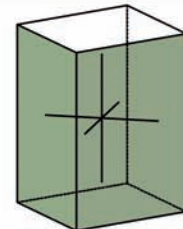
Prisma I.pos.

$\{h0l\}$



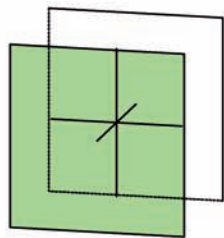
Pinacoide II.pos.

$\{hk0\}$



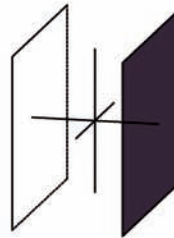
Prisma III.pos.

$\{100\}$



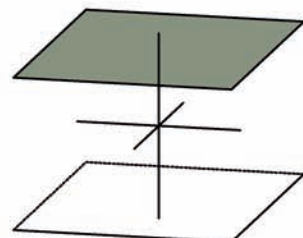
I. Pinacoide

$\{010\}$



II. Pinacoide

$\{001\}$



III. Pinacoide

Exemplos de minerais:

- classe cristalina mais frequente
- ver a página adicional

Mineral-Bsp. für 2/m: (häufigste Kristallklasse)

Gips $\text{Ca}[\text{SO}_4]*2\text{H}_2\text{O}$

Diopsid $\text{Ca}(\text{Mg},\text{Fe})[\text{Si}_2\text{O}_6]$

Orthoklas $\text{K}[\text{AlSi}_3\text{O}_8]$

Soda $\text{Na}_2[\text{CO}_3]*10\text{H}_2\text{O}$

Arsenopyrit FeAsS

Azurit $\text{Cu}_3[(\text{CO}_3)_2/(\text{OH})_2]$

Biotit $\text{K}(\text{Mg},\text{Fe}^{2+},\text{Mn}^{2+})_3[(\text{OH},\text{F})_2/\text{Al}, \text{Fe}^{3+},\text{Ti}^{3+})\text{Si}_3\text{O}_{10}]$

Borax $\text{Na}_2[\text{B}_4\text{O}_5/(\text{OH})_4]*8\text{H}_2\text{O}$

Chalkosin Cu_2S

Epidot $\text{Ca}_2(\text{Fe},\text{Al})_3[(\text{Si}_2\text{O}_7)/(\text{SiO}_4)_3/(\text{OH})_2]$

Hornblende $\text{Ca}_2(\text{Mg},\text{Fe},\text{Al})_5[(\text{Al},\text{Si})_8\text{O}_{22}/(\text{OH})_2]$

Kryolith Na_3AlF_6

Malachit $\text{Cu}_2[(\text{CO}_3)/(\text{OH})_2]$

Muskovit $\text{KAl}_2[\text{Si}_3\text{AlO}_{10}/(\text{OH},\text{F})_2]$

Phlogopit $\text{KMg}_3[\text{Si}_3\text{AlO}_{10}/(\text{F},\text{OH})_2]$

Realgar AsS

Sanidin $(\text{K},\text{Na})[\text{Al}_3\text{SiO}_8]$

Staurolith $(\text{Fe}^{2+},\text{Mg},\text{Zn})_2\text{Al}_9[(\text{Si},\text{Al})_4/\text{O}_{22}/(\text{OH})_2]$

Titanit $\text{CaTi}[\text{O/SiO}_4]$

Exemplos de minerais 2/m: (classe cristalográfica mais frequente)

Gipso $\text{Ca}[\text{SO}_4]*2\text{H}_2\text{O}$

Diopsídio $\text{Ca}(\text{Mg},\text{Fe})[\text{Si}_2\text{O}_6]$

Ortoclásio $\text{K}[\text{AlSi}_3\text{O}_8]$

Sodalita $\text{Na}_2[\text{CO}_3]*10\text{H}_2\text{O}$

Arsenopirita FeAsS

Azurita $\text{Cu}_3[(\text{CO}_3)_2/(\text{OH})_2]$

Biotita $\text{K}(\text{Mg},\text{Fe}^{2+},\text{Mn}^{2+})_3[(\text{OH},\text{F})_2/\text{Al}, \text{Fe}^{3+},\text{Ti}^{3+})\text{Si}_3\text{O}_{10}]$

Bórax $\text{Na}_2[\text{B}_4\text{O}_5/(\text{OH})_4]*8\text{H}_2\text{O}$

Calcocita Cu_2S

Epidoto $\text{Ca}_2(\text{Fe},\text{Al})_3[(\text{Si}_2\text{O}_7)/(\text{SiO}_4)_3/(\text{OH})_2]$

Hornblenda $\text{Ca}_2(\text{Mg},\text{Fe},\text{Al})_5[(\text{Al},\text{Si})_8\text{O}_{22}/(\text{OH})_2]$

Criolita Na_3AlF_6

Malaquita $\text{Cu}_2 [(\text{CO}_3)/(\text{OH})_2]$

Muscovita $\text{KAl}_2[\text{Si}_3\text{AlO}_{10}/(\text{OH},\text{F})_2]$

Flogopita $\text{KMg}_3[\text{Si}_3\text{AlO}_{10}/(\text{F},\text{OH})_2]$

Realgar AsS

Sanidina $(\text{K},\text{Na})[\text{Al}_3\text{SiO}_8]$

Estaurolita $(\text{Fe}^{2+},\text{Mg},\text{Zn})_2\text{Al}_9[(\text{Si},\text{Al})_4/\text{O}_{22}/(\text{OH})_2]$

Titanita $\text{CaTi}[\text{O/SiO}_4]$

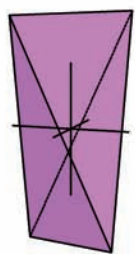
Orthorhombrisches Kristallsystem

Rhombische Hemiedrie

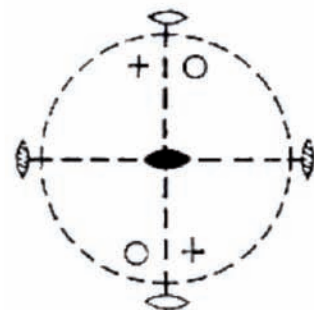
Rhombisch-disphenoidische Klasse

Symbol: 222 oder D₂

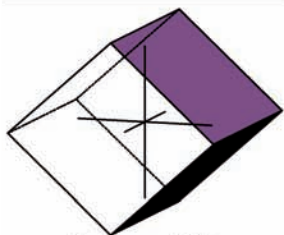
Allgemeine Form:
 $\{hkl\}$



Rhombische Disphenoide

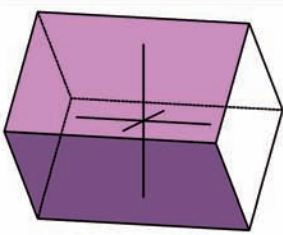


$\{0kl\}$



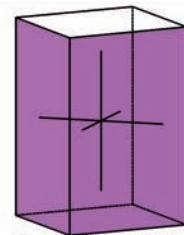
Prismen I.St.

$\{h0l\}$



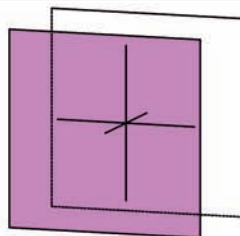
Prismen II.St.

$\{hk0\}$



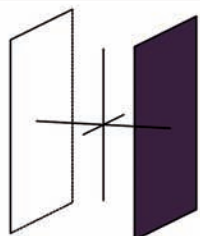
Prismen III.St.

$\{100\}$



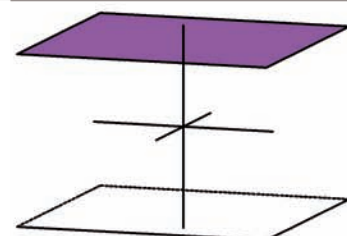
I. Pinakoid

$\{010\}$



II. Pinakoid

$\{001\}$



III. Pinakoid

Mineral-Bsp.:

Epsomit (Bittersalz) $MgSO_4 \cdot 7H_2O$

Zinkvitriol/Goslarit $ZnSO_4 \cdot 7H_2O$

Austinit $CaZn[(AsO_4)/(OH)]$

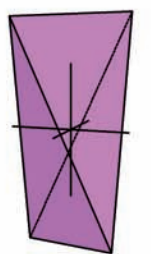
Arsenoclasite $Mn_5[(AsO_4)_2/(OH)_4]$

Sistema Cristalino Ortorrômbico

Hemiedro rômbico

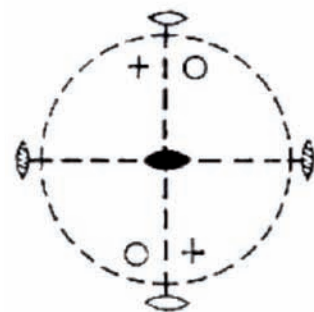
Classe Disfenóide rômbico

Forma geral:
 $\{hkl\}$

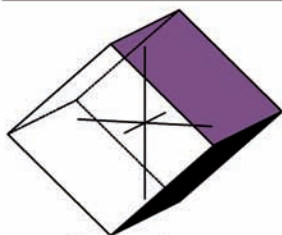


Disfenoide rômbico

Símbolo: 222 ou D_2

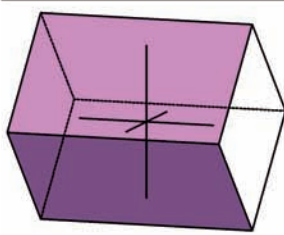


$\{0kl\}$



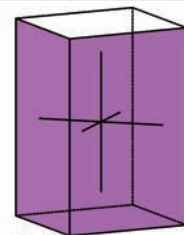
Prisma I.pos.

$\{h0l\}$



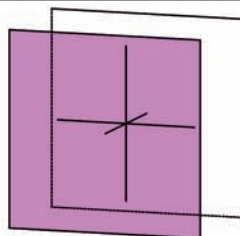
Prisma II.pos.

$\{hk0\}$



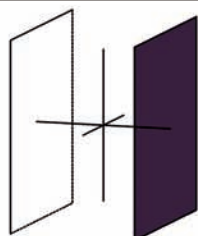
Prisma III.pos.

$\{100\}$



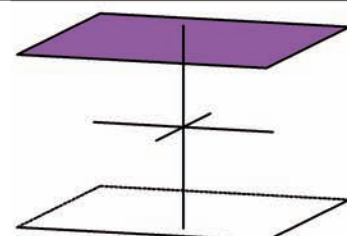
I. Pinacóide

$\{010\}$



II. Pinacóide

$\{001\}$



III. Pinacóide

Exemplos de minerais:

Epsomita $MgSO_4 \cdot 7H_2O$

Goslarita $ZnSO_4 \cdot 7H_2O$

Austinita $CaZn[(AsO_4)/(OH)]$

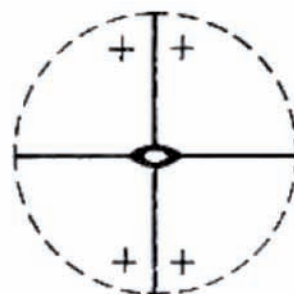
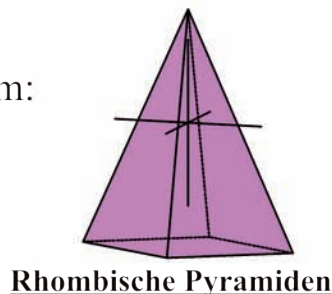
Arsenoclosita $Mn_5[(AsO_4)_2/(OH)_4]$

Orthorhombrisches Kristallsystem

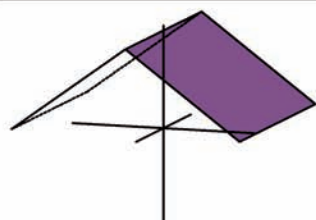
Rhombische Hemimorphie
Rhombisch-pyramidaler Klasse

Symbol: mm₂ oder C_{2v}
(mm)

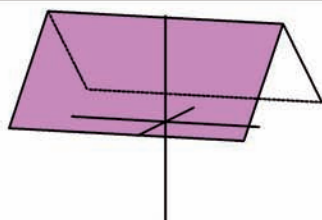
Allgemeine Form:
 $\{hkl\}$



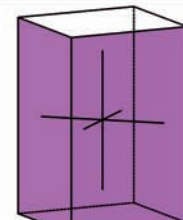
{0k1}



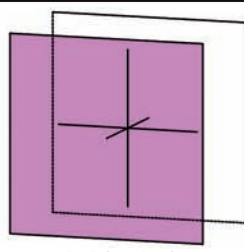
{h0l}



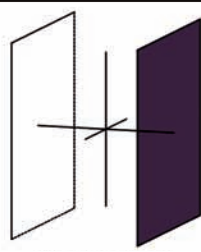
{hk0}



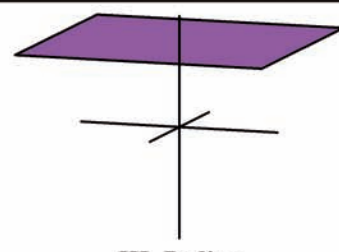
{100}



{010}



{001}



Mineral-Bsp.:

Hemimorphit/Kieselzinkerz Zn₄[(OH)₂/Si₂O₇]^{*}H₂O

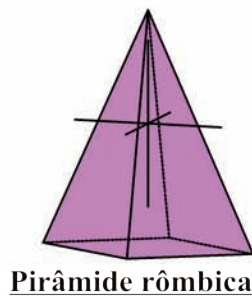
Struvit MgNH₄[PO₄]^{*}6H₂O

Prehnit Ca₂Al₂[Si₃O₁₀]/(OH)₂]

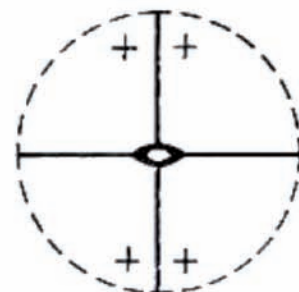
Sistema Cristalino Ortorrômbico

Hemimorfia rômbica
Classe piramidal rômbica

Forma geral:
 $\{hkl\}$



Símbolo: mm2 ou C_{2v}
 (mm)



$\{0k1\}$	$\{h0l\}$	$\{hk0\}$
 <u>Domo I.pos.</u>	 <u>Domo II.pos.</u>	 <u>Prisma III.pos.</u>
$\{100\}$	$\{010\}$	$\{001\}$
 <u>I. Pinacóide</u>	 <u>II. Pinacóide</u>	 <u>III. Pédio</u>

Exemplos de minerais:

Hemimorfita/Calamina $Zn_4[(OH)_2/Si_2O_7]*H_2O$

Estrovita $MgNH_4[PO_4]*6H_2O$

Prehnita $Ca_2Al_2[Si_3O_{10}/(OH)_2]$

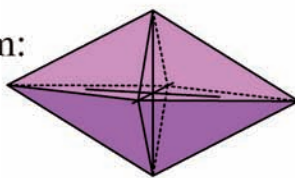
Orthorhombisches Kristallsystem

Rhombische Holoedrie

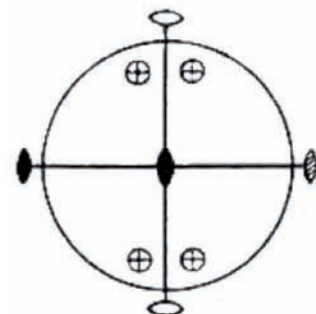
Rhombisch-dipyramidal Klasse

Symbol: $2/m\ 2/m\ 2/m$
 (mmm) oder D_{2h}

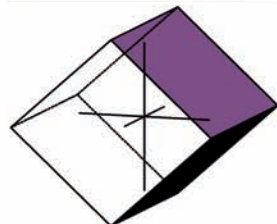
Allgemeine Form:
 $\{hkl\}$



Rhombische Dipyramiden

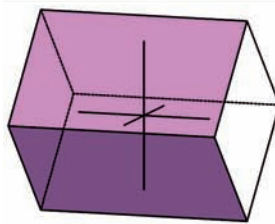


$\{0kl\}$



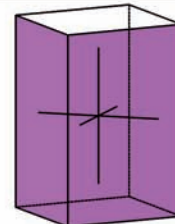
Prismen I.St.

$\{h0l\}$



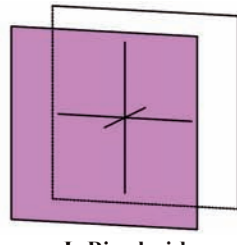
Prismen II.St.

$\{hk0\}$



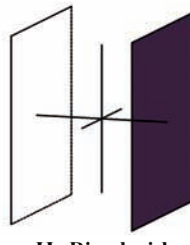
Prismen III.St.

$\{100\}$



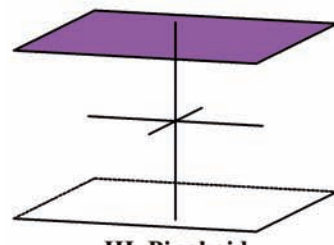
I. Pinakoid

$\{010\}$



II. Pinakoid

$\{001\}$



III. Pinakoid

Mineral-Bsp.:

Schwefel S

Baryt $\text{Ba}[\text{SO}_4]$

Aragonit $\text{Ca}[\text{CO}_3]$

Topas $\text{Al}_2[\text{F}_2/\text{SiO}_4]$

Anhydrit $\text{Ca}[\text{SO}_4]$

Olivin $(\text{Mg}, \text{Fe})_2[\text{SiO}_4]$

Sistema Cristalino Ortorrômbico

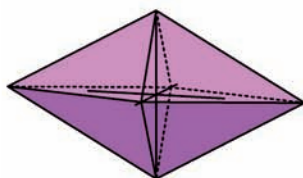
Holoedro rômbico

Classe dipiramidal ortorrômica

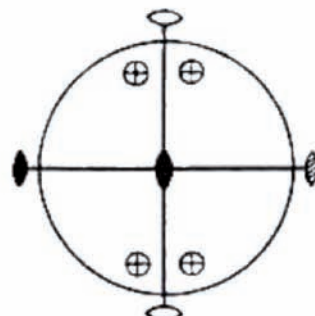
Símbolo: 2/m 2/m 2/m

(mmm) ou D_{2h}

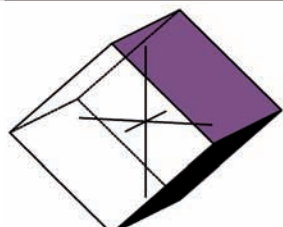
Forma geral:
 $\{hkl\}$



Dipiramidal ortorrômica

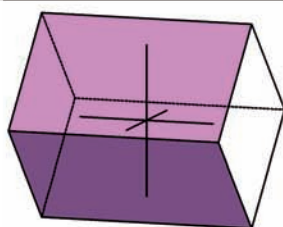


$\{0kl\}$



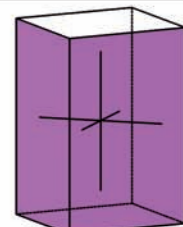
Prisma I.pos.

$\{h0l\}$



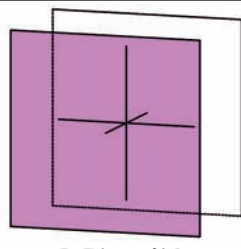
Prisma II.pos.

$\{hk0\}$



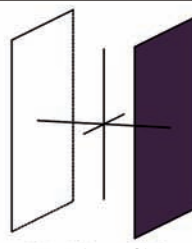
Prisma III.pos.

$\{100\}$



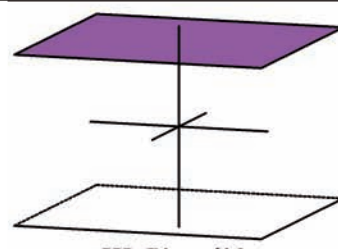
I. Pinacóide

$\{010\}$



II. Pinacóide

$\{001\}$



III. Pinacóide

Exemplos de minerais:

Enxofre S

Barita $\text{Ba}[\text{SO}_4]$

Aragonita $\text{Ca}[\text{CO}_3]$

Topázio $\text{Al}_2[\text{F}_2/\text{SiO}_4]$

Anidrita $\text{Ca}[\text{SO}_4]$

Olivina $(\text{Mg}, \text{Fe})_2[\text{SiO}_4]$

Trigonales Kristallsystem

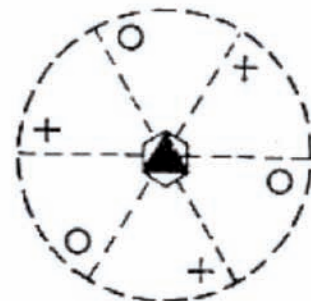
Hexagonal-rhomboedrische
Tetartoedrie
Rhomboedrische Klasse

Symbol: $\bar{3}$ oder C_{3i}

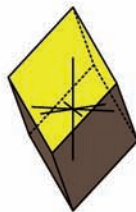
Allgemeine Form:
 $\{hkl\} / \{hkil\}$



Rhomboeder III.St.

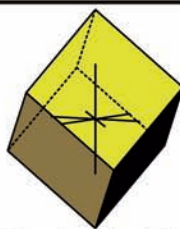


$\{h0l\} / \{h0\bar{h}l\}$



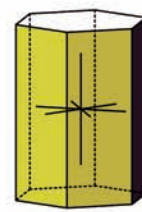
Rhomboeder I.St.

$\{hh\bar{l}\} / \{hh\bar{2}h\bar{l}\}$



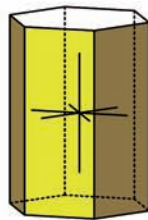
Rhomboeder II.St.

$\{hk0\} / \{hki0\}$



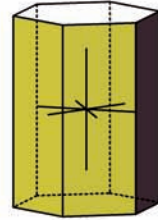
Hex. Prismen II.St.

$\{100\} / \{10\bar{1}0\}$



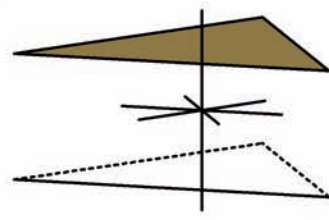
Hex. Prisma I.St.

$\{110\} / \{11\bar{2}0\}$



Hex. Prisma II.St.

$\{001\} / \{0001\}$



Basispinakoid

Mineral-Bsp.:

Dolomit $\text{CaMg}[(\text{CO}_3)_2]$

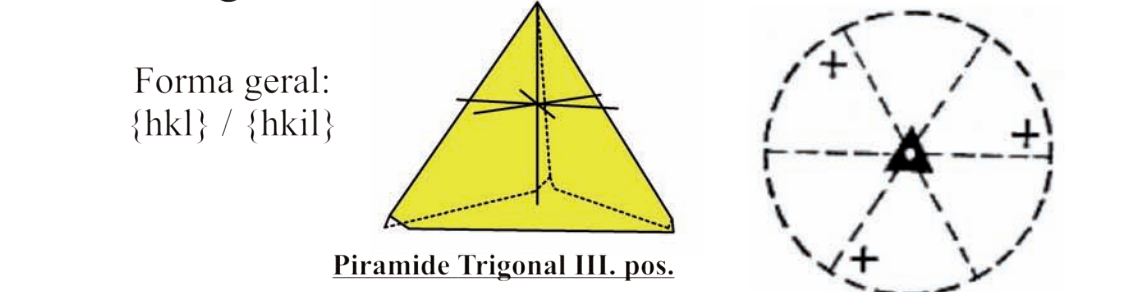
Dioptas $\text{Cu}[\text{Si}_6\text{O}_{18}]$

Phenakit Be_2SiO_4

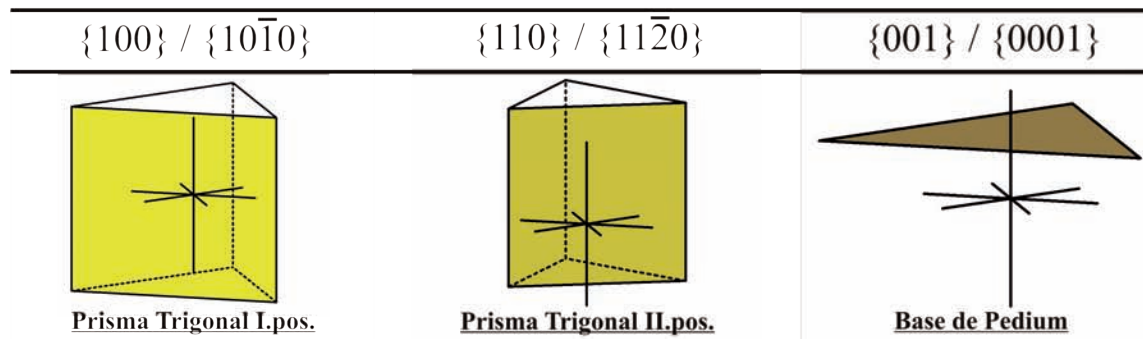
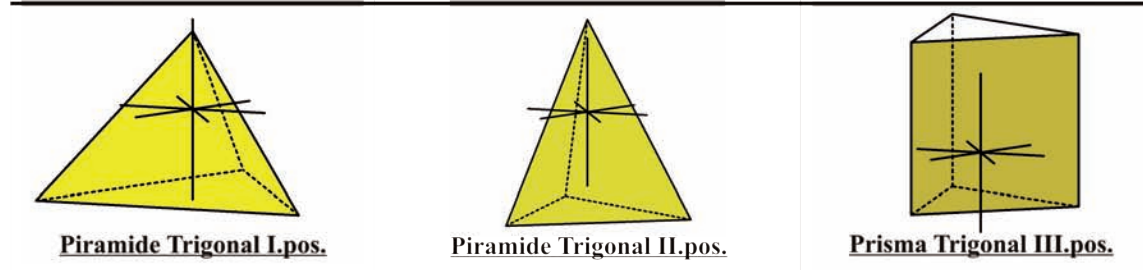
Sistema Cristalino Trigonal

Hemimorfo Trigonal Tetraedro
Classe Trigonal-Piramidal

Símbolo: 3 ou C₃



$\{h0l\} / \{h0\bar{h}\bar{l}\}$	$\{hh\bar{l}\} / \{h\bar{h}2\bar{h}l\}$	$\{hk0\} / \{hki0\}$
----------------------------------	---	----------------------



Exemplos de minerais:

Susannita $Pb_4[(SO_4)/(CO_3)_2/(OH)_2]$

Carlinita TlS_2

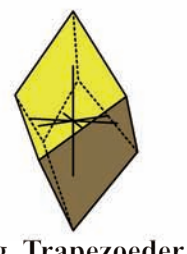
Beligermanita (Modificação de baixa temperatura)

$Pb_5Ge_3O_{11}$

Trigonales Kristallsystem

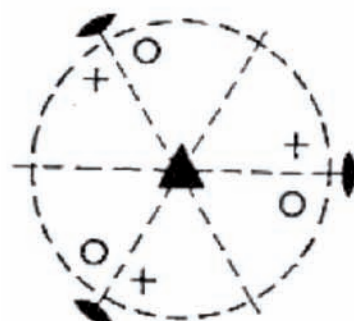
Hexagonal-trapezoedrische
Tetartoedrie
Trigonal-trapezoedrische Klasse

Allgemeine Form:
 $\{hkl\} / \{hkil\}$

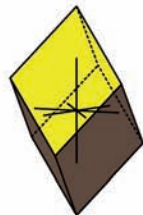


Trig. Trapezoeder

Symbol: 32 oder D_3

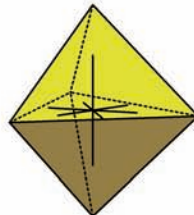


$\{h0l\} / \{h0\bar{h}l\}$



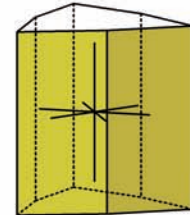
Rhomboeder I.St.

$\{hh\bar{l}\} / \{hh\bar{2}h\bar{l}\}$



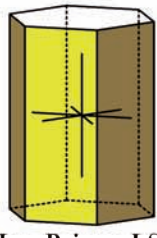
Trig. Diyramiden II.St.

$\{hk0\} / \{hki0\}$



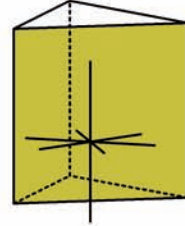
Ditrig. Prismen II.St.

$\{100\} / \{10\bar{1}0\}$



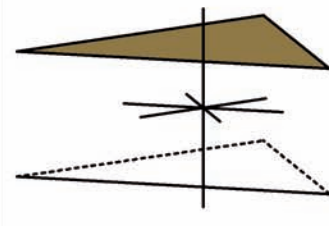
Hex. Prisma I.St.

$\{110\} / \{11\bar{2}0\}$



Trig. Prismen II.St.

$\{001\} / \{0001\}$



Basispinakoid

Mineral-Bsp.:

Zinnober/Cinnabarit HgS

Tiefquarz SiO_2

Selen Se

Tellur Te

Sistema Cristalino Trigonal

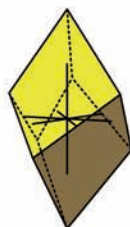
Hexagonal trapezoedral

Tetardoedro

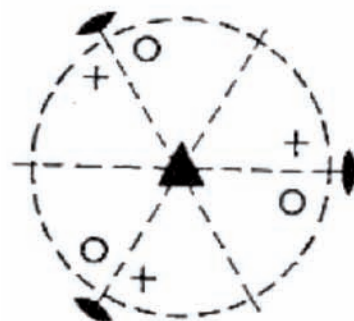
Classe trigonal trapezoédrica

Símbolo: 32 ou D_3

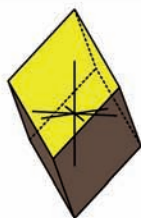
Forma geral:
 $\{hkl\} / \{hkil\}$



Trapezoedro trigonal

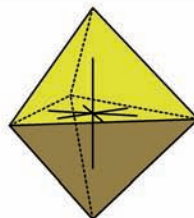


$\{h0l\} / \{h0\bar{h}l\}$



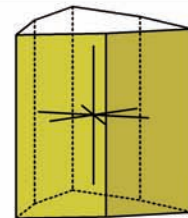
Romboedro I.pos.

$\{hh\bar{l}\} / \{hh2\bar{h}l\}$



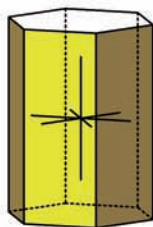
Dipiramide Trigonal II.pos.

$\{hk0\} / \{hki0\}$



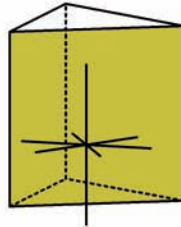
Prisma Ditrigonal II.pos.

$\{100\} / \{10\bar{1}0\}$



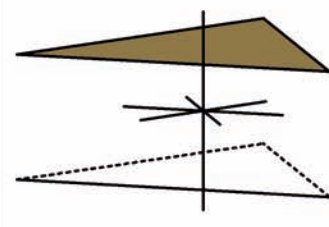
Prisma Hexagonal I.pos.

$\{110\} / \{11\bar{2}0\}$



Prisma Trigonal II.pos.

$\{001\} / \{0001\}$



Base pinacoidal

Exemplos de minerais:

Cinábrio HgS

Quartzo baixa Temperatura SiO₂

Selênio Se

Telúrio Te

Trigonales Kristallsystem

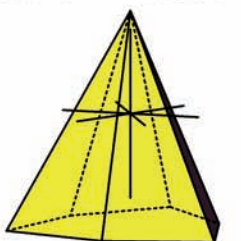
Hemimorphie d. rhomboedrischen

Hemiedrie

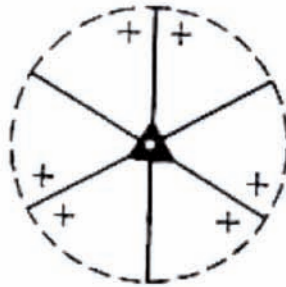
Ditrigonal-pyramidal Klasse

Symbol: 3m oder C_{3v}

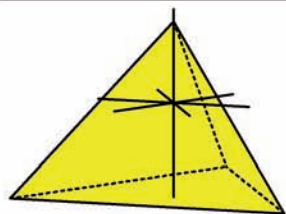
Allgemeine Form:
 $\{hkl\} / \{hkil\}$



Ditrig. Pyramiden I.St.

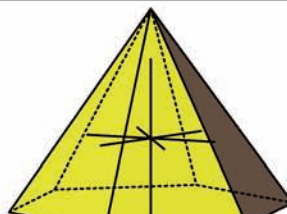


$\{h0l\} / \{h0\bar{h}l\}$



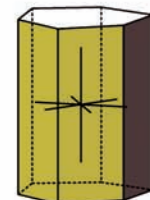
Trig. Pyramiden I.St.

$\{hh\bar{l}\} / \{hh\bar{2}h\bar{l}\}$



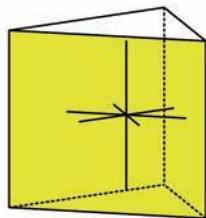
Hex. Pyramiden II.St.

$\{hk0\} / \{hki0\}$



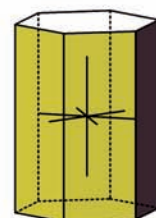
Ditrig. Prismen II.St.

$\{100\} / \{10\bar{1}0\}$



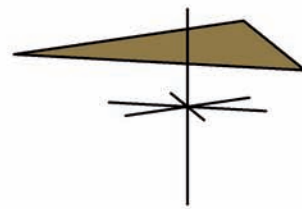
Trig. Prismen I.St.

$\{110\} / \{11\bar{2}0\}$



Hex. Prisma II.St.

$\{001\} / \{0001\}$



Basispedien

Mineral-Bsp.:

Turmalin $(X)(Y_3)(Z_6)[Si_6O_{18}/(BO_3)_3/(V_3)(W)]$

Proustit Ag_3AsS_3

Lithiumniobat $LiNbO_3$

Sistema Cristalino Trigonal

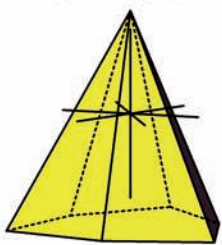
Hemimorfia Romboédrica

Hemiedria

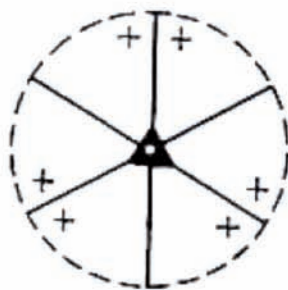
Classe Ditrigonal-Piramidal

Símbolo: 3m ou C_{3v}

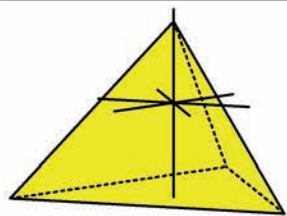
Forma geral:
 $\{hkl\} / \{hkil\}$



Ditrigonal Piramidal I.pos.

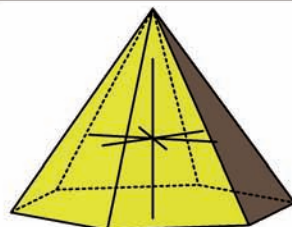


$\{h0l\} / \{h0\bar{h}l\}$



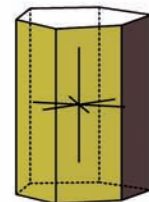
Piramide Trigonal I.pos.

$\{hh\bar{l}\} / \{hh\bar{2}h\bar{l}\}$



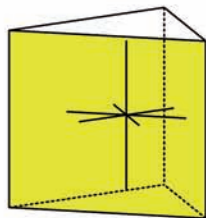
Piramide Hexagonal II.pos.

$\{hk0\} / \{hki0\}$



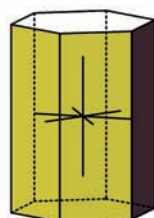
Prisma Ditrigonal II.pos.

$\{100\} / \{10\bar{1}0\}$



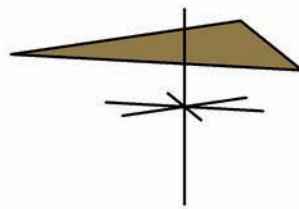
Prisma Trigonal I.pos.

$\{110\} / \{11\bar{2}0\}$



Prisma Hexagonal II.pos.

$\{001\} / \{0001\}$



Base de Pedium

Exemplos de minerais e compostos inorgânicos:

Turmalina $(X)(Y_3)(Z_6)[Si_6O_{18}/(BO_3)_3/(V_3)(W)]$

Proustita Ag_3AsS_3

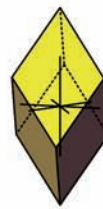
Niobato de lítico $LiNbO_3$

Trigonales Kristallsystem

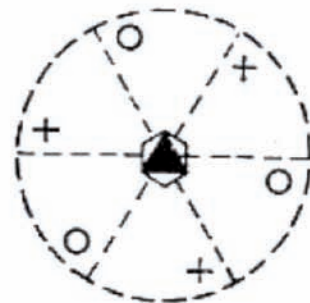
Hexagonal-rhomboedrische
Tetartoedrie
Rhomboedrische Klasse

Symbol: $\bar{3}$ oder C_{3i}

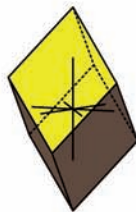
Allgemeine Form:
 $\{hkl\} / \{hkil\}$



Rhomboeder III.St.

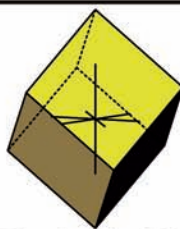


$\{h0l\} / \{h0\bar{h}l\}$



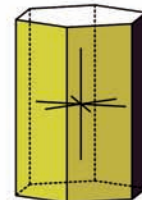
Rhomboeder I.St.

$\{hh\bar{l}\} / \{hh\bar{2}h\bar{l}\}$



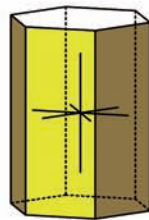
Rhomboeder II.St.

$\{hk0\} / \{hki0\}$



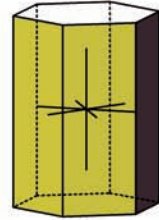
Hex. Prismen II.St.

$\{100\} / \{10\bar{1}0\}$



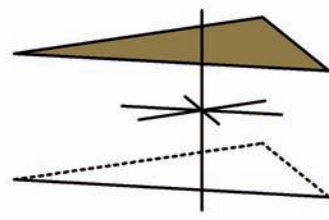
Hex. Prisma I.St.

$\{110\} / \{11\bar{2}0\}$



Hex. Prisma II.St.

$\{001\} / \{0001\}$



Basispinakoid

Mineral-Bsp.:

Dolomit $\text{CaMg}[(\text{CO}_3)_2]$

Dioptas $\text{Cu}[\text{Si}_6\text{O}_{18}]$

Phenakit Be_2SiO_4

Sistema Cristalino Trigonal

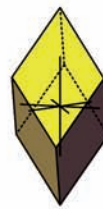
Hexagonal-romboédrica

Tetartoédrica

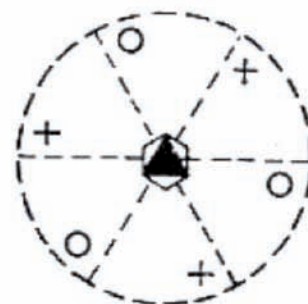
Classe Romboédrica

Símbolo: $\bar{3}$ ou C_{3i}

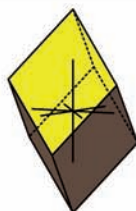
Forma geral:
 $\{hkl\} / \{hkil\}$



Romboedro III.pos.

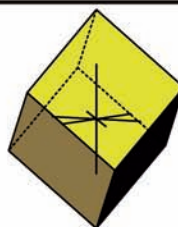


$\{h0l\} / \{h0\bar{h}l\}$



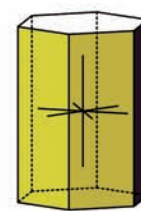
Romboedro I.pos.

$\{hh\bar{l}\} / \{hh\bar{2}h\bar{l}\}$



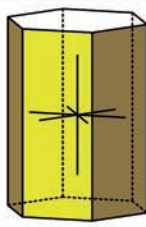
Romboedro II.pos.

$\{hk0\} / \{hki0\}$



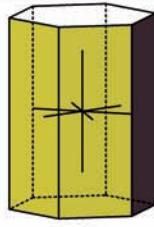
Prisma Hexagonal II.pos.

$\{100\} / \{10\bar{1}0\}$



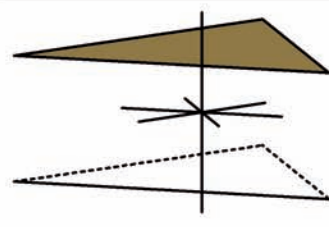
Prisma Hexagonal I.pos.

$\{110\} / \{11\bar{2}0\}$



Prisma Hexagonal II.pos.

$\{001\} / \{0001\}$



Bases de Pinacóide

Exemplos de minerais:

Dolomita $\text{CaMg}[(\text{CO}_3)_2]$

Dioptásio $\text{Cu}[\text{Si}_6\text{O}_{18}]$

Fenacita Be_2SiO_4

Trigonales Kristallsystem

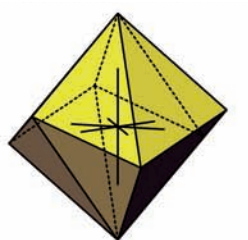
Hexagonal-rhomboedrische

Hemiedrie

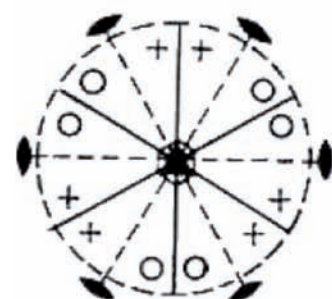
Ditrigonal-skalenoedrische Klasse

Symbol: $\bar{3}$ 2/m oder D_{3d}
 $(\bar{3}m)$

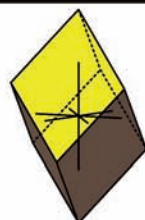
Allgemeine Form:
 $\{hkl\} / \{hkil\}$



Ditrig. Skalenoeder

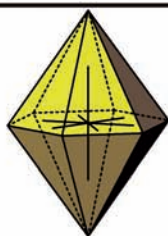


$\{h0l\} / \{h0\bar{h}l\}$



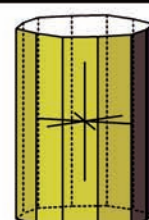
Rhomboeder I.St.

$\{hh\bar{l}\} / \{hh\bar{2}h\bar{l}\}$



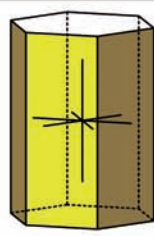
Hex. Dipyramiden II.St.

$\{hk0\} / \{hki0\}$



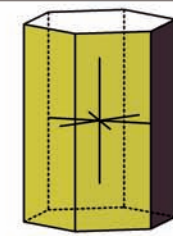
Dihex. Prismen

$\{100\} / \{10\bar{1}0\}$



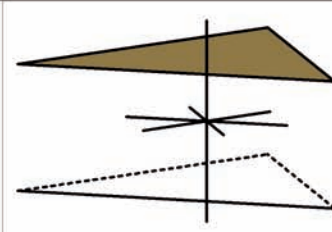
Hex. Prisma I.St.

$\{110\} / \{11\bar{2}0\}$



Hex. Prisma II.St.

$\{001\} / \{0001\}$



Basispinakoid

Mineral-Bsp.:

Calcit $\text{Ca}[\text{CO}_3]$

Siderit $\text{Fe}[\text{CO}_3]$

Korund Al_2O_3

Rhodochrosit $\text{Mn}[\text{CO}_3]$

Hämatit Fe_2O_3

Sistema Cristalino Trigonal

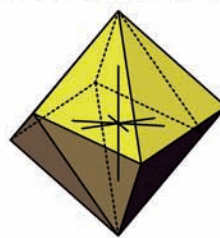
Hexagonal-romboédrica

Hemiedro

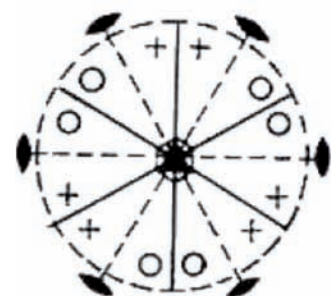
Classe ditrigonal escalonétrica

Símbolo: $\bar{3}$ 2/m ou D_{3d}
 $(\bar{3}m)$

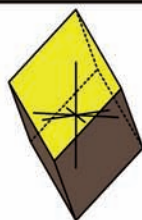
Forma geral:
 $\{hkl\}$ / $\{hkil\}$



Scalenohedron ditrigonal

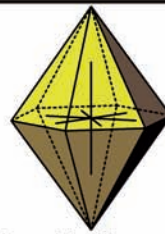


$\{h0l\}$ / $\{h0\bar{h}l\}$



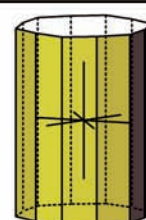
Romboidal I.pos.

$\{hh\bar{l}\}$ / $\{hh\bar{2}h\bar{l}\}$



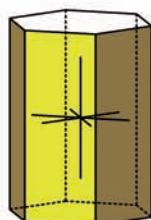
Dipiramide Hexagonal II.pos.

$\{hk0\}$ / $\{hki0\}$



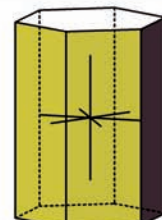
Prisma Dihexagonal

$\{100\}$ / $\{10\bar{1}0\}$



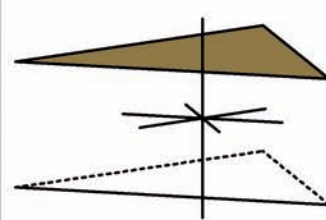
Prisma Hexagonal I.pos.

$\{110\}$ / $\{11\bar{2}0\}$



Prisma Hexagonal II.pos.

$\{001\}$ / $\{0001\}$



Base Pinacoidal

Exemplos de minerais:

Calcita $\text{Ca}[\text{CO}_3]$

Siderita $\text{Fe}[\text{CO}_3]$

Coríndon Al_2O_3

Rodocrosita $\text{Mn}[\text{CO}_3]$

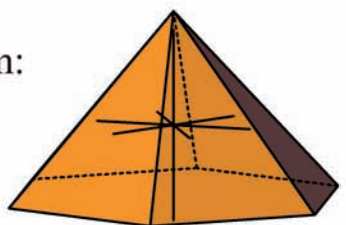
Hematita Fe_2O_3

Hexagonales Kristallsystem

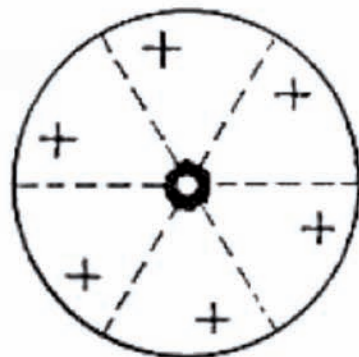
Hexagonale Tetartoedrie
Hexagonal-pyramidale Klasse

Symbol: 6 oder C₆

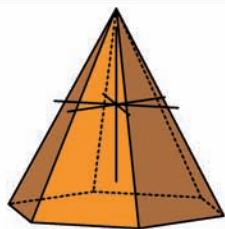
Allgemeine Form:
 $\{hkl\} / \{hkil\}$



Hexagonale Pyramiden III. St.

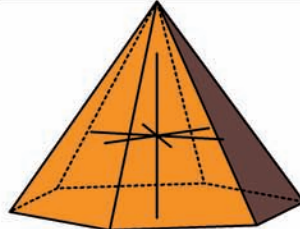


$\{h0l\} / \{h0\bar{l}\}$



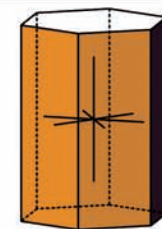
Hex. Pyramiden I. St.

$\{hh\bar{l}\} / \{hh\bar{2}\bar{l}\}$



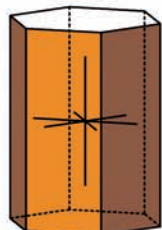
Hex. Pyramiden II. St.

$\{hk0\} / \{hki0\}$



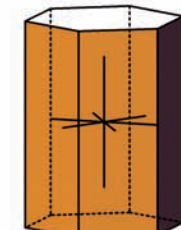
Hex. Prismen III. St.

$\{100\} / \{10\bar{1}0\}$



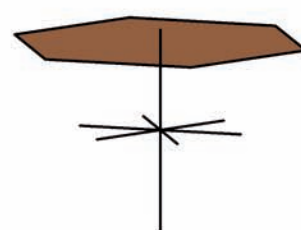
Hex. Prisma I. St.

$\{110\} / \{11\bar{2}0\}$



Hex. Prisma II. St.

$\{001\} / \{0001\}$



Basispedien

Mineral-Bsp.:

Lithiumiodat $\alpha\text{-LiIO}_3$

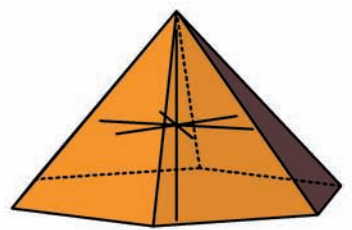
Nephelin $(\text{Na},\text{K})[\text{AlSiO}_4]$

Thaumasit $\text{Ca}_3[\text{SO}_4/\text{CO}_3/\text{Si(OH)}_6] * 12\text{H}_2\text{O}$

Sistema Cristalino Hexagonal

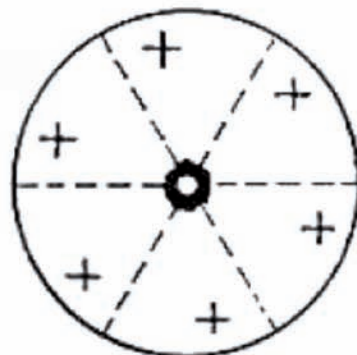
Tetraedro Hexagonal
Classe piramidal hexagonal

Forma geral::
 $\{hkl\} / \{hkil\}$

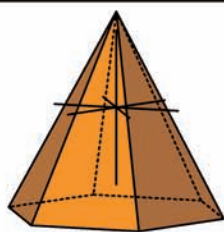


Pirâmide hexagonal III. pos.

Símbolo: 6 ou C₆

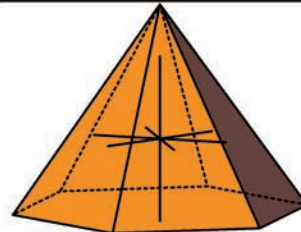


$\{h0l\} / \{h0\bar{h}l\}$



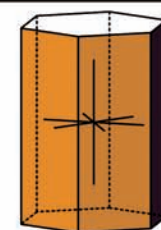
Pyrâmide hexagonal I.pos.

$\{hh\bar{l}\} / \{hh\bar{2}\bar{h}l\}$



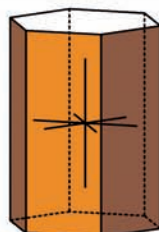
Pyrâmide hexagonal II.pos.

$\{hk0\} / \{hki0\}$



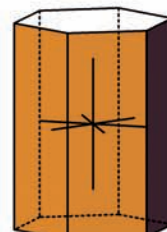
Prisma Hexagonal III.pos.

$\{100\} / \{10\bar{1}0\}$



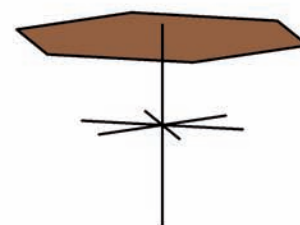
Prisma Hexagonal I.pos.

$\{110\} / \{11\bar{2}0\}$



Prisma Hexagonal II.pos.

$\{001\} / \{0001\}$



Base pedal

Exemplos de minerais e compostos inorgânicos:

Iodato de lítico $\alpha\text{-LiIO}_3$

Nefelina $(\text{Na},\text{K})[\text{AlSiO}_4]$

Thaumasita $\text{Ca}_3[\text{SO}_4/\text{CO}_3/\text{Si(OH)}_6]^*12\text{H}_2\text{O}$

Hexagonales Kristallsystem

Hexagonal-trapezoedrische

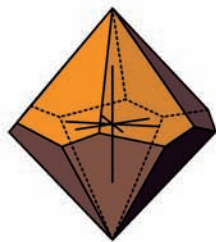
Hemiedrie

Hexagonal-trapezoedrische Klasse

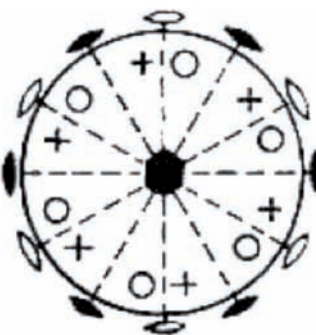
Symbol: 622 oder D_6

$(6\ 2)$

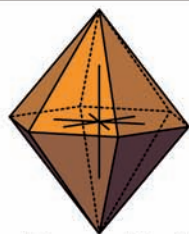
Allgemeine Form:
 $\{hkl\} / \{hkil\}$



Hexagonaler Trapezoeder

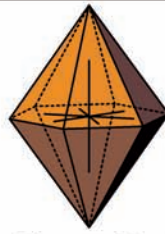


$\{h0l\} / \{h0\bar{l}\}$



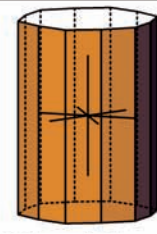
Hex.Dipyramiden I.St.

$\{hh\bar{l}\} / \{hh\bar{2}\bar{l}\}$



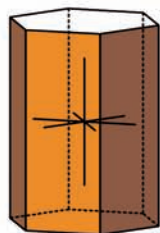
Hex. Dipyramiden II.St.

$\{hk0\} / \{hki0\}$



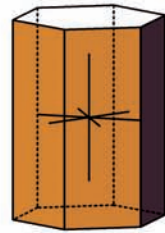
Dihex. Prismen

$\{100\} / \{10\bar{1}0\}$



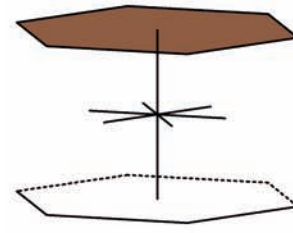
Hex.Prisma I.St.

$\{110\} / \{11\bar{2}0\}$



Hex. Prisma II.St.

$\{001\} / \{0001\}$



Basispinakoid

Mineral-Bsp.:

Hochquarz SiO_2

Virgilit $\text{LiAlSi}_2\text{O}_6$

Rhabdophan $(\text{Ce},\text{La})\text{PO}_4 * \text{H}_2\text{O}$

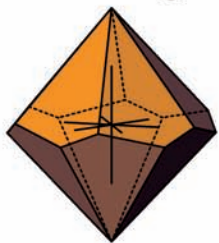
Sistema Cristalino Hexagonal

Trapezoedro Hexagonal

Hemiedria

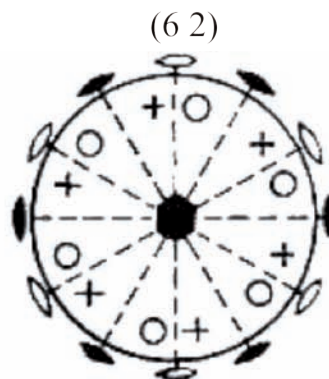
Classe Trapezoédrica hexagonal

Forma geral:
 $\{hkl\} / \{hkil\}$

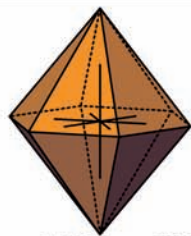


Trapezoedro Hexagonal

Símbolo: 622 ou D_6

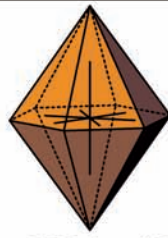


$\{h0l\} / \{h0\bar{h}\}$



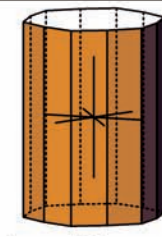
Hexagonal Bipiramidal I.pos.

$\{hh\ell\} / \{hh\bar{2}h\}$



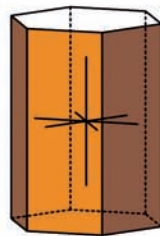
Hexagonal Bipiramidal II.pos.

$\{hk0\} / \{hki0\}$



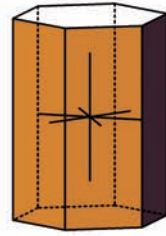
Prisma Dihexagonal

$\{100\} / \{10\bar{1}0\}$



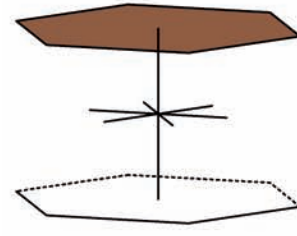
Prisma Hexagonal I.pos.

$\{110\} / \{11\bar{2}0\}$



Prisma Hexagonal II.pos.

$\{001\} / \{0001\}$



Base Pinacoidal

Exemplos de minerais:

Quartzo beta SiO_2

Virgilita $\text{LiAlSi}_2\text{O}_6$

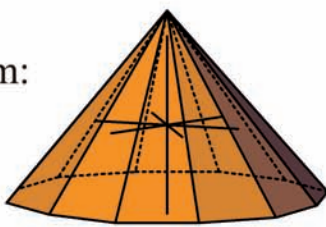
Rhabdofana $(\text{Ce},\text{La})\text{PO}_4 * \text{H}_2\text{O}$

Hexagonales Kristallsystem

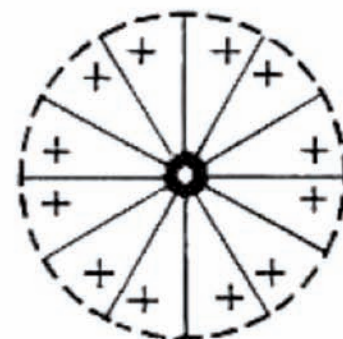
Hexagonale Hemimorphie
Dihexagonal-pyramidal Klasse

Symbol: 6mm oder C_{6v}

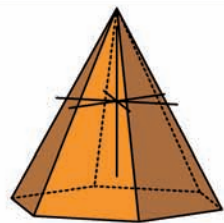
Allgemeine Form:
 $\{hkl\} / \{hkil\}$



Dihexagonal Pyramide

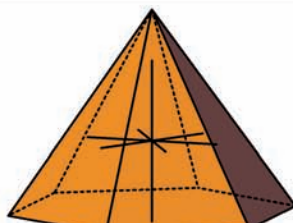


$\{h0l\} / \{h0\bar{l}\}$



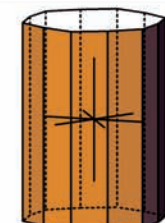
Hex. Pyramiden I.St.

$\{hh\bar{l}\} / \{hh\bar{2}\bar{l}\}$



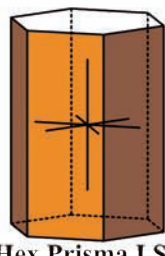
Hex. Pyramiden II.St.

$\{hk0\} / \{hki0\}$



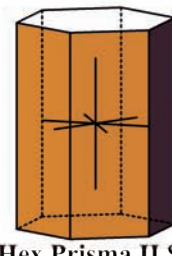
Dihex. Prismen

$\{100\} / \{10\bar{1}0\}$



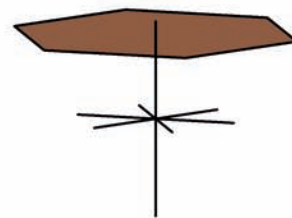
Hex. Prisma I.St.

$\{110\} / \{11\bar{2}0\}$



Hex. Prisma II.St.

$\{001\} / \{0001\}$



Basispedien

Mineral-Bsp.:

Wurzit ZnS

Zinkit ZnO

Greenockit CdS

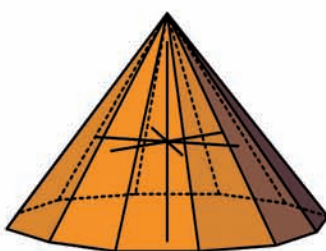
Sistema Cristalino Hexagonal

Hemimorfia Hexagonal

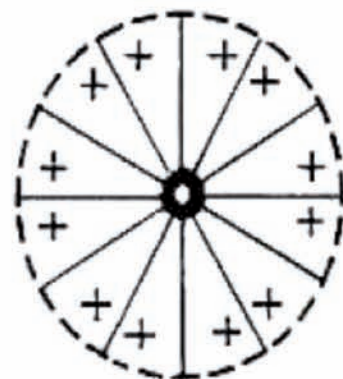
Classe Dihexagonal Piramidal

Símbolo: 6mm ou C_{6v}

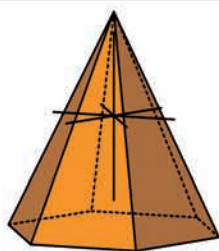
Forma geral:
 $\{hkl\} / \{hkil\}$



Dihexagonal Piramidal

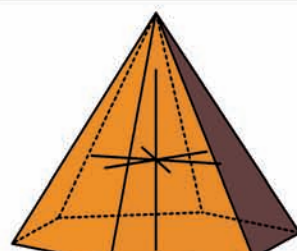


$\{h0l\} / \{h0\bar{l}\}$



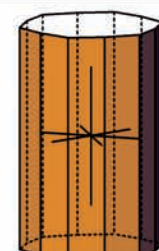
Hexagonal Piramidal I.pos.

$\{hh\bar{l}\} / \{hh\bar{2}\bar{l}\}$



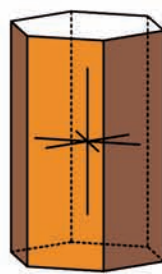
Hexagonal Piramidal II.pos.

$\{hk0\} / \{hki0\}$



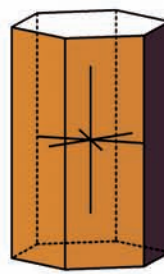
Prisma Dihexagonal

$\{100\} / \{10\bar{1}0\}$



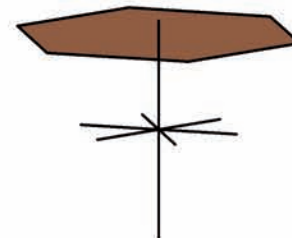
Prisma Hexagonal I.pos.

$\{110\} / \{11\bar{2}0\}$



Prisma Hexagonal II.pos.

$\{001\} / \{0001\}$



Base de Pediem

Exemplos de minerais:

Wurzita ZnS

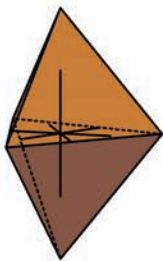
Zincita ZnO

Greenoquita CdS

Hexagonales Kristallsystem

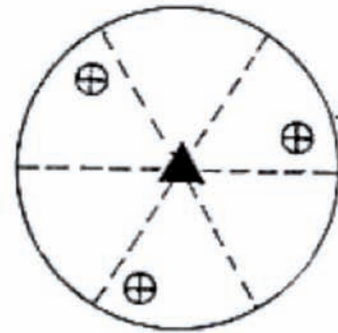
Trigonale Tetartoedrie
Trigonal-dipyramidal Klasse

Allgemeine Form:
 $\{hkl\} / \{hkil\}$

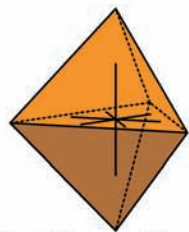


Trig. Dipyramiden III.St.

Symbol: $\bar{6}$ oder C_{3h}

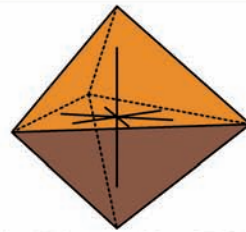


$\{h0l\} / \{h0\bar{h}\bar{l}\}$



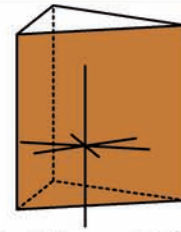
Trig. Dipyramiden I.St.

$\{hh\bar{l}\} / \{hh\bar{2}\bar{h}\bar{l}\}$



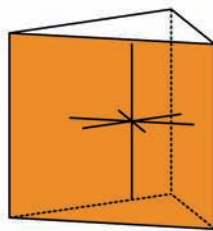
Trig. Dipyramiden II.St.

$\{hk0\} / \{hki0\}$



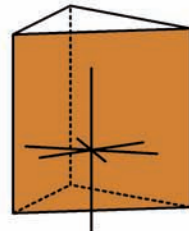
Trig. Prismen III.St.

$\{100\} / \{10\bar{1}0\}$



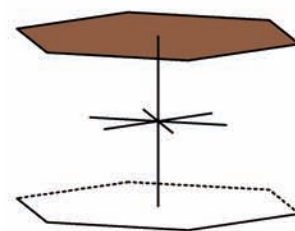
Trig. Prismen I.St.

$\{110\} / \{11\bar{2}0\}$



Trig. Prismen II.St.

$\{001\} / \{0001\}$



Basispinakoid

Mineral-Bsp.:

Bleigermanat(Hochtemp.Modifikation) $Pb_5[Ge_3O_{11}]$

Penfieldit $Pb_2[Cl_3/OH]$

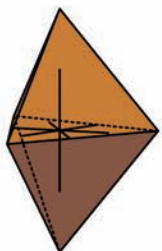
Ganomalit $Pb_9Ca_5Mn[(Si_2O_7)_3/(SiO_4)_3]$

Sistema Cristalino Hexagonal

Tetraedro Trigonal

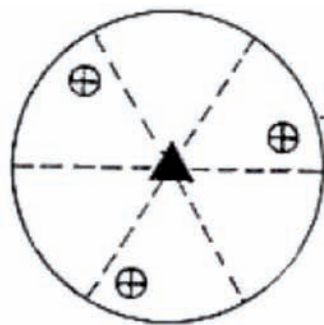
Classe Trigonal Bipiramidal

Forma geral:
 $\{hkl\} / \{hkil\}$

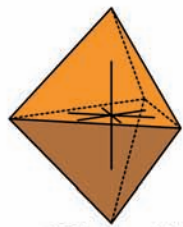


Trigonal Bipiramidal III.pos.

Símbolo: $\bar{6}$ ou C_{3h}

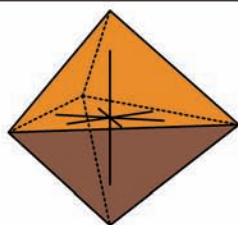


$\{h0l\} / \{h0\bar{h}\bar{l}\}$



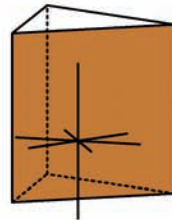
Trigonal Bipiramidal I.pos.

$\{hh\bar{l}\} / \{hh\bar{2}\bar{h}\bar{l}\}$



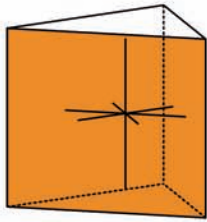
Trigonal Bipiramidal II.pos.

$\{hk0\} / \{hki0\}$



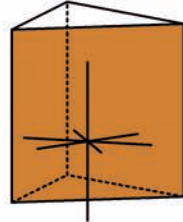
Prisma Trigonal III.pos.

$\{100\} / \{10\bar{1}0\}$



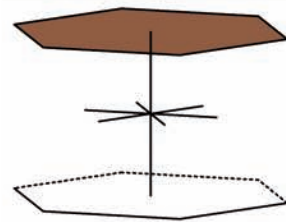
Prisma Trigonal I.pos.

$\{110\} / \{11\bar{2}0\}$



Prisma Trigonal II.pos.

$\{001\} / \{0001\}$



Base de Pinacoide

Exemplos de minerais e compostos inorgânicos:

Germanato de chumbo, modificação de baixa temperatura

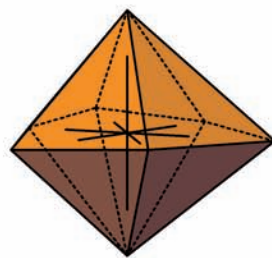


Hexagonales Kristallsystem

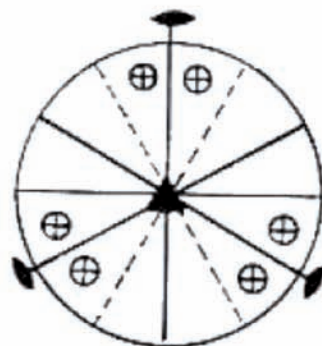
Trigonale Hemiedrie
Ditrigonal-dipyramidal Klasse

Symbol: $\bar{6}2m$ oder D_{3h}

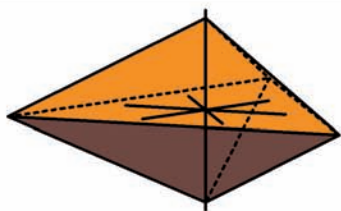
Allgemeine Form:
 $\{hkl\} / \{hkil\}$



Ditrig. Dipyramiden

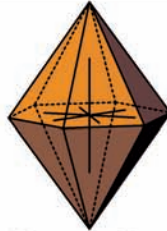


$\{h0l\} / \{h0\bar{h}\bar{l}\}$



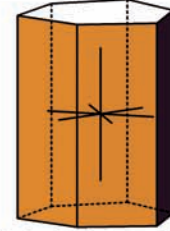
Trig. Dipyramiden I.St.

$\{hh\bar{l}\} / \{hh\bar{2}\bar{h}\bar{l}\}$



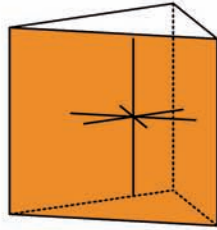
Hex. Dipyramiden II.St.

$\{hk0\} / \{hki0\}$



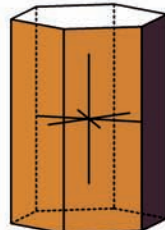
Ditrig. Prismen III.St.

$\{100\} / \{10\bar{1}0\}$



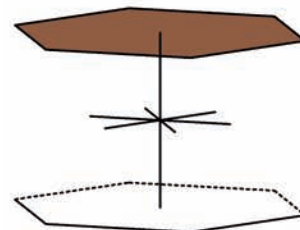
Trig. Prismen I.St.

$\{110\} / \{11\bar{2}0\}$



Hex. Prismen II.St.

$\{001\} / \{0001\}$



Basispinakoid

Mineral-Bsp.:

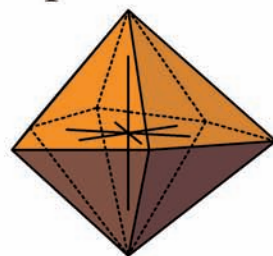
Benitoit $\text{BaTi}[\text{Si}_3\text{O}_9]$

Belkovit $\text{Ba}_3(\text{Nb}, \text{Ti})_6(\text{Si}_2\text{O}_7)_2\text{O}_{12}$

Sistema Cristalino Hexagonal

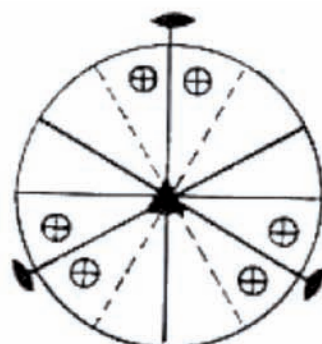
Hemiedro Trigonal
Classe Ditrigonal Bipiramidal

Forma geral:
 $\{hkl\} / \{hkil\}$

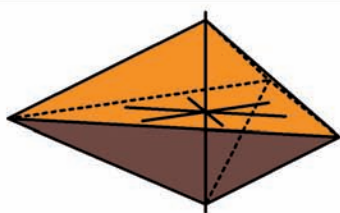


Bipirâmide ditrigonal

Símbolo: $\bar{6}2m$ ou D_{3h}

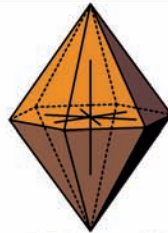


$\{h0l\} / \{h0\bar{h}\bar{l}\}$



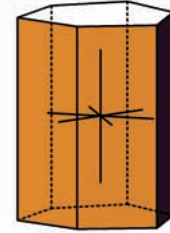
Trigonal Bipiramidal I.pos.

$\{hh\bar{l}\} / \{hh\bar{2}\bar{h}\bar{l}\}$



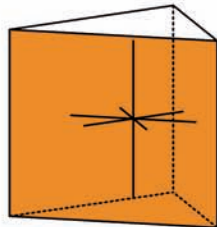
Hexagonal Bipiramidal II.pos.

$\{hk0\} / \{hki0\}$



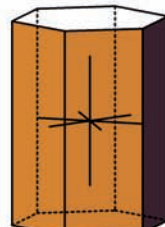
Prisma Ditrigonal III.pos.

$\{100\} / \{10\bar{1}0\}$



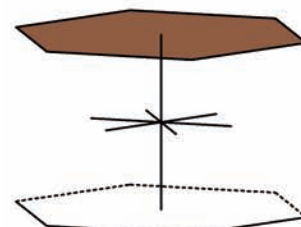
Prisma Trigonal I.pos.

$\{110\} / \{11\bar{2}0\}$



Prisma Hexagonal II.pos.

$\{001\} / \{0001\}$



Base de Pinacóide

Exemplos de minerais:

Benitoíta $\text{BaTi}[\text{Si}_3\text{O}_9]$

Belcovita $\text{Ba}_3(\text{Nb},\text{Ti})_6(\text{Si}_2\text{O}_7)_2\text{O}_{12}$

Hexagonales Kristallsystem

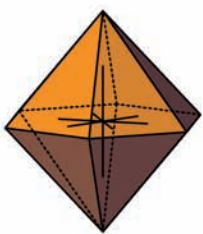
Hexagonal-pyramidale

Hemiedrie

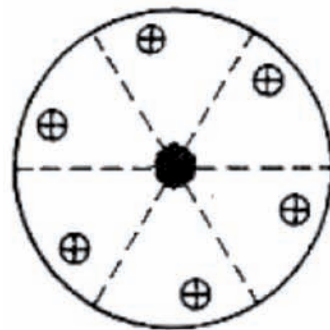
Hexagonal-dipyramidale Klasse

Symbol: 6/m oder C_{6v}

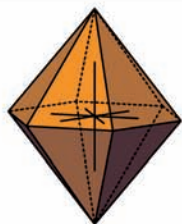
Allgemeine Form:
 $\{hkl\} / \{hkil\}$



Hexagonale Dipyramide III.St.

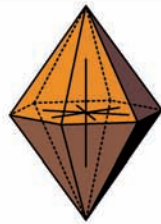


$\{h0l\} / \{h0\bar{h}l\}$



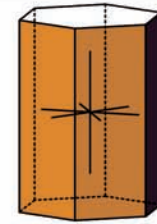
Hex.Dipyramiden I.St.

$\{hh\bar{l}\} / \{hh\bar{2}h\bar{l}\}$



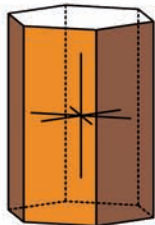
Hex. Dipyramiden II.St.

$\{hk0\} / \{hki0\}$



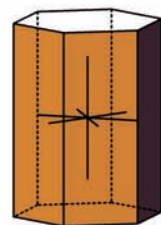
Hex.Prismen III.St.

$\{100\} / \{10\bar{1}0\}$



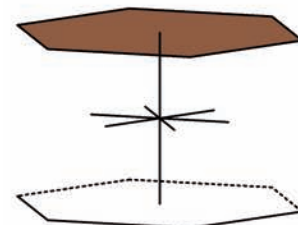
Hex.Prisma I.St.

$\{110\} / \{11\bar{2}0\}$



Hex.Prisma II.St.

$\{001\} / \{0001\}$



Basispinakoid

Mineral-Bsp.:

Apatit $(\text{Ca},\text{Ba},\text{Pb},\text{Sr},\text{etc.})_5[(\text{PO}_4)_3(\text{F},\text{Cl},\text{OH})]$

Pyromorphit $\text{Pb}_5[(\text{PO}_4)_3/\text{Cl}]$

Vanadinit $\text{Pb}_5[(\text{VO}_4)_3/\text{Cl}]$

Sistema Cristalino Hexagonal

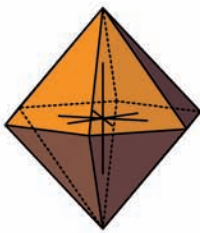
Hexagonal Piramidal

Hemiedria

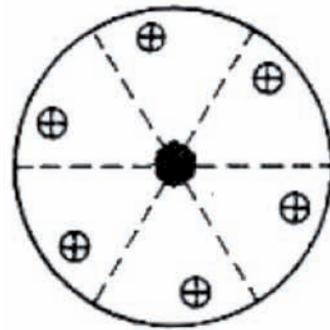
Classe Hexagonal-Dipiramidal

Símbolo: 6/m ou C_{6v}

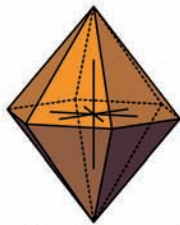
Forma geral:
 $\{hkl\} / \{hkil\}$



Dipirâmide hexagonal III.pos.

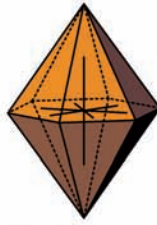


$\{h0l\} / \{h0\bar{h}\bar{l}\}$



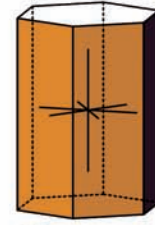
Dipiramide Hexagonal I.pos.

$\{hh\bar{l}\} / \{hh\bar{2}h\bar{l}\}$



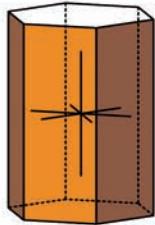
Dipiramide Hexagonal II.pos.

$\{hk0\} / \{hki0\}$



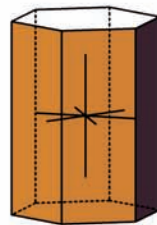
Prisma Hexagonal III.pos.

$\{100\} / \{10\bar{1}0\}$



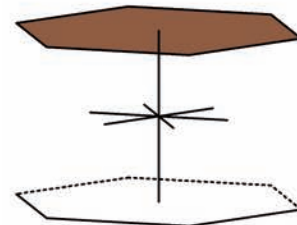
Prisma Hexagonal I.pos.

$\{110\} / \{11\bar{2}0\}$



Prisma Hexagonal II.pos.

$\{001\} / \{0001\}$



Bases Pinacóide

Exemplos de minerais:

Apatita $(\text{Ca},\text{Ba},\text{Pb},\text{Sr},\text{etc.})_5[(\text{PO}_4)_3(\text{F},\text{Cl},\text{OH})]$

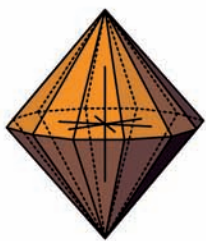
Piromorfita $\text{Pb}_5[(\text{PO}_4)_3/\text{Cl}]$

Vanadinita $\text{Pb}_5[(\text{VO}_4)_3/\text{Cl}]$

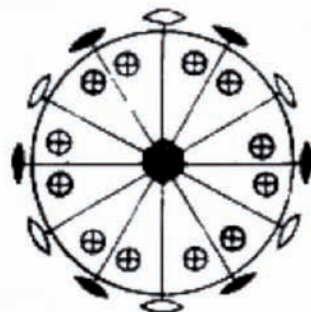
Hexagonales Kristallsystem

Hexagonale Holoedrie Symbol: 6/mmm oder D_{6h}
 Dihexagonal-dipyramidal Klasse (6/m 2/m 2/m)

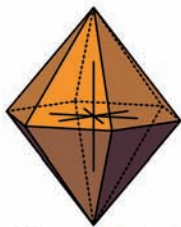
Allgemeine Form:
 $\{hkl\} / \{hkil\}$



Dihexagonale Dipyramiden

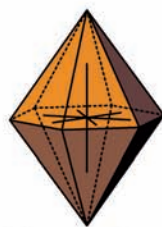


$\{h0l\} / \{h0\bar{l}\}$



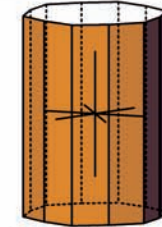
Hex.Dipyramiden I.St.

$\{hh\bar{l}\} / \{hh\bar{2}\bar{l}\}$



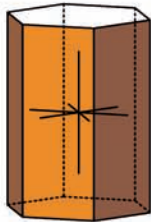
Hex.Dipyramiden II.St.

$\{hk0\} / \{hki0\}$



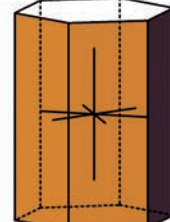
Dihex.Prismen

$\{100\} / \{10\bar{1}0\}$



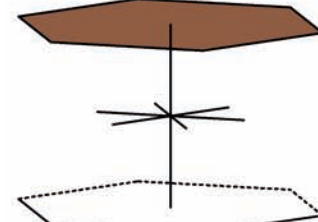
Hex.Prisma I.St.

$\{110\} / \{11\bar{2}0\}$



Hex.Prisma II.St.

$\{001\} / \{0001\}$



Basispinakoid

Mineral-Bsp.:

Beryll $\text{Be}_3\text{Al}_2[\text{Si}_6\text{O}_{18}]$ Covellin CuS

Graphit C Eis H_2O

Hochtridymit SiO_2

Sistema Cristalino Hexagonal

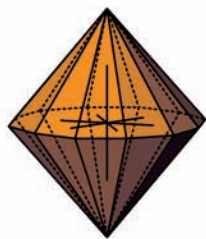
Holoedria hexagonal

Símbolo: 6/mmm ou D_{6h}

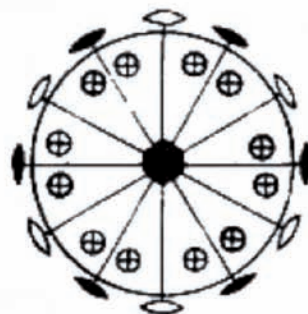
Classe bipiramidal dihexagonal

(6/m 2/m 2/m)

Forma geral:
 $\{hkl\} / \{hkil\}$



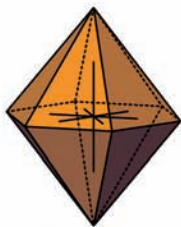
Bipirâmide dihexagonal



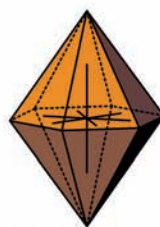
$\{h0l\} / \{h0\bar{l}\}$

$\{hh\bar{l}\} / \{h\bar{h}2\bar{l}\}$

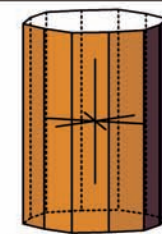
$\{hk0\} / \{hki0\}$



Bipiramide hexagonal I.pos.



Bipiramide hexagonal II.pos.

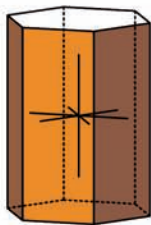


Prisma dihexagonal

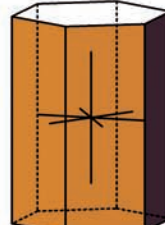
$\{100\} / \{10\bar{1}0\}$

$\{110\} / \{11\bar{2}0\}$

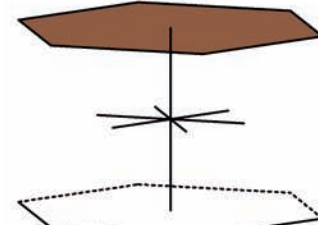
$\{001\} / \{0001\}$



Prisma hexagonal I.pos.



Prisma hexagonal II.pos.



Pinacoide Basal

Exemplos de minerais:

Berilo $\text{Be}_3\text{Al}_2[\text{Si}_6\text{O}_{18}]$

Covellita CuS

Grafita C

Gelo H_2O

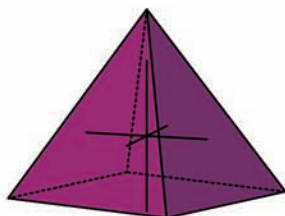
Tridimita SiO_2

Tetragonales Kristallsystem

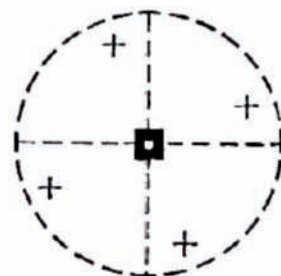
Hemimorphie d. tetragonal-pyramidalen Hemiedrie
Tetragonal-pyramidal Klasse

Symbol: 4 oder C_4

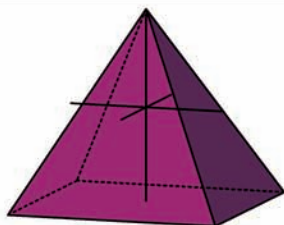
Allgemeine Form:
 $\{hkl\}$



Tetrag. Pyramiden III.St.

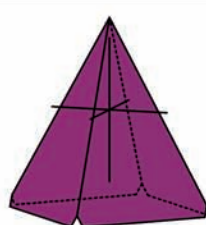


$\{h0l\}$



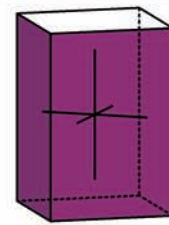
Tetrag. Pyramiden II.St.

$\{hh\ell\}$



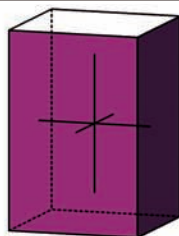
Tetrag. Pyramiden I.St.

$\{hk0\}$



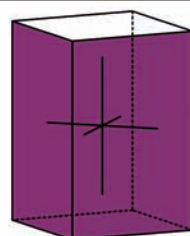
Tetrag. Prismen III.St.

$\{100\}$



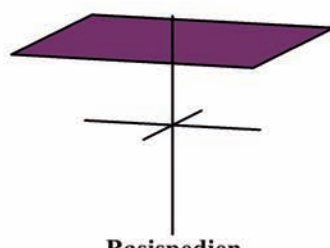
Tetrag. Prisma II.St.

$\{110\}$



Tetrag. Prisma I.St.

$\{001\}$



Basispedien

Mineral-Bsp.:

Piypite $K_2Cu_2[O/(SO_4)_2]$

Pinnoite $Mg[B_2O_4]*3H_2O$

Percleveite-(Ce) $(Ce,La,Nd)_2[Si_2O_7]$

Sistema Cristalino Tetragonal

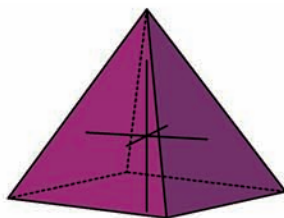
Ditetragonal Hemimorfo

Hemiedro Piramidal

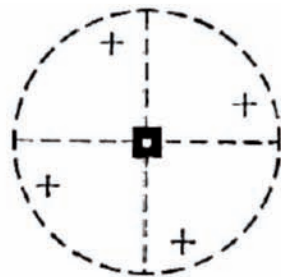
Classe tetragonal piramidal

Símbolo: 4 ou C₄

Forma geral:
 $\{hkl\}$



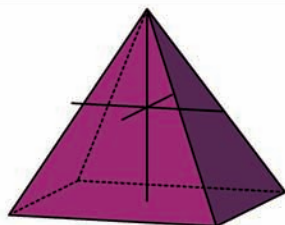
Pirâmide tetragonal III.pos.



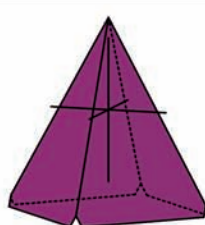
{h01}

{hh1}

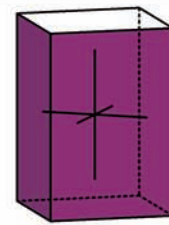
{hk0}



Piramide tetragonal II.pos.



Piramide tetragonal I.pos.

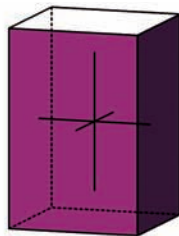


Prisma tetragonal III.pos.

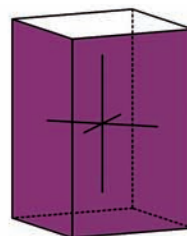
{100}

{110}

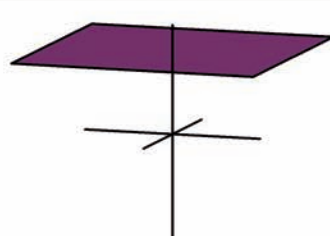
{001}



Prisma tetragonal II.pos.



Prisma tetragonal I.pos.



Base Pedien

Exemplos de minerais:

Piypita K₂Cu₂[O/(SO₄)₂]

Pinnoíta Mg[B₂O₄]^{*}3H₂O

Percleveíta-(Ce) (Ce,La,Nd)₂[Si₂O₇]

Tetragonales Kristallsystem

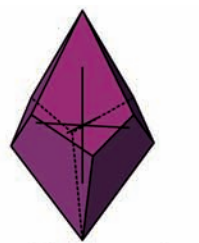
Tetragonal-trapezoedrische

Hemiedrie

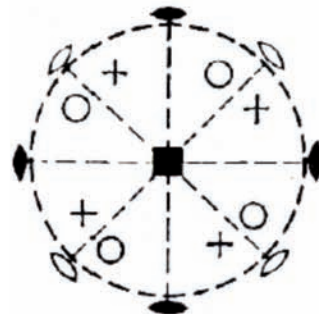
Tetragonal-trapezoedrische Klasse

Symbol: 422 oder D_4

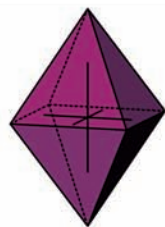
Allgemeine Form:
 $\{hkl\}$



Tetrag. Trapezoeder

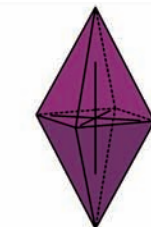


$\{h0l\}$



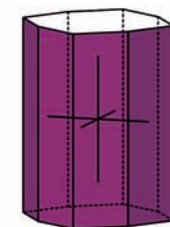
Tetrag.Dipyramiden II.St.

$\{hh\ell\}$



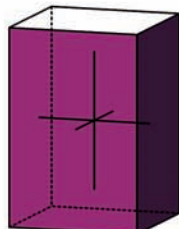
Tetrag.Dipyramiden I.St.

$\{hk0\}$



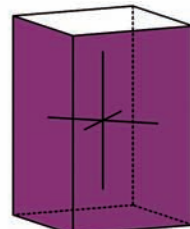
Ditetrag. Prismen

$\{100\}$



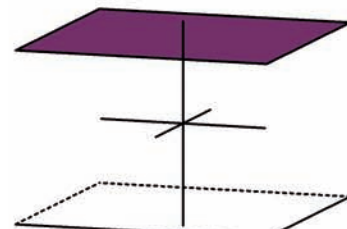
Tetrag.Prisma II.St.

$\{110\}$



Tetrag.Prisma I.St.

$\{001\}$



Basispinakoid

Mineral-Bsp.:

Retgersit $\text{Ni}[\text{SO}_4]*6\text{H}_2\text{O}$

Maucherit $\text{Ni}_{11}\text{As}_8$

Cristobalit SiO_2

Sistema Cristalino Tetragonal

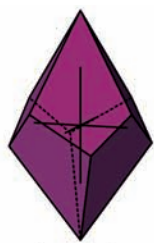
Trapezoedral tetragonal

Hemiedrio

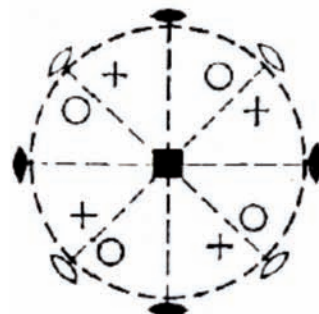
Classe tetragonal trapezoédrica

Símbolo: 422 ou D_4

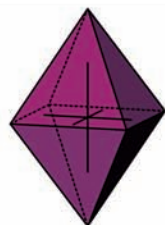
Forma geral:
 $\{hkl\}$



Trapezoedro tetragonal

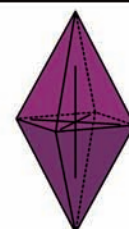


$\{h0l\}$



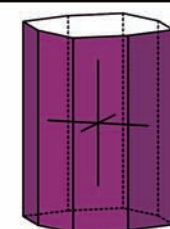
Dipyramide tetragonal II.pos.

$\{hh\ell\}$



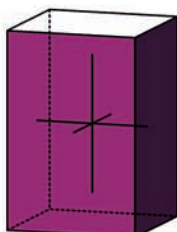
Dipyramide tetragonal I.pos.

$\{hk0\}$



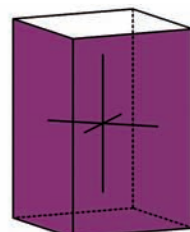
Prisma ditetragonal

$\{100\}$



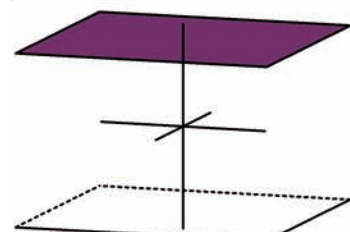
Prisma tetragonal II.pos.

$\{110\}$



Prisma tetragonal I.pos.

$\{001\}$



Base pinacoide

Exemplos de minerais:

Retgersita $\text{Ni}[\text{SO}_4]*6\text{H}_2\text{O}$

Maucherita $\text{Ni}_{11}\text{As}_8$

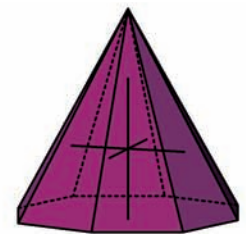
Cristobalita SiO_2

Tetragonales Kristallsystem

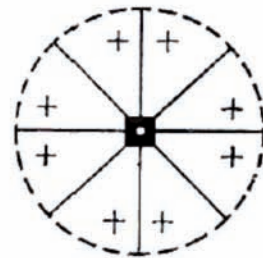
Hemimorphie d. tetragonalen
Holoedrie
Ditetragonal-pyramidal Klasse

Symbol: 4mm oder C_{4v}

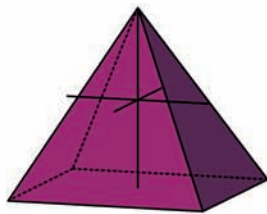
Allgemeine Form:
 $\{hkl\}$



Ditetrag. Pyramiden

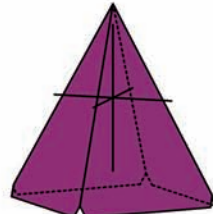


$\{h0l\}$



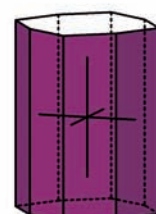
Tetrag.Pyramiden II.St.

$\{hh\}$



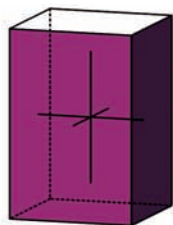
Tetrag.Pyramiden I.St.

$\{hk0\}$



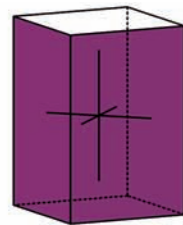
Ditetrag. Prismen

$\{100\}$



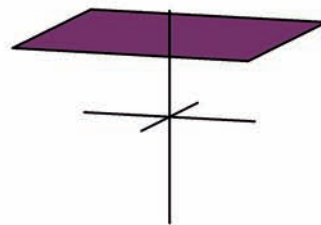
Tetrag.Prisma II.St.

$\{110\}$



Tetrag.Prisma I.St.

$\{001\}$



Basispedien

Mineral-Bsp.:

Diaboleit $Pb_2Cu[Cl_2/(OH)_4]$

Macedonite $PbTiO_3$

Nielsenite $PdCu_3$

Sistema Cristalino Tetragonal

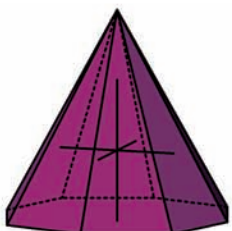
Tetragonal Hemimorfo

Holoedria

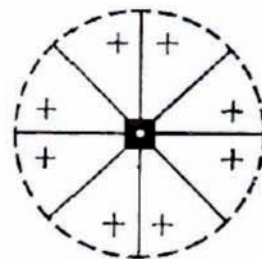
Classe ditetragonal piramidal

Símbolo: 4mm ou C_{4v}

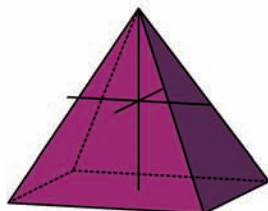
Forma geral:
 $\{hkl\}$



Pirâmide ditetragonal

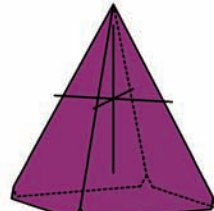


$\{h0l\}$



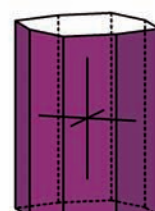
Piramide tetragonal II.pos.

$\{hh\ell\}$



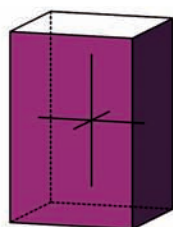
Piramide tetragonal I.pos.

$\{hk0\}$



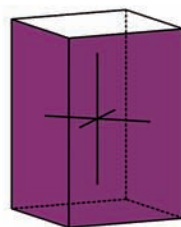
Prisma Ditetragonal

$\{100\}$



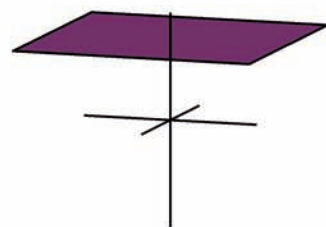
Prisma tetragonal II.pos.

$\{110\}$



Prisma tetragonal I.pos.

$\{001\}$



Base Pedien

Exemplos de minerais:

Diaboleita $Pb_2Cu[Cl_2/(OH)_4]$

Macedonita $PbTiO_3$

Nielsenita $PdCu_3$

Tetragonales Kristallsystem

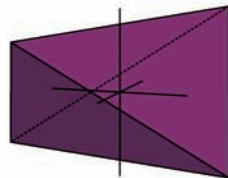
Tetragonal-sphenoidische

Tetartoedrie

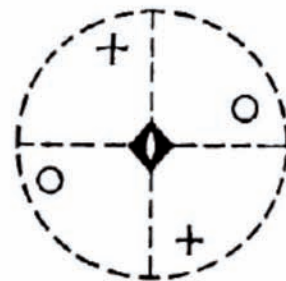
Tetragonal-disphenoidische Klasse

Symbol: $\bar{4}$ oder S_4

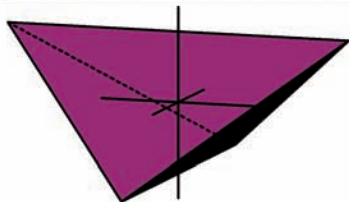
Allgemeine Form:
 $\{hkl\}$



Tetrag. Disphenoide III.St.

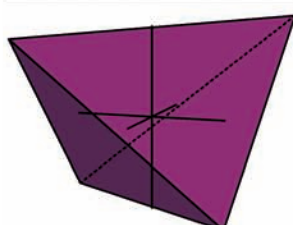


$\{h0l\}$



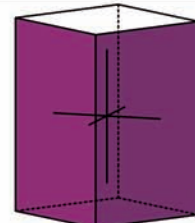
Tetrag. Disphenoide II.St.

$\{hh\ell\}$



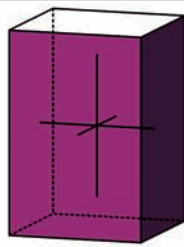
Tetrag. Disphenoide I.St.

$\{hk0\}$



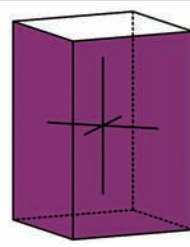
Tetrag. Prismen III.St.

$\{100\}$



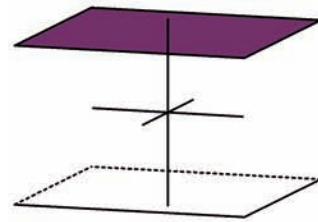
Tetrag. Prisma II.St.

$\{110\}$



Tetrag. Prisma I.St.

$\{001\}$



Basispinakoid

Mineral-Bsp.:

Cahnit $\text{Ca}_2[\text{AsO}_4/\text{B(OH)}_4]$

Tugtupit $\text{Na}_8[(\text{AlBeSi}_4\text{O}_{12})_2/\text{Cl}_2]$

Schreibersit $(\text{Fe}, \text{Ni})_3\text{P}$

Sistema Cristalino Tetragonal

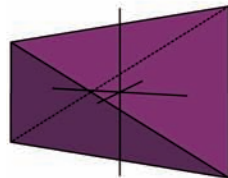
Esfenoide tetagonal

Tetardoedro

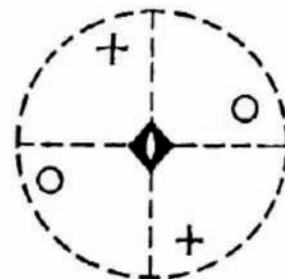
Classe tetagonal disfenoidal

Símbolo: $\bar{4}$ ou S_4

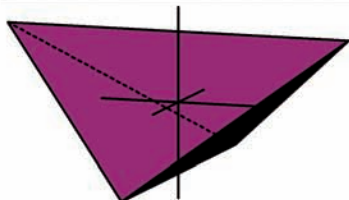
Forma geral:
 $\{hkl\}$



Disfenoide tetagonal III.pos.

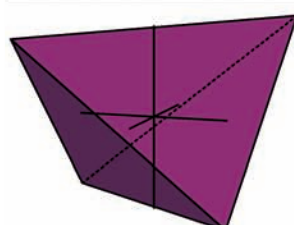


$\{h0l\}$



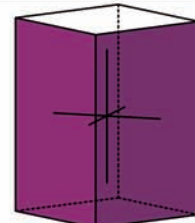
Disfenoide tetagonal II.pos.

$\{hh\ell\}$



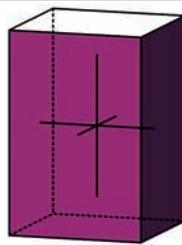
Disfenoide tetagonal I.pos.

$\{hk0\}$



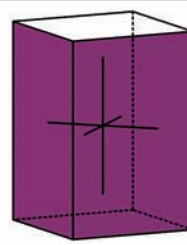
Prisma tetagonal III.pos.

$\{100\}$



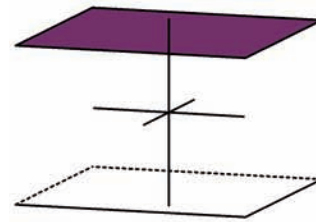
Prisma tetagonal II.pos.

$\{110\}$



Prisma tetagonal I.pos.

$\{001\}$



Base Pinacóide

Exemplos de minerais:

Canita $\text{Ca}_2[\text{AsO}_4/\text{B(OH)}_4]$

Tugtupita $\text{Na}_8[(\text{AlBeSi}_4\text{O}_{12})_2/\text{Cl}_2]$

Schreibersita $(\text{Fe},\text{Ni})_3\text{P}$

Tetragonales Kristallsystem

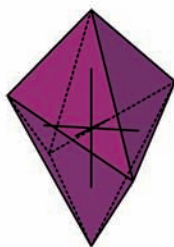
Tetragonal-sphenoidische

Hemiedrie

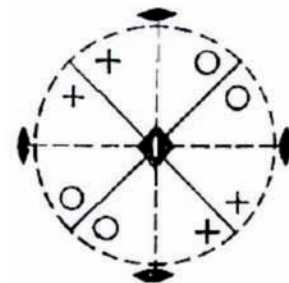
Tetragonal-skalenoedrische Klasse

Symbol: $\bar{4}2m$ oder D_{2d}

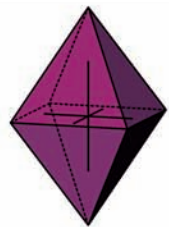
Allgemeine Form:
 $\{hkl\}$



Tetrag. Skalenoeder

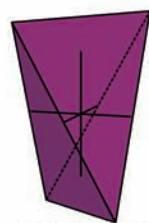


$\{h0l\}$



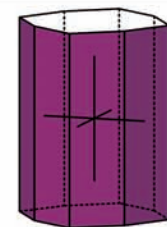
Tetrag. Dipyr. II.St.

$\{hh1\}$



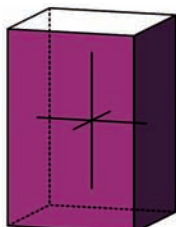
Tetrag. Disphenoide I.St.

$\{hk0\}$



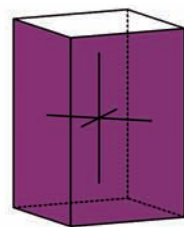
Ditetrag. Prismen

$\{100\}$



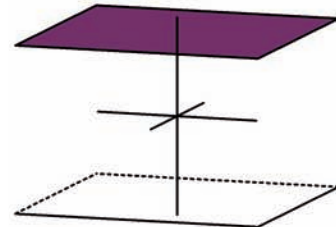
Tetrag. Prisma II.St.

$\{110\}$



Tetrag. Prisma I.St.

$\{001\}$



Basispinakoid

Mineral-Bsp.:

Chalkopyrit $CuFeS_2$

Mooihoekite $Cu_9Fe_9S_{16}$

Stannit Cu_2FeSnS_4

Sistema Cristalino Tetragonal

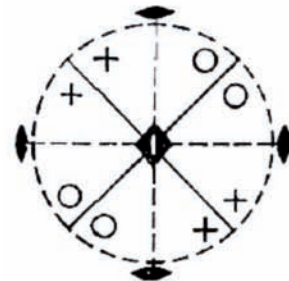
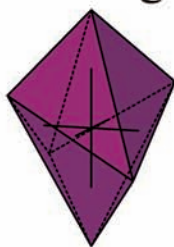
Esfenóide tetragonal

Hemiedria

Classe escalenoédrica tetragonal

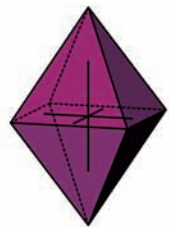
Símbolo: $\bar{4}2m$ ou D_{2d}

Forma geral:
 $\{hkl\}$



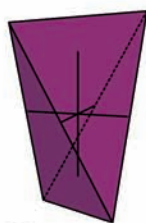
Escalenoedro tetragonal

$\{h0l\}$



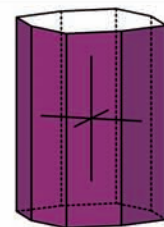
Dipiramide tetragonal II.pos.

$\{hh\ell\}$



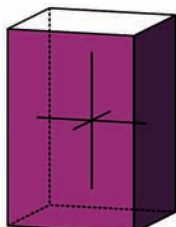
Diefenóide tetragonal I.pos.

$\{hk0\}$



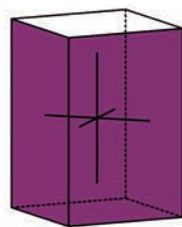
Prisma ditetragonal

$\{100\}$



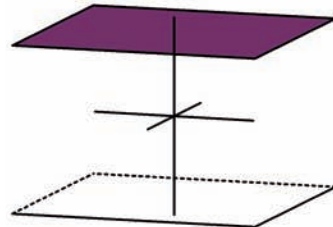
Prisma tetragonal II.pos.

$\{110\}$



Prisma tetragonal I.pos.

$\{001\}$



Bases de Pinacóide

Exemplos de minerais:

Calcopirita $CuFeS_2$

Mooihoequita $Cu_9Fe_9S_{16}$

Estanita Cu_2FeSnS_4

Tetragonales Kristallsystem

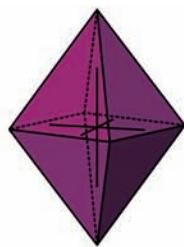
Tetragonal-dipyramidal

Hemiedrie

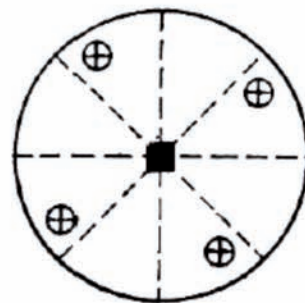
Tetragonal-dipyramidal Klasse

Symbol: 4/m oder C_{4h}

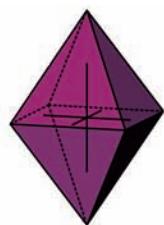
Allgemeine Form:
 $\{hkl\}$



Tetrag.Dipyramiden III.St.

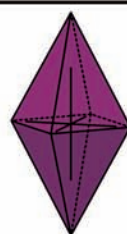


$\{h0l\}$



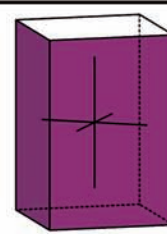
Tetrag.Dipyramiden II.St.

$\{hhl\}$



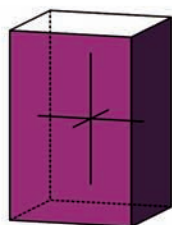
Tetrag.Dipyramiden I.St.

$\{hk0\}$



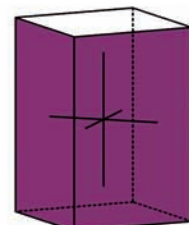
Tetrag.Prismen III.St.

$\{100\}$



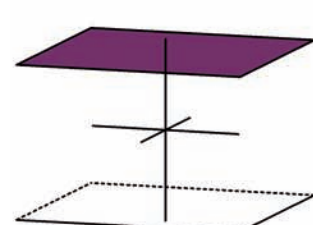
Tetrag.Prisma II.St.

$\{110\}$



Tetrag.Prisma I.St.

$\{001\}$



Basispinakoid

Mineral-Bsp.:

Scheelit $\text{Ca}[\text{WO}_4]$

Vesuvian $\text{Ca}_{19}(\text{Mg},\text{Fe},\text{Ti})_4\text{Al}_9[(\text{OH},\text{F})_{10}/(\text{SiO}_4)_{10}/(\text{Si}_2\text{O}_7)_4]$

Fergusonit YNbO_4

Sistema Cristalino Tetragonal

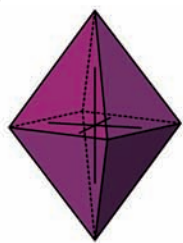
Tetragonal dipiramidal

Hemiedria

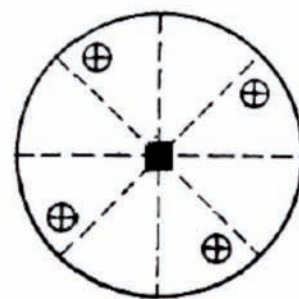
Classe Tetragonal dipiramidal

Símbolo: 4/m ou C_{4h}

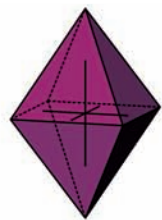
Forma geral:
 $\{hkl\}$



Dipirâmide tetragonal III.pos.

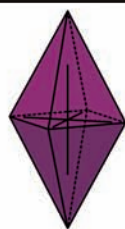


$\{h0l\}$



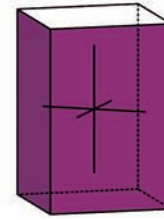
Dipiramide Tetragonal II.pos.

$\{hh\ell\}$



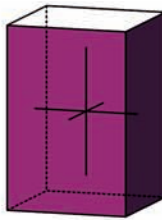
Dipiramide Tetragonal I.pos.

$\{hk0\}$



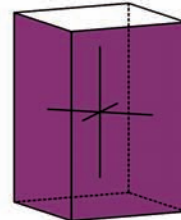
Prisma Tetragonal III.pos.

$\{100\}$



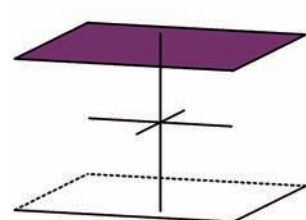
Prisma Tetragonal II.pos.

$\{110\}$



Prisma Tetragonal I.pos.

$\{001\}$



Base de Pinacóide

Exemplos de minerais:

Scheelita $\text{Ca}[\text{WO}_4]$

Vesuvianita $\text{Ca}_{19}(\text{Mg},\text{Fe},\text{Ti})_4\text{Al}_9[(\text{OH},\text{F})_{10}/(\text{SiO}_4)_{10}/(\text{Si}_2\text{O}_7)_4]$

Fergusonita YNbO_4

Tetragonales Kristallsystem

Tetragonale Holoedrie

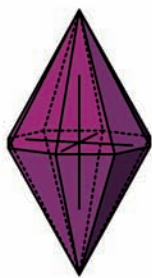
Dietragonal-dipyramidal

Klasse

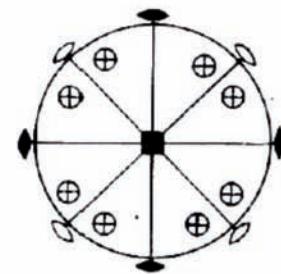
Symbol: $4/m\ 2/m\ 2/m$

$(4/m\ m\ m)$ oder D_{4h}

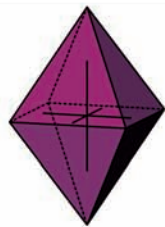
Allgemeine Form:
 $\{hkl\}$



Ditetrag. Dipyramiden

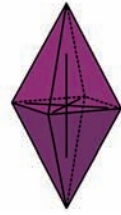


$\{h0l\}$



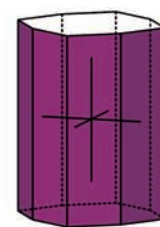
Tetrag.Dipyramiden II.St.

$\{hh1\}$



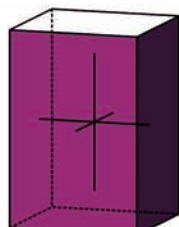
Tetrag.Dipyramiden I.St.

$\{hk0\}$



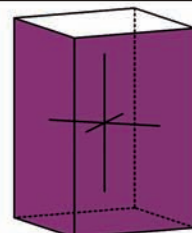
Ditetrag.Prismen

$\{100\}$



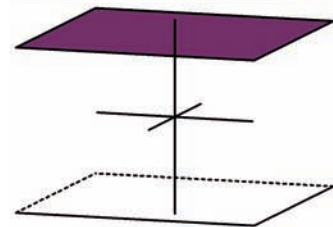
Tetrag.Prisma II.St.

$\{110\}$



Tetrag.Prisma I.St.

$\{001\}$



Basispinakoid

Mineral-Bsp.:

Rutil TiO_2

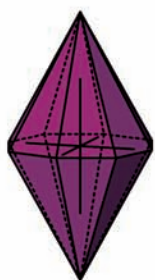
Anatas TiO_2

Zirkon $Zr[SiO_4]$

Sistema Cristalino Tetragonal

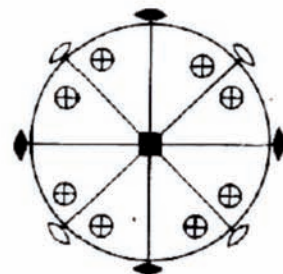
Holoedria Tetragonal
Classe dipiramidal
ditetragonal

Forma geral:
 $\{hkl\}$

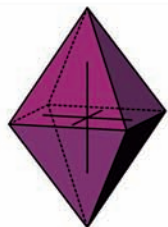


Dipirâmide ditetragonal

Símbolo: $4/m \ 2/m \ 2/m$
 $(4/m \ m \ m)$ ou D_{4h}

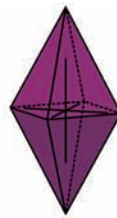


$\{h0l\}$



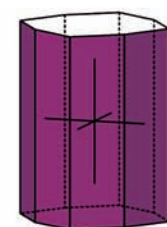
Dipirâmide Tetragonal II.pos.

$\{hh\ell\}$



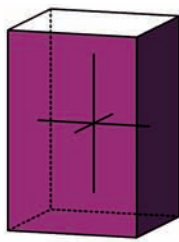
Dipirâmide Tetragonal I.pos.

$\{hk0\}$



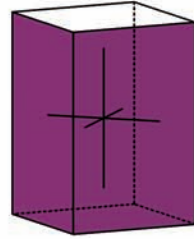
Prisma Ditetragonal

$\{100\}$



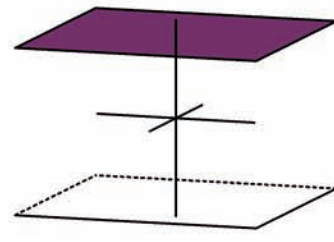
Prisma Tetragonal II.pos.

$\{110\}$



Prisma Tetragonal I.pos.

$\{001\}$



Base de Pinacóide

Exemplos de minerais:

Rutilo TiO_2

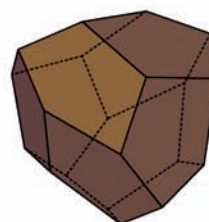
Anatásio TiO_2

Zircão $Zr[SiO_4]$

Kubisches Kristallsystem

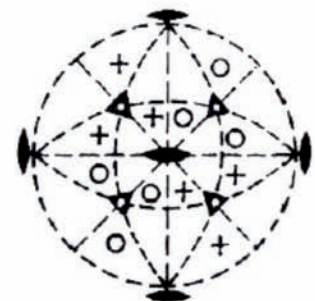
Kubische Tetartoedrie
Tetraedisch-pentagon-
doekaedrische Klasse

Allgemeine Form:
 $\{hkl\}$

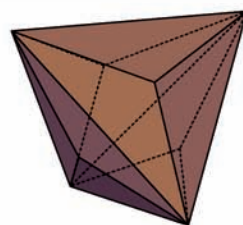


Tetraedr. Pentagondodekaeder

Symbol: 23 oder T

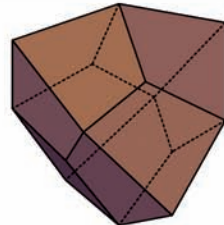


$\{hll\}$



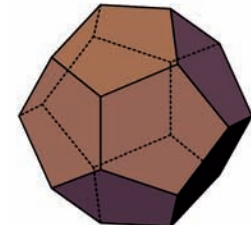
Pyramidentetraeder

$\{hhl\}$



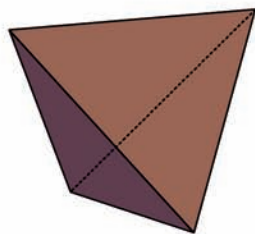
Deltoiddodekaeder

$\{hk0\}$



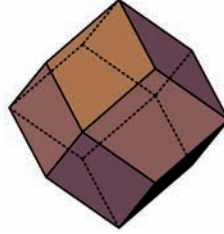
Pentagondodekaeder

$\{111\}$



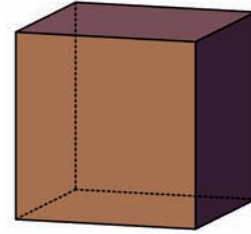
Tetraeder

$\{110\}$



Rhombendodekaeder

$\{100\}$



Würfel/ Hexaeder

Mineral-Bsp.:

Langbeinit $K_2Mg_2[(SO_4)_3]$

Ullmannit NiSbS

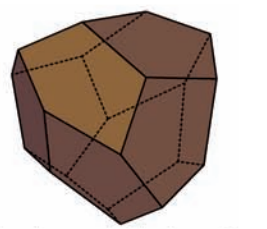
Gersdorffit NiAsS

Sistema Cristalino Isométrico

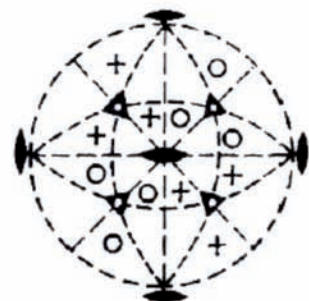
Tetartoedro Cúbico

Classe pentagonitetratetraédrica Símbolo: 23 ou T

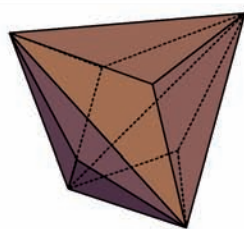
Forma geral:
 $\{hkl\}$



Pentagonitetratetraedro

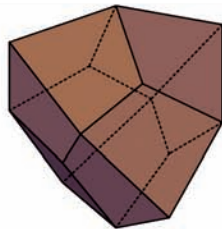


$\{hll\}$



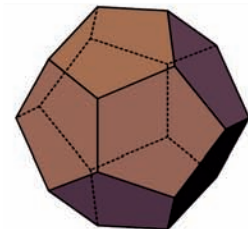
Tetraedro piramidal

$\{hh\ell\}$



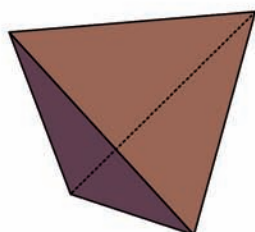
Deltoidodecaedro

$\{hk0\}$



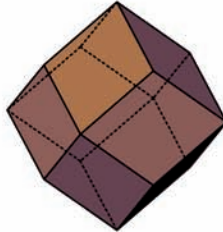
Pentagonododecaedro

$\{111\}$



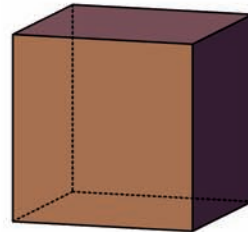
Tetraedro

$\{110\}$



Rombododecaedro

$\{100\}$



Cubo

Exemplos de minerais:

Langbeinita $K_2Mg_2[(SO_4)_3]$

Ullmanita NiSbS

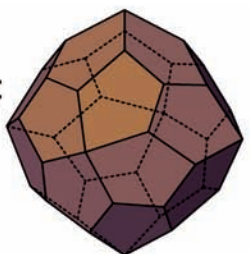
Gersdorffita NiAsS

Kubisches Kristallsystem

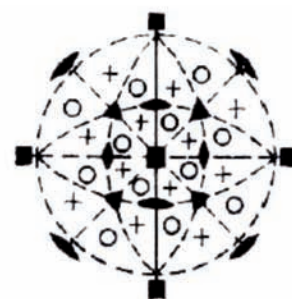
Gyroedrische Hemiedrie
Pentagonikositetraedrische Klasse

Symbol: 432 oder O

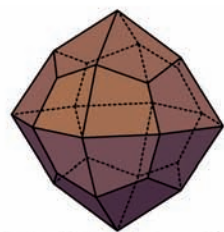
Allgemeine Form:
 $\{hkl\}$



Pentagonikositetraeder

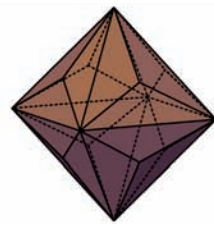


$\{hll\}$



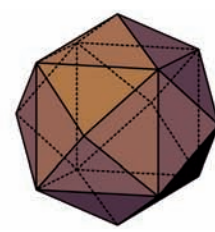
Deltoidikositetraeder

$\{hhl\}$



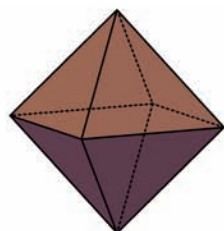
Pyramidenoktaeder

$\{hk0\}$



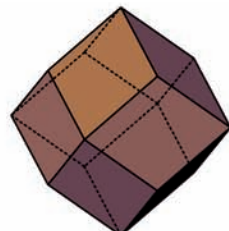
Pyramidenwürfel

$\{111\}$



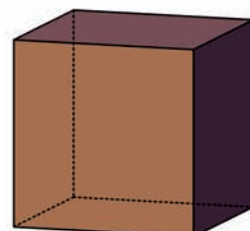
Oktaeder

$\{110\}$



Rhombendodekaeder

$\{100\}$



Würfel/ Hexaeder

Mineral-Bsp.:

Maghemit Gamma- Fe_2O_3

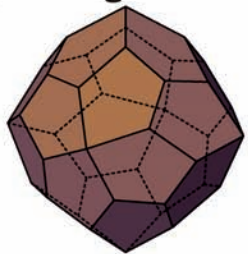
Choloalit $\text{CuPb}[(\text{TeO}_3)_2]$

Petzit Ag_3AuTe_2

Sistema Cristalino Isométrico

Hemiedro Girodedral
Classe tetraedro pentagonal

Forma geral:
 $\{hkl\}$

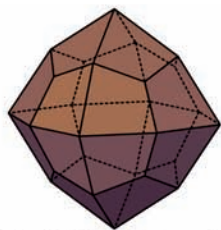


Pentagonicositetraedro

Símbolo: 432 ou O

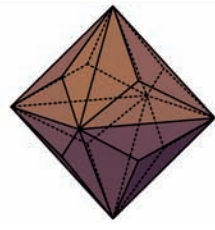


$\{hll\}$



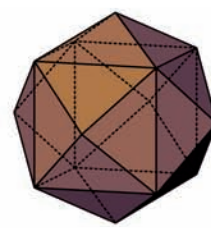
Deltoidicositetraedro

$\{hh\ell\}$



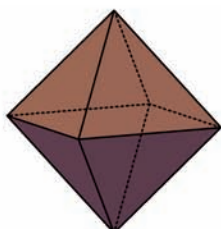
Trisoctaedro

$\{hk0\}$



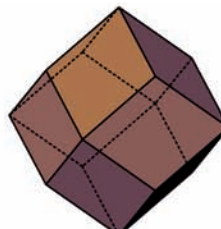
Tetrahexaedro

$\{111\}$



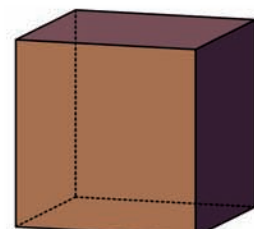
Oktaedro

$\{110\}$



Rombododecaedro

$\{100\}$



Ou Hexaedro

Exemplos de minerais:

Maghemita Gamma- Fe_2O_3

Choloalita $\text{CuPb}[(\text{TeO}_3)_2]$

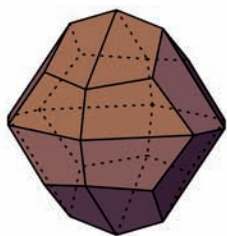
Petzita Ag_3AuTe_2

Kubisches Kristallsystem

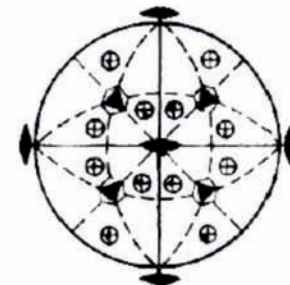
Parallelflächige Hemiedrie
Disdodekaedrische Klasse

Symbol: $2/m \bar{3}$ oder T_h
(m^3)

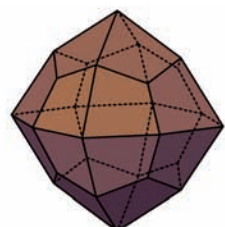
Allgemeine Form:
 $\{hkl\}$



Disdodekaeder

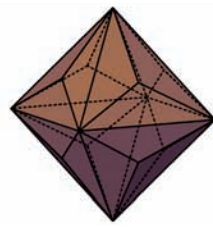


$\{hll\}$



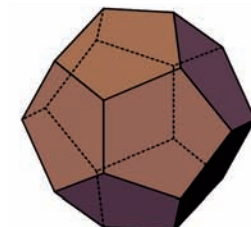
Deltoidikositetraeder

$\{hhl\}$



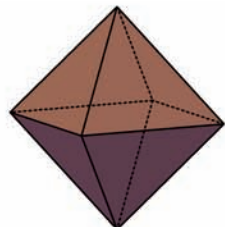
Pyramidenoktaeder

$\{hk0\}$



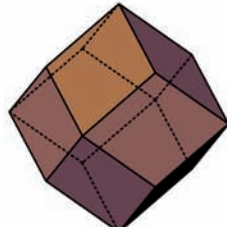
Pentagondodekaeder

$\{111\}$



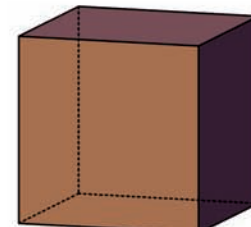
Oktaeder

$\{110\}$



Rhombendodekaeder

$\{100\}$



Würfel/Hexaeder

Mineral-Bsp.:

Pyrit FeS_2

Cobaltin $CoAsS$

Alaune, z.B. $KAl[SO_4]_2 \cdot 12H_2O$

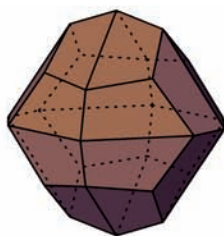
Bixbyit $(Mn,Fe)_2O_3$

Sistema Cristalino Ou Isométrico

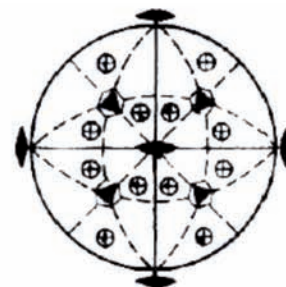
Hemiedro planer-paralelo
Classe disdodecaédrica

Símbolo: $2/m \bar{3}$ ou T_h
(m^3)

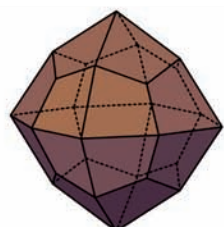
Forma geral:
 $\{hkl\}$



Disdodecaedro

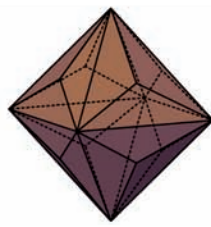


$\{hll\}$



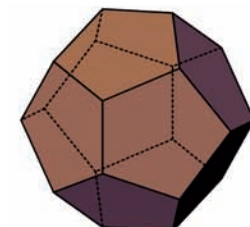
Deltoidicositetraedro

$\{hh\}$



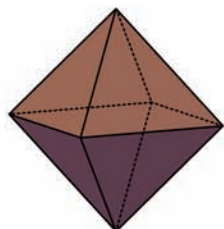
Trisoctaedro

$\{hk0\}$



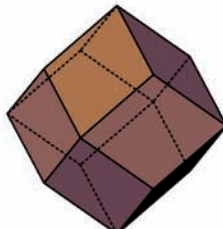
Pentagondodecaedro

$\{111\}$



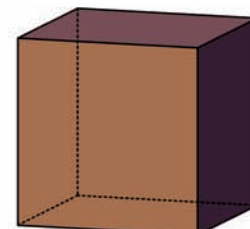
Octaedro

$\{110\}$



Rombododecaedro

$\{100\}$



Ou hexaedro

Exemplos de minerais:

Pirita FeS_2

Cobaltita $CoAsS$

Alunita, z.B. $KAl[SO_4]_2 \cdot 12H_2O$

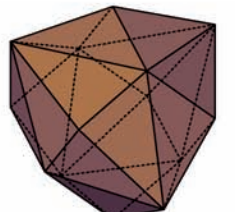
Bisbyita $(Mn,Fe)_2O_3$

Kubisches Kristallsystem

Geneigtflächige Hemiedrie
Hexakistetraedrische Klasse

Symbol: $\bar{4}3m$ oder T_d

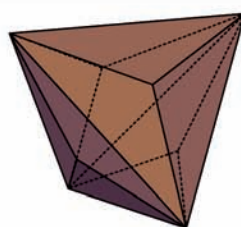
Allgemeine Form:
 $\{hkl\}$



Hexakistetraeder

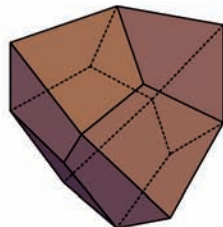


$\{hll\}$



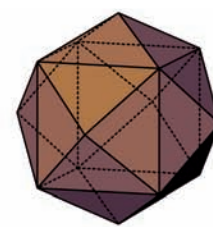
Pyramidentetraeder

$\{hhl\}$



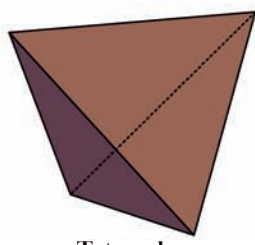
Deltoiddodekaeder

$\{hk0\}$



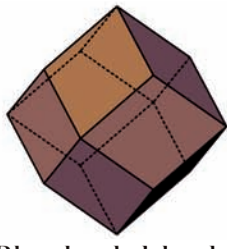
Pyramidenwürfel

$\{111\}$



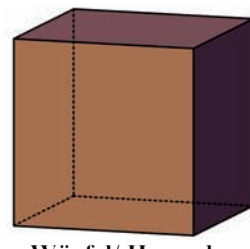
Tetraeder

$\{110\}$



Rhombendodekaeder

$\{100\}$



Würfel/ Hexaeder

Mineral-Bsp.:

Sphalerit/Zinkblende ZnS

Tetraedrit $(Cu,Fe)_{12}[Sb_4S_{13}]$

Sodalith $Na_8[(Cl)_2(AlSiO_4)_6]$

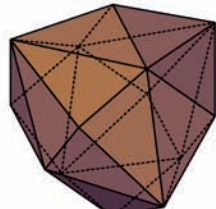
Mayenit $Ca_{12}Al_{14}O_{33}$

Sistema Cristalino Ou isométrico

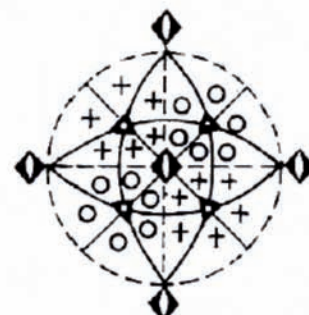
Hemiedria de fácie inclinada
Classe hexatetraédrica

Símbolo: $\bar{4}3m$ ou T_d

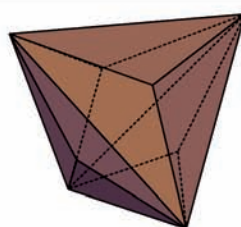
Forma geral:
 $\{hkl\}$



Hexatetraedro

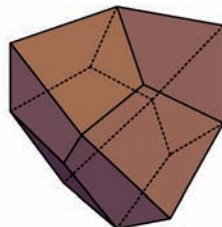


$\{hll\}$



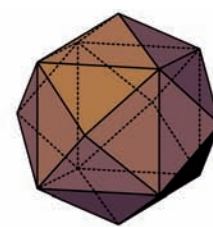
Tristetraedro

$\{hh\}$



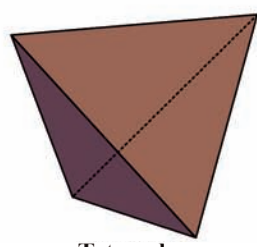
Tetraedro deltoide

$\{hk0\}$



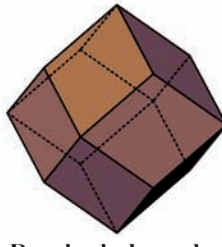
Tetrahexaedro

$\{111\}$



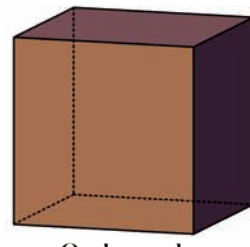
Tetraedro

$\{110\}$



Rombododecaedro

$\{100\}$



Ou hexaedro

Exemplos de minerais:

Esfalerita ou blenda ZnS

Tetraedrota $(Cu,Fe)_{12}[Sb_4S_{13}]$

Sodalita $Na_8[(Cl)_2(AlSiO_4)_6]$

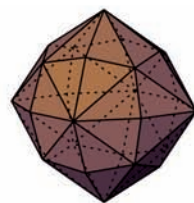
Mayenita $Ca_{12}Al_{14}O_{33}$

Kubisches Kristallsystem

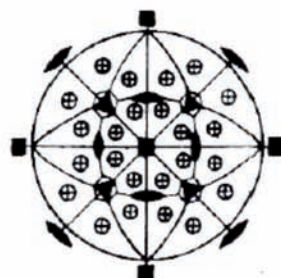
Kubische Holoedrie
Hexakisoktaedrische Klasse

Symbol: $4/m \bar{3} 2/m$ oder O_h
(m3m)

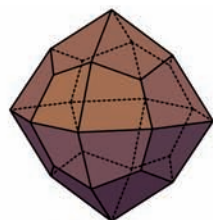
Allgemeine Form:
 $\{hkl\}$



Hexakisoktaeder

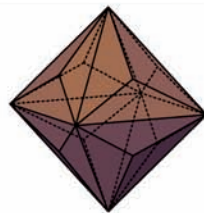


$\{hll\}$



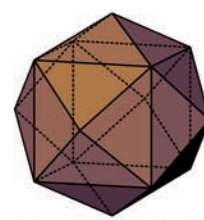
Deltoidikositetraeder

$\{hh\ell\}$



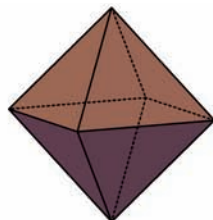
Pyramidenoktaeder

$\{hk0\}$



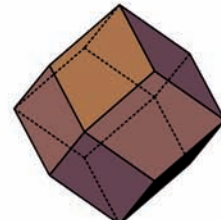
Pyramidenwürfel

$\{111\}$



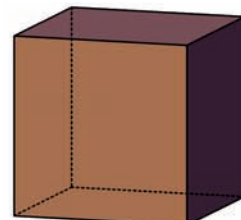
Oktaeder

$\{110\}$



Rhombendodekaeder

$\{100\}$



Würfel/Hexaeder

Mineral-Bsp.:

Elemente: Au, Ag, Cu, Pt,
Pb, Fe, W, Si, C(Diamant)
Halit/Steinsalz NaCl

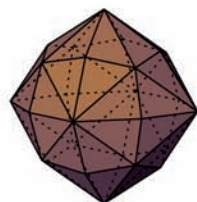
Galenit/Bleiglanz PbS
Fluorit/Flußspat CaF₂
Spinelle, z.B. MgAl₂O₄
Granate Me^{II}₃Me^{III}₂[SiO₄]₃

Sistema Cristalino Cúbico

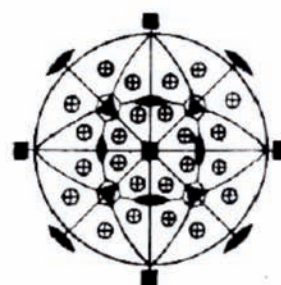
Holoedria Cubica
Classe Hexaoctaédrica

Símbolo: $4/m \bar{3} 2/m$ ou O_h
($m\bar{3}m$)

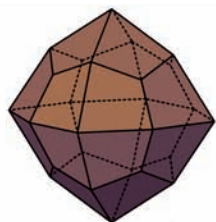
Forma geral:
 $\{hkl\}$



Hexaoctaedro

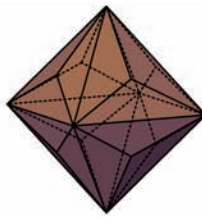


$\{hll\}$



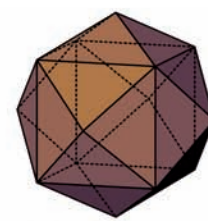
Octaedro deltóide

$\{hh\ell\}$



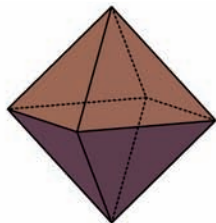
Trisoctaedro

$\{hk0\}$



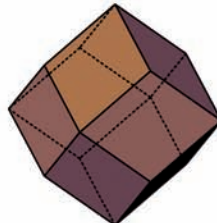
Tetrahexaedro

$\{111\}$



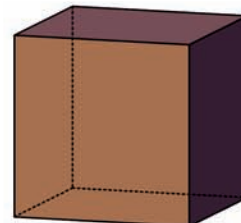
Oktaedro

$\{110\}$



Rombododecaedro

$\{100\}$



Ou hexaedro

Exemplos de minerais:

Elementos nativos: Au, Ag, Cu, Fluorita CaF_2 ,
Pt, Pb, Fe, W, Si, diamante C Espinélio $MgAl_2O_4$
Halita NaCl Granada $Me^{II}_3Me^{III}_2[SiO_4]_3$

Galena/Galenita PbS

Beispiele für korrelate Kristallformen

Formenausbildung

Positiv – Negativ

Rechts – Links

Oben – Unten

Vorn - Hinten

Exemplos de formas cristalográficas correlatas

Descrição de Formas

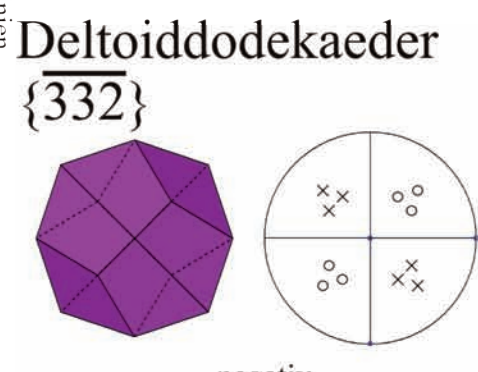
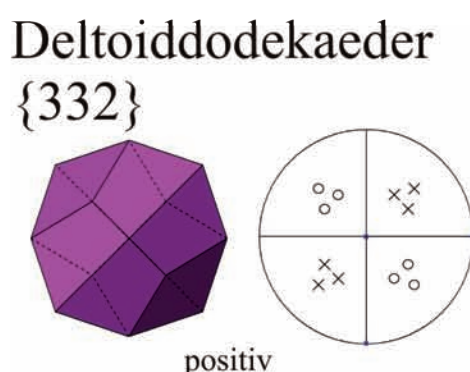
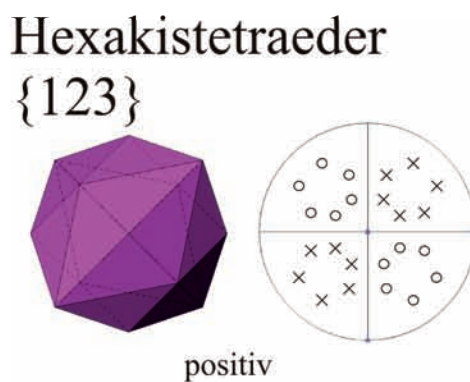
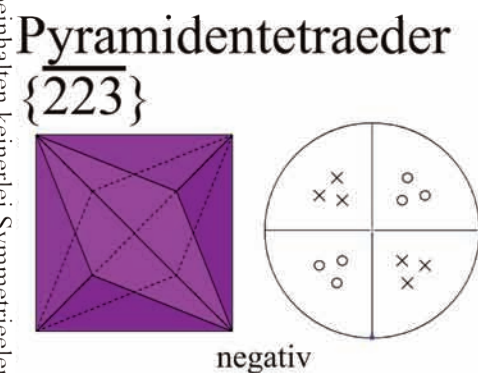
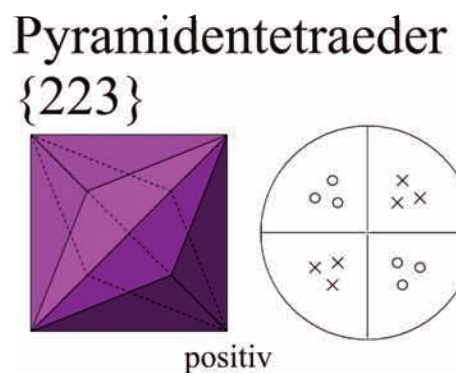
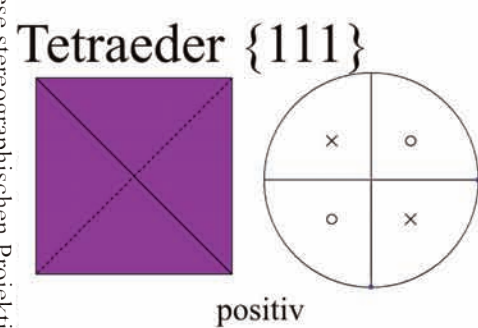
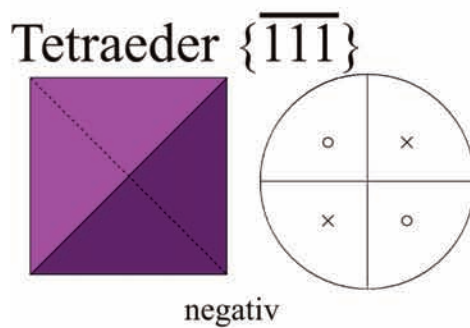
Positiva – Negativa

Direita – Esquerda

Acima – Abaixo

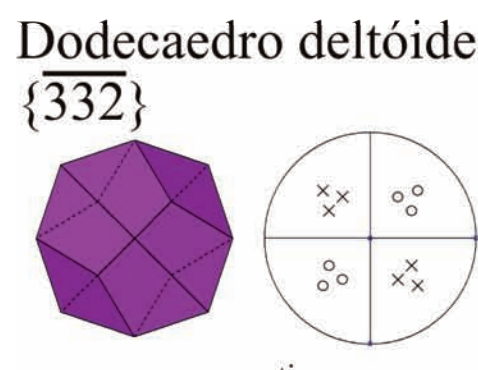
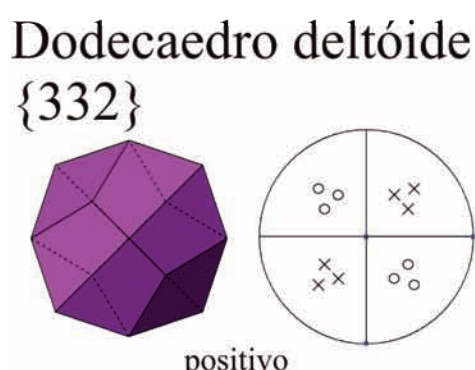
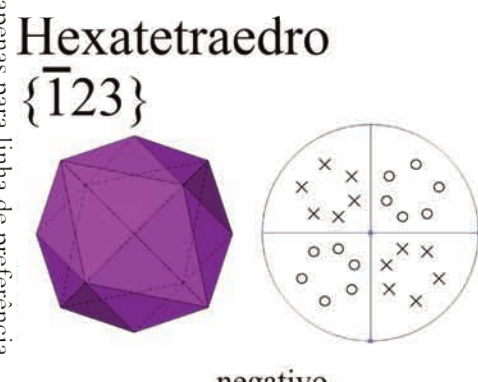
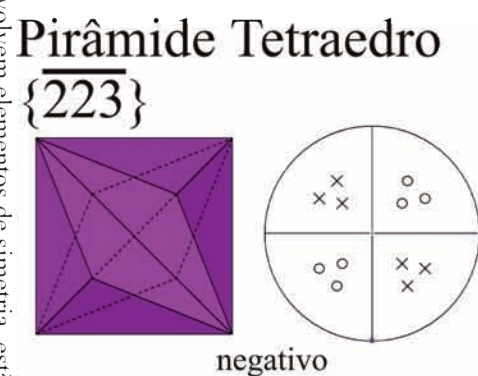
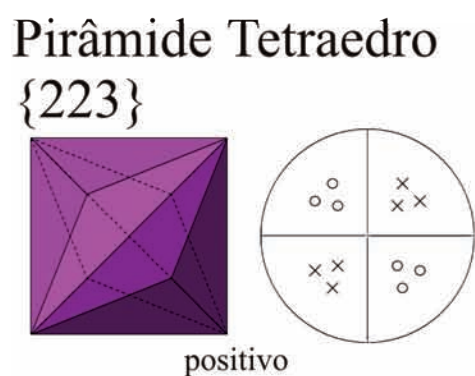
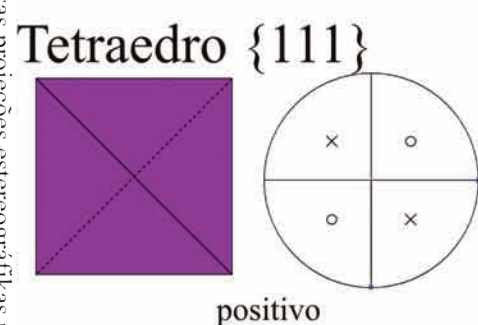
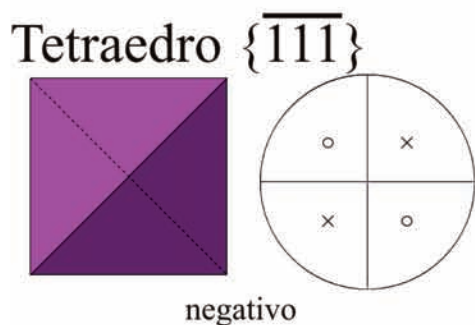
A Frente - Atrás

Kubisches Kristallsystem



Diese stereographischen Projektionen beinhalten keinerlei Symmetrieelemente, es handelt sich hier lediglich um Bezugslinien

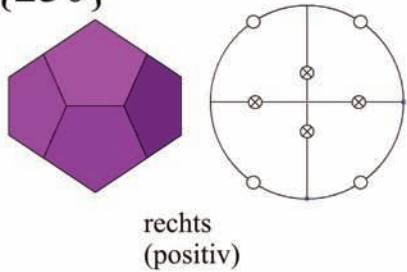
Sistema Cristalino Cúbico



Essas projeções estereográficas não envolvem elementos de simetria, estão aqui apenas para linha de preferência

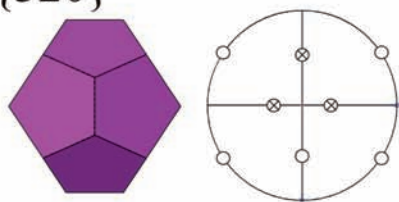
Kubisches Kristallsystem

Pentagondodekaeder
 $\{230\}$



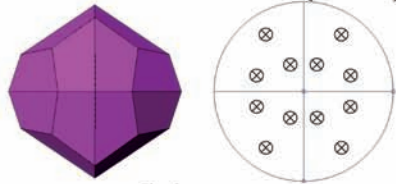
rechts
 (positiv)

Pentagondodekaeder
 $\{320\}$



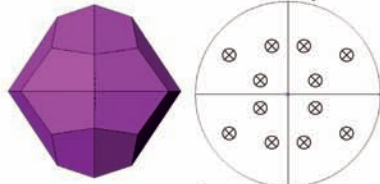
links
 (negativ)

Disdodekaeder $\{213\}$



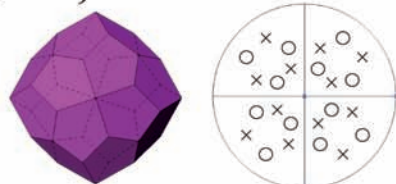
links
 (positiv)

Disdodekaeder $\{123\}$

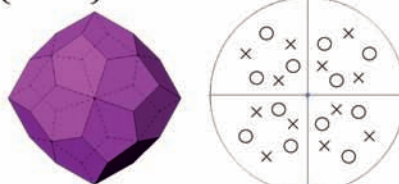


rechts
 (negativ)

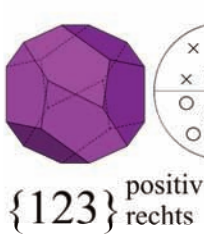
Pentagonikositetraeder
 $\{123\}$ rechts



Pentagonikositetraeder
 $\{213\}$ links



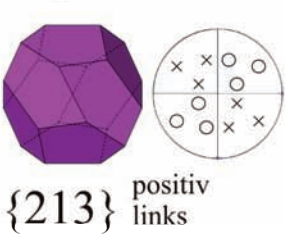
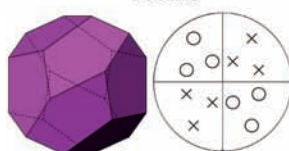
Diese stereographischen Projektionen beinhalten keinerlei Symmetrieelemente, es handelt sich hier lediglich um Bezugslinien



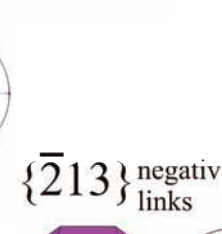
$\{123\}$ positiv
 rechts



$\{\bar{1}23\}$ negativ
 rechts



$\{213\}$ positiv
 links

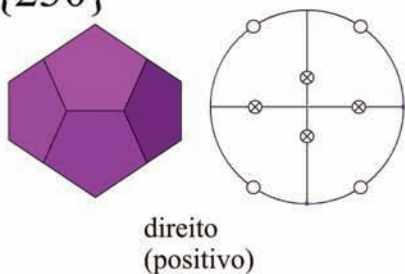


$\{\bar{2}13\}$ negativ
 links



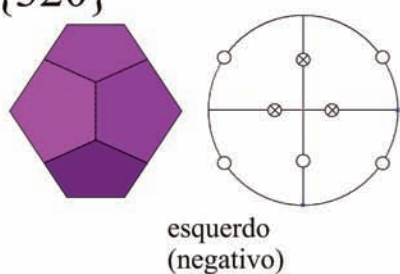
Sistema Cristalino Ou Isométrico

Pentadodecaedro
 $\{230\}$



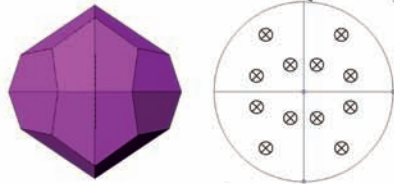
direito
 (positivo)

Pentadodecaedro
 $\{320\}$



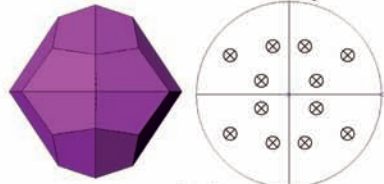
esquerdo
 (negativo)

Disdodecaedro $\{213\}$



esquerdo
 (positivo)

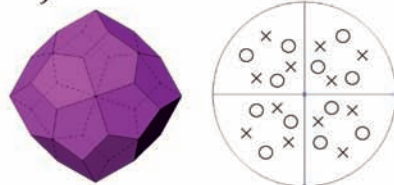
Disdodecaedro $\{123\}$



direito
 (negativo)

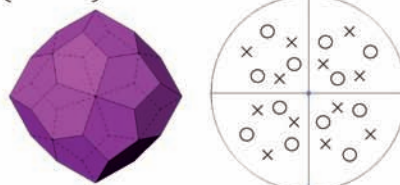
Icositetraedro pentagonal
 $\{123\}$

direito



Icositetraedro pentagonal
 $\{213\}$

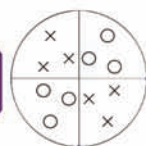
esquerdo



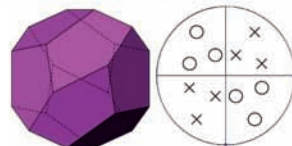
Pentadodecaedro Tetraédrico



$\{123\}$ positivo
 direito

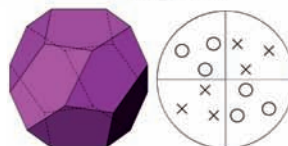


$\{\bar{1}23\}$ negativo
 direito



$\{213\}$ positivo
 esquerdo

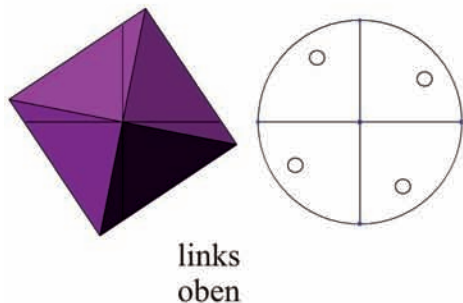
$\{\bar{2}13\}$ negativo
 esquerdo



Essas projeções estereográficas não envolvem elementos de simetria, estão aqui apenas para linha de preferência

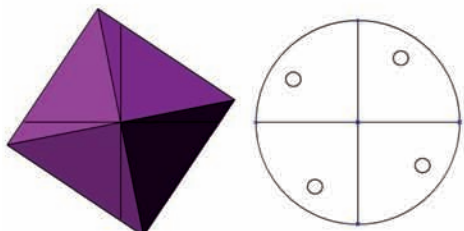
Tetragonales Kristallsystem

Pyramide {321}



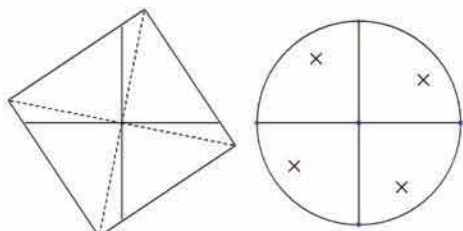
links
oben

Pyramide {231}



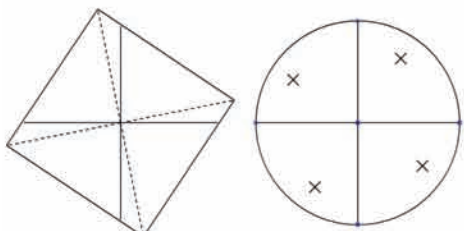
rechts
oben

Pyramide {321̄}



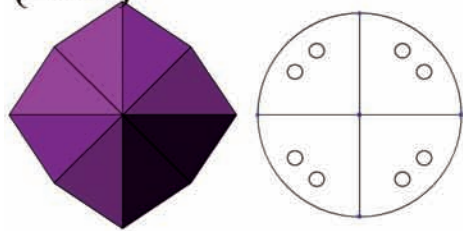
links
unten

Pyramide {231̄}



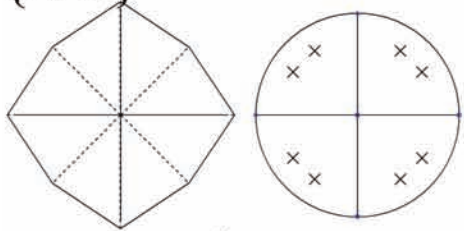
rechts
unten

Ditetrag. Pyramide
{321}



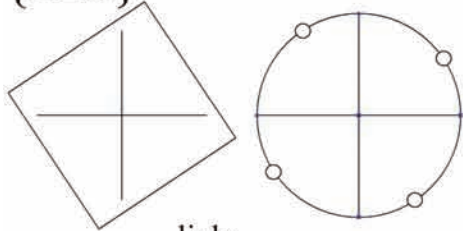
unten

Ditetrag. Pyramide
{321̄}



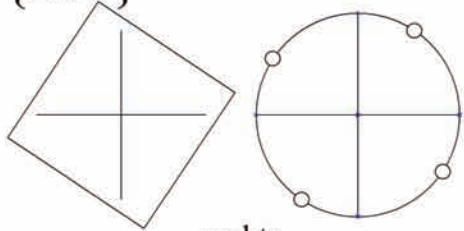
oben

Prisma III. Stellung
{320}



links

Prisma III. Stellung
{230}

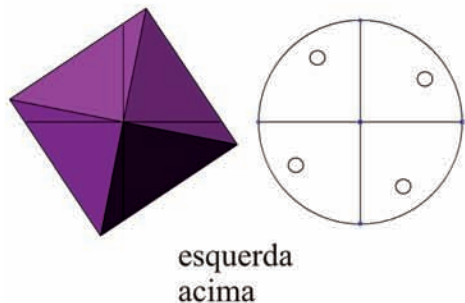


rechts

Diese stereographischen Projektionen beinhalten keinerlei Symmetrieelemente, es handelt sich hier lediglich um Bezugslinien

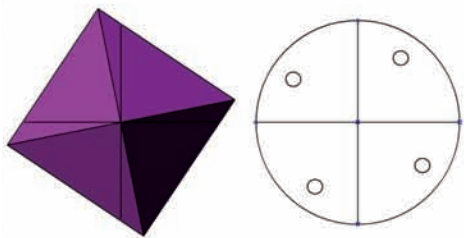
Sistema Cristalino Tetragonal

Pirâmide $\{321\}$



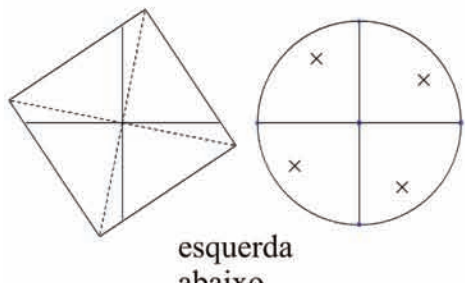
esquerda
acima

Pirâmide $\{231\}$



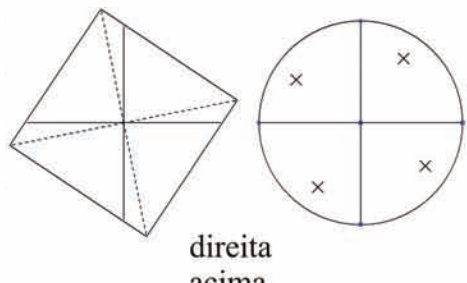
direita
acima

Pirâmide $\{32\bar{1}\}$



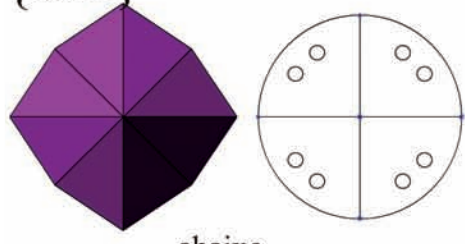
esquerda
abaixo

Pirâmide $\{23\bar{1}\}$



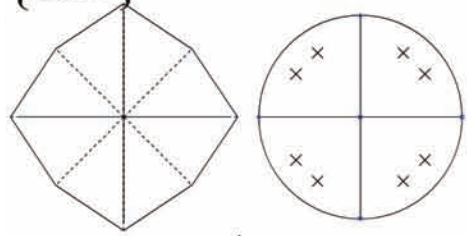
direita
acima

Pirâmide Ditetragonal
 $\{321\}$



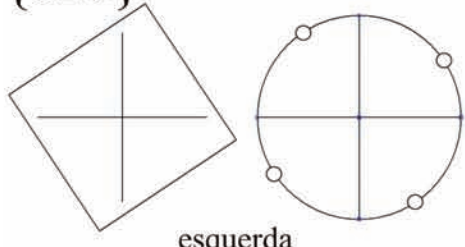
abaixo

Pirâmide Ditetragonal
 $\{32\bar{1}\}$



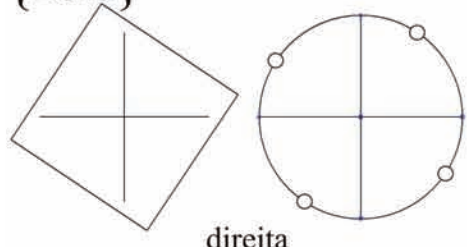
acima

Posição III Prisma
 $\{320\}$



esquerda

Posição III Prisma
 $\{230\}$

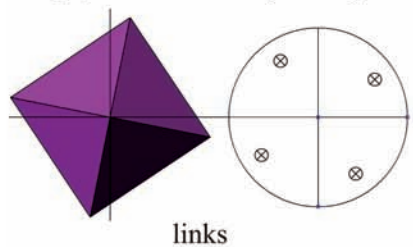


direita

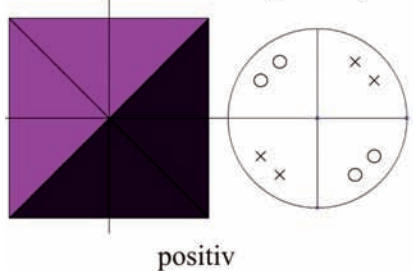
Essas projeções estereográficas não envolvem elementos de simetria, estão aqui apenas para linha de preferência

Tetragonales Kristallsystem

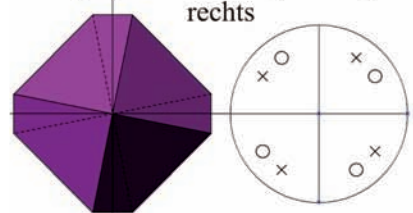
Dipyramide {321}



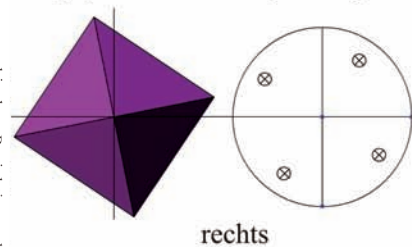
Skalenoeder {321}



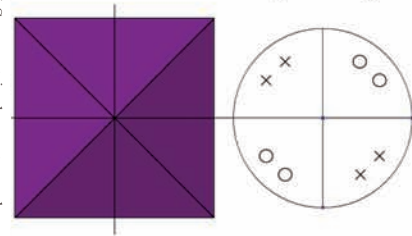
Trapezoeder {321}



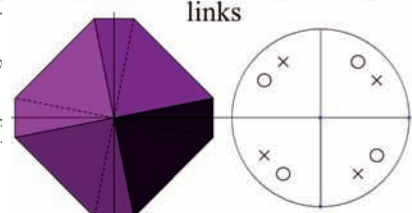
Dipyramide {231}



Skalenoeder {3̄21}



Trapezoeder {231}



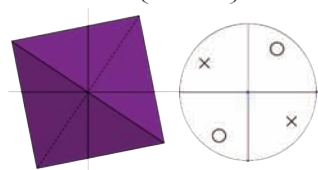
Diese stereographischen Projektionen beinhalten keinerlei Symmetrieelemente, es handelt sich hier lediglich um Bezugslinien



Tetragonales Disphenoid

links negativ

{3̄21}

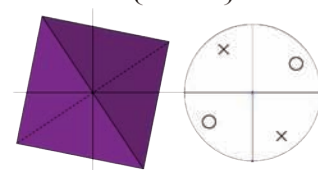


rechts negativ

{231}

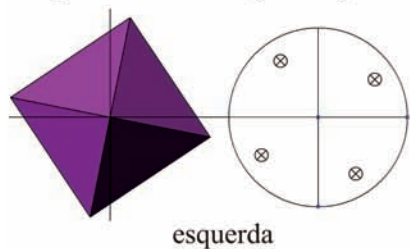


rechts positiv

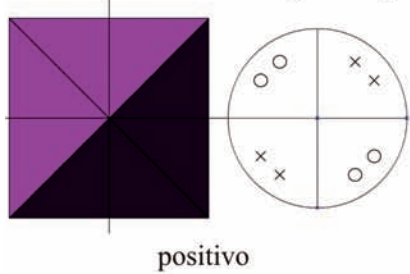


Sistema Cristalino Tetragonal

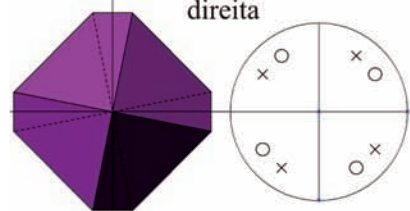
Dipirâmide {321}



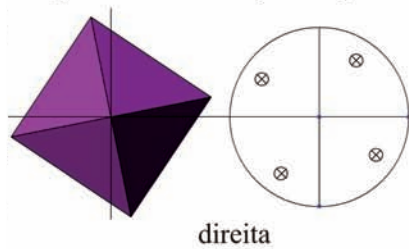
Escalenoedro {321}



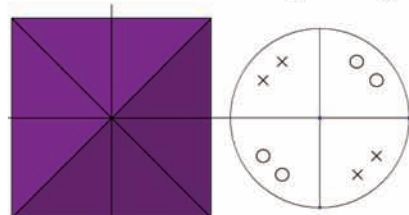
Trapezoedro {321}



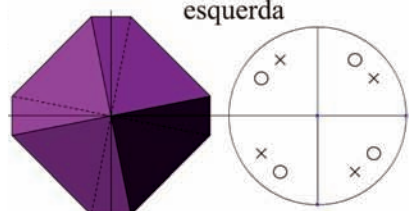
Dipirâmide {231}



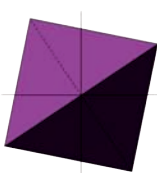
Esclenoedro {3̄21}



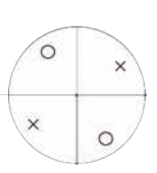
Trapezoedro {231}



Essas projeções estereográficas não envolvem elementos de simetria, estão aqui apenas para linha de preferência

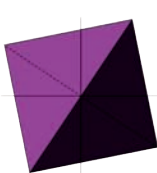


{321}
esquerda
positiva



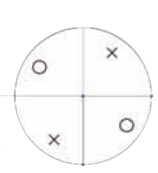
esquerda
negativa

{3̄21}



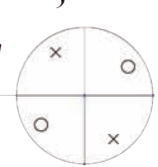
direita
positiva

{231}



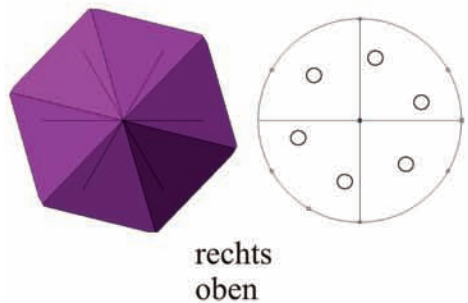
direita
negativa

{2̄31}

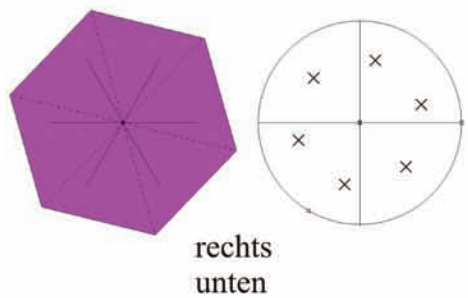


Hexagonales Kristallsystem

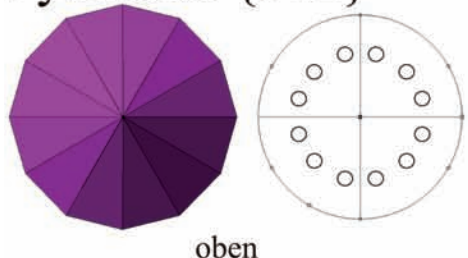
Pyramide {132}



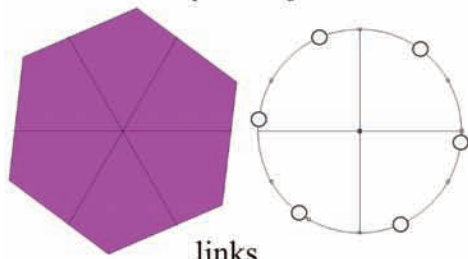
Pyramide {13 $\bar{2}$ }



Dihexagonale
Pyramide {312}

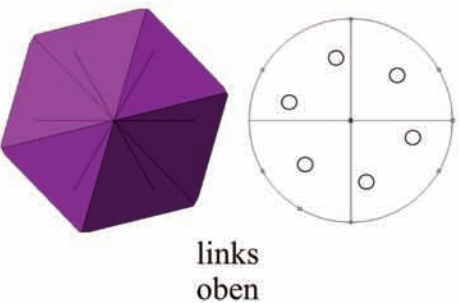


Prisma {320}

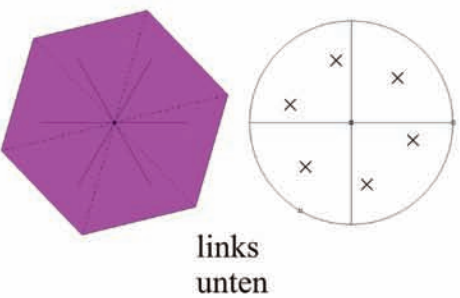


Diese stereographischen Projektionen beinhalten keinerlei Symmetrieelemente, es handelt sich hier lediglich um Bezugslinien

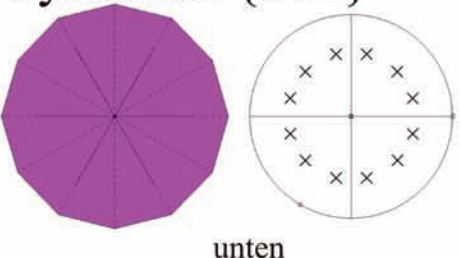
Pyramide {312}



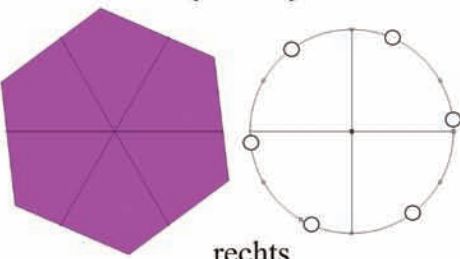
Pyramide {31 $\bar{2}$ }



Dihexagonale
Pyramide {31 $\bar{2}$ }

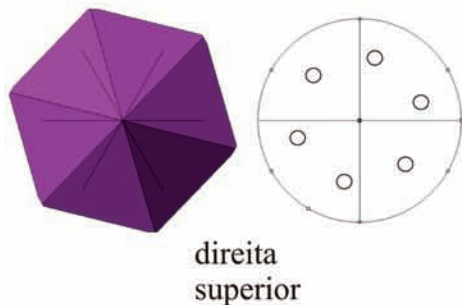


Prisma {230}

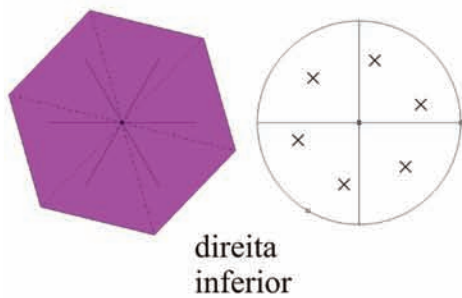


Sistema Cristalino Hexagonal

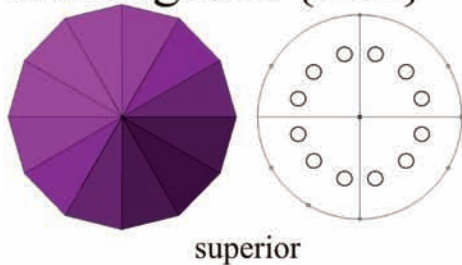
Pirâmide {132}



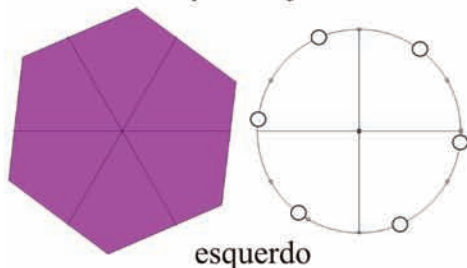
Pirâmide {13 $\bar{2}$ }



Pirâmide dihexagonal {312}

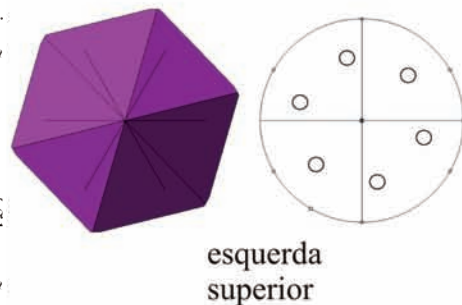


Prisma {320}

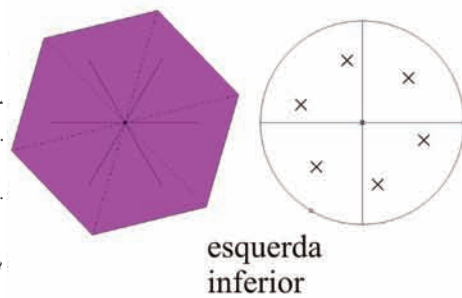


Essas projeções estereográficas não envolvem elementos de simetria, estão aqui apenas para linha de preferência

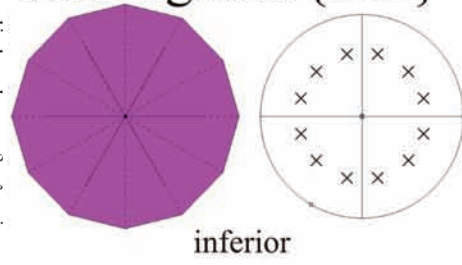
Pirâmide {312}



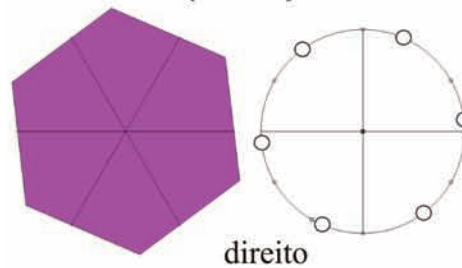
Pirâmide {31 $\bar{2}$ }



Pirâmide dihexagonal {31 $\bar{2}$ }

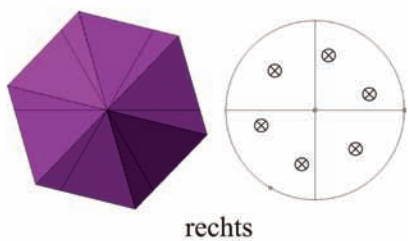


Prisma {230}

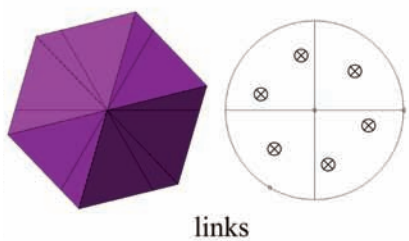


Hexagonales Kristallsystem

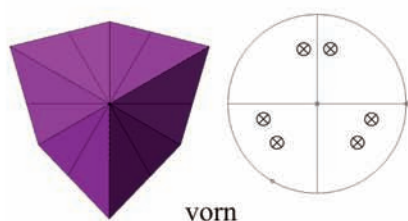
Dipyramide {132}



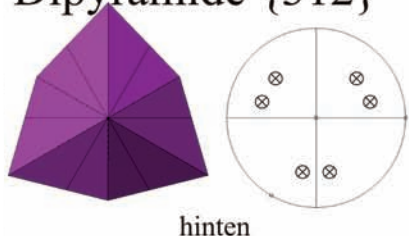
Dipyramide {312}



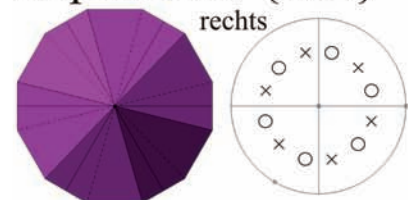
Ditrigonale
Dipyramide {132}



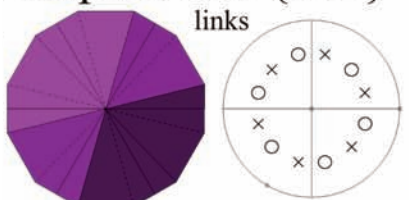
Ditrigonale
Dipyramide {312}



Trapezoeder {132}



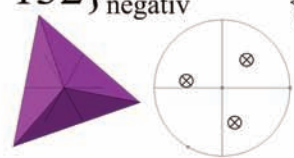
Trapezoeder {312}



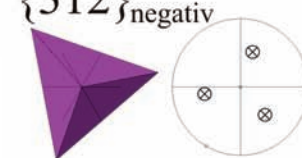
Trigonale Dipyramide



$1\bar{3}2\}$ rechts negativ



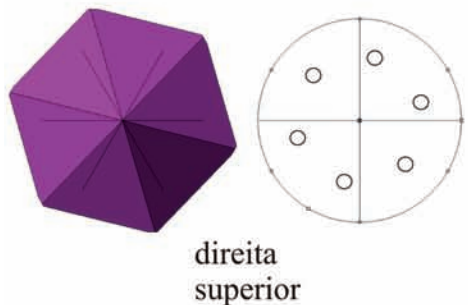
$\{\bar{3}12\}$ links negativ



Diese stereographischen Projektionen beinhalten keinerlei Symmetrieelemente, es handelt sich hier lediglich um Bezugslinien

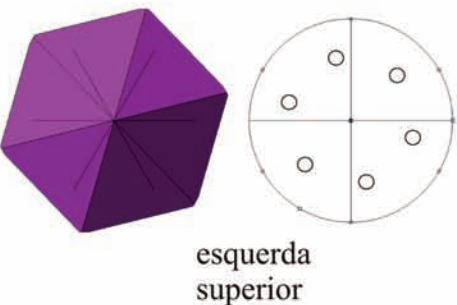
Sistema Cristalino Hexagonal

Pirâmide {132}



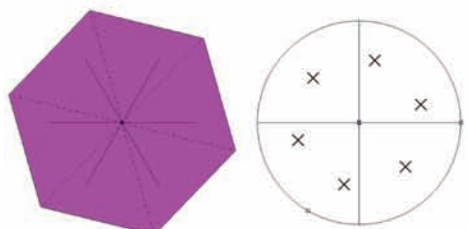
direita
superior

Pirâmide {312}



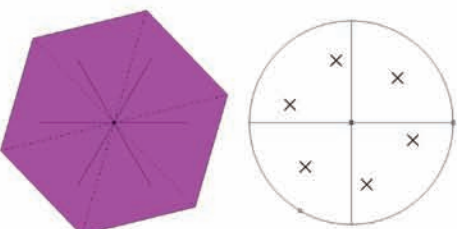
esquerda
superior

Pirâmide {132̄}



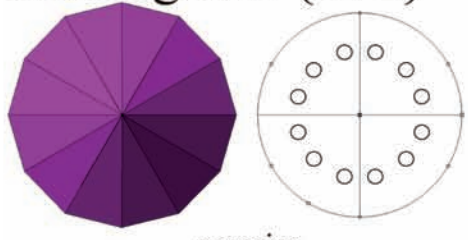
direita
inferior

Pirâmide {312̄}



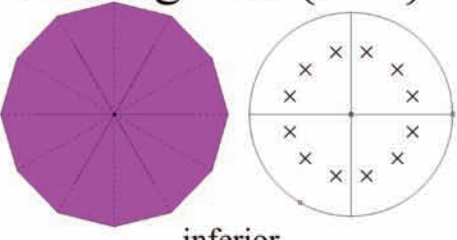
esquerda
inferior

Pirâmide
dihexagonal {312}



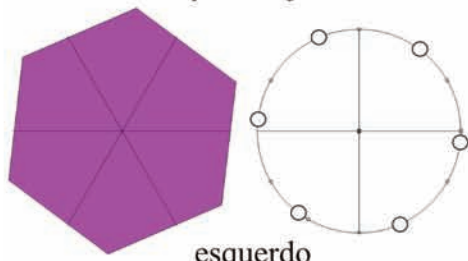
superior

Pirâmide
dihexagonal {312̄}



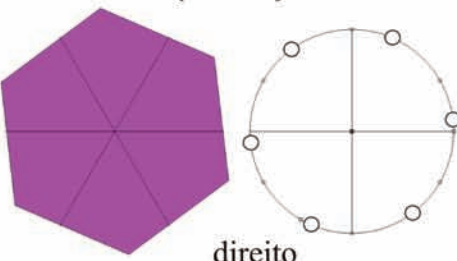
inferior

Prisma {320}



esquerdo

Prisma {230}

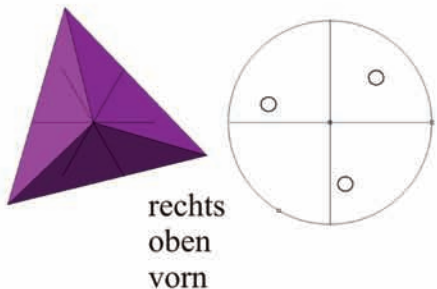


direito

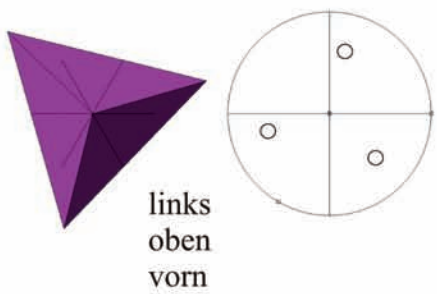
Essas projeções estereográficas não envolvem elementos de simetria, estão aqui apenas para linha de preferência

Trigonales Kristallsystem

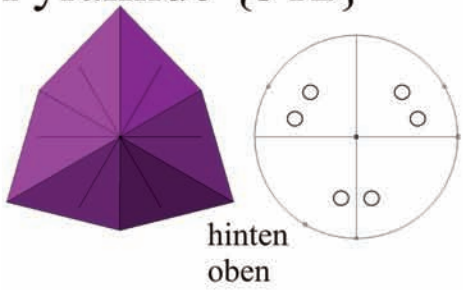
Pyramide {312}



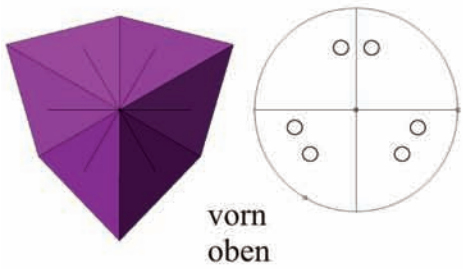
Pyramide {132}



Ditrigonale Pyramide {312}

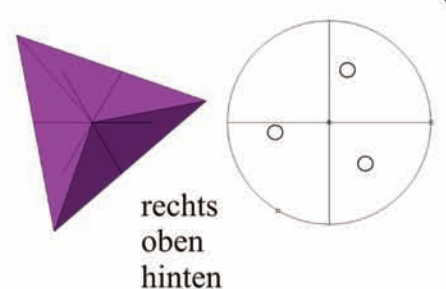


Ditrigonale Pyramide {132}

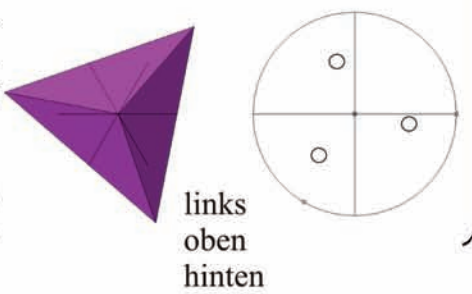


Diese stereographischen Projektionen beinhalten keinerlei Symmetrieelemente, es handelt sich hier lediglich um Bezugslinien

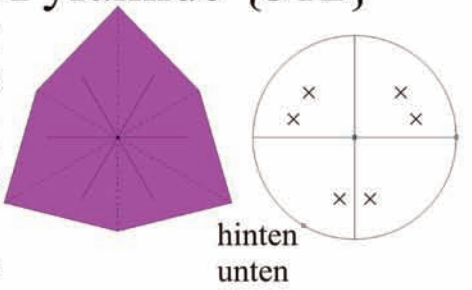
Pyramide { $\bar{3}12$ }



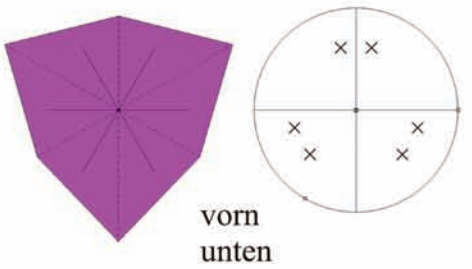
Pyramide { $\bar{1}32$ }



Ditrigonale Pyramide { $31\bar{2}$ }



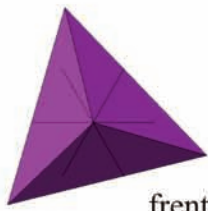
Ditrigonale Pyramide { $13\bar{2}$ }



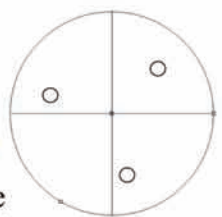
} analog dazu
„unten“

Sistema Cristalino Trigonal

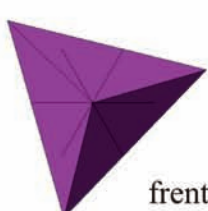
Pirâmide {312}



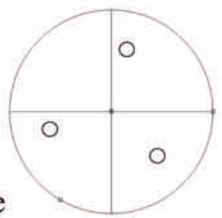
frente
superior
direita



Pirâmide {132}



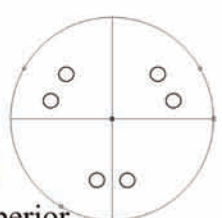
frente
superior
esquerda



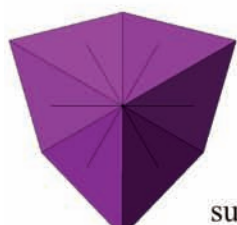
Pirâmide
Ditrigonal {312}



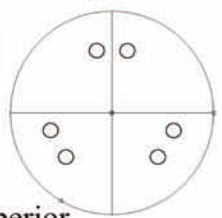
superior
atrás



Pirâmide
ditrigonal {132}



superior
a frente

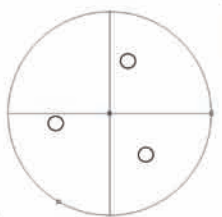


Essas projeções estereográficas não envolvem elementos de simetria, estão aqui apenas para linha de preferência

Pirâmide $\{\bar{3}12\}$



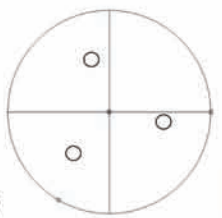
atrás
superior
direita



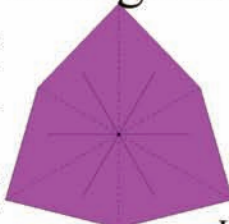
Pirâmide $\{\bar{1}32\}$



atrás
superior
esquerda



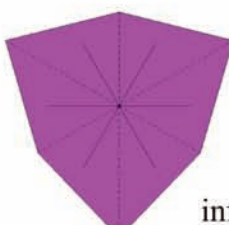
Pirâmide
Ditrigonal $\{31\bar{2}\}$



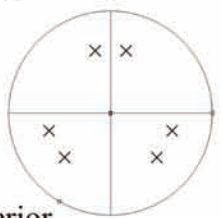
Inferior
atrás



Pirâmide
ditrigonal $\{13\bar{2}\}$



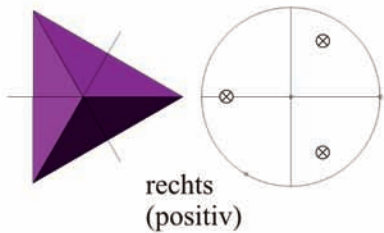
inferior
a frente



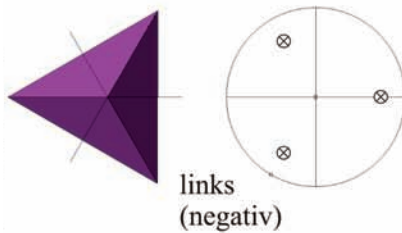
análogo
a parte
inferior

Trigonales Kristallsystem

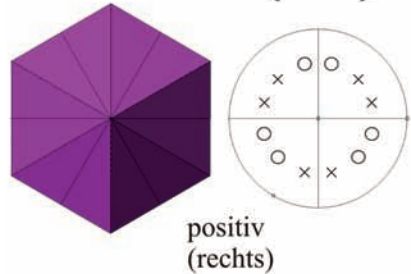
Dipyramide $\{332\}$



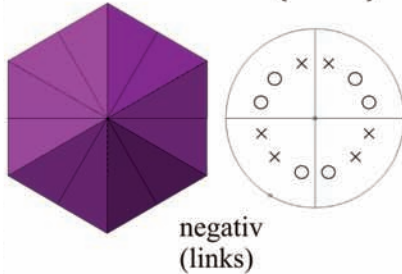
Dipyramide $\{\bar{3}\bar{3}2\}$



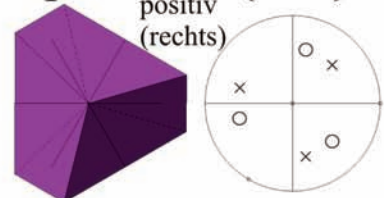
Ditrigonaler Skalenoeder $\{132\}$



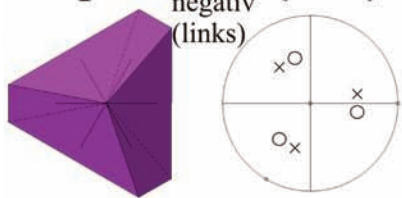
Ditrigonaler Skalenoeder $\{312\}$



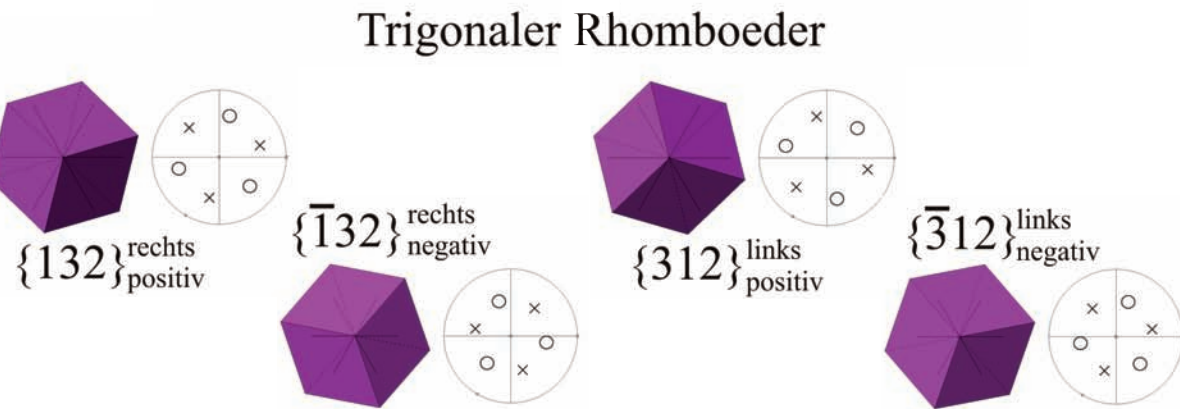
Trapezoeder $\{132\}$



Trapezoeder $\{\bar{1}32\}$

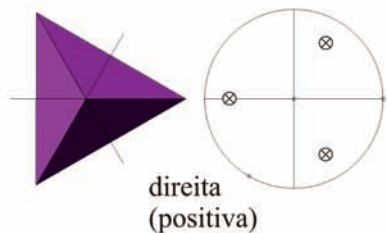


Diese stereographischen Projektionen beinhalten keinerlei Symmetrieelemente, es handelt sich hier lediglich um Bezugslinien

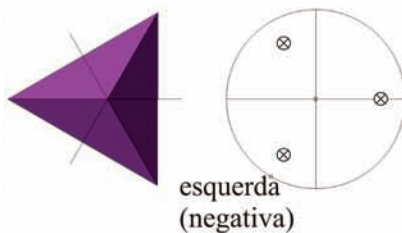


Sistema Cristalino Trigonal

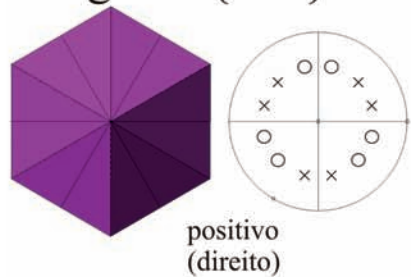
Bipirâmide $\{332\}$



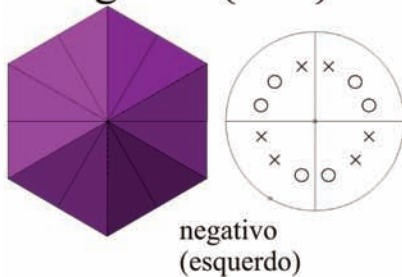
Bipirâmide $\{\overline{3}\overline{3}2\}$



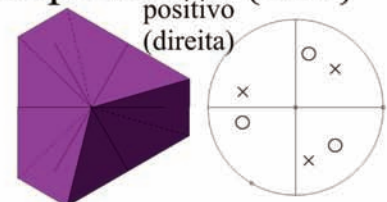
Escalenoedro ditrigonal $\{132\}$



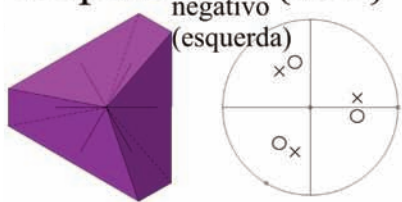
Escalenoedro ditrigonal $\{312\}$



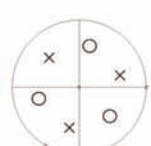
Trapezoedro $\{132\}$



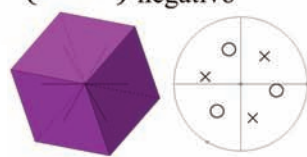
Trapezoedro $\{\overline{1}32\}$



Romboedro Trigonal



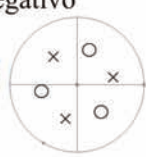
$\{\overline{1}32\}$ direito negativo



$\{312\}$ esquerdo positivo



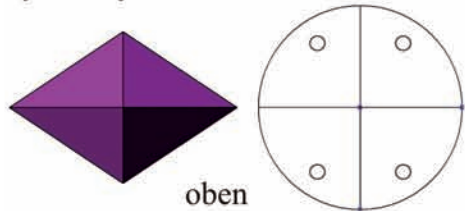
$\{\overline{3}12\}$ esquerdo negativo



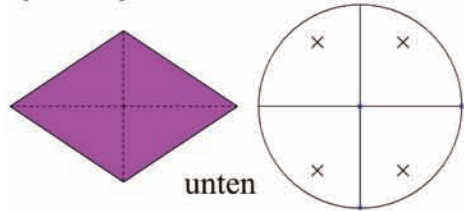
Essas projeções estereográficas não envolvem elementos de simetria, estão aqui apenas para linha de preferência.

Orthorhombisches Kristallsystem

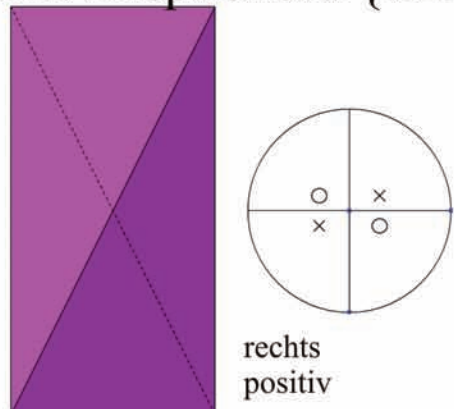
Rhombische Pyramide {321} Rhombische Pyramide {321}



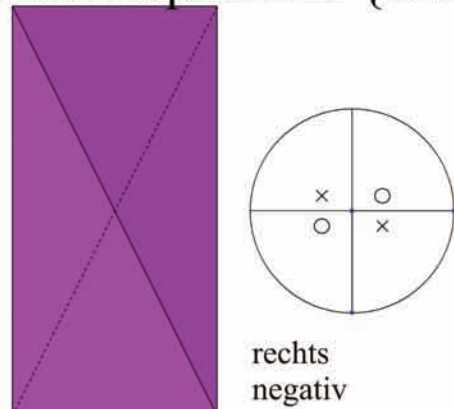
Rhombische Pyramide {321}



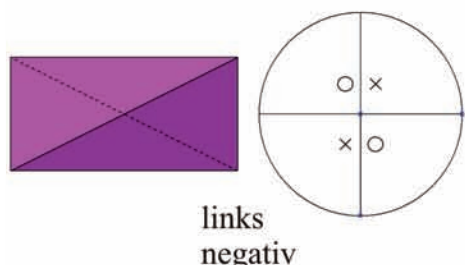
Rh. Disphenoid {123}



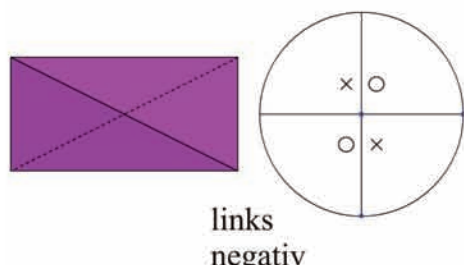
Rh. Disphenoid {1̄23}



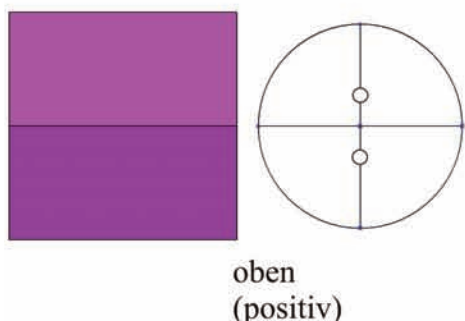
Rh. Disphenoid {213}



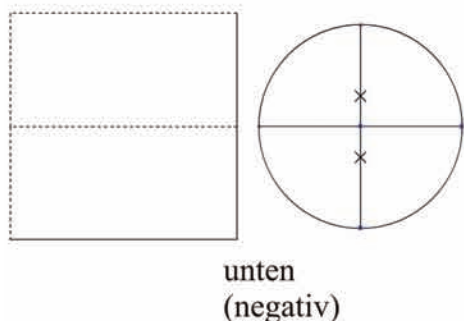
Rh. Disphenoid {2̄13}



Doma II. Stellung {203}



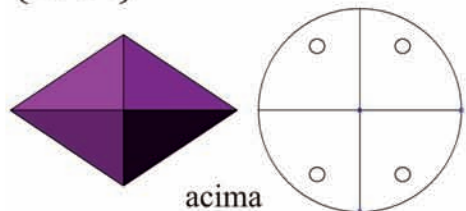
Doma II. Stellung {2̄03}



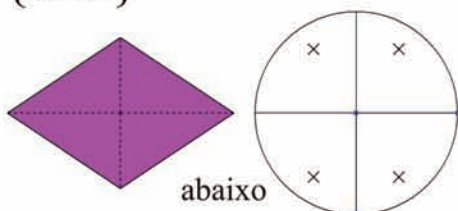
Diese stereographischen Projektionen beinhalten keine Symmetrieelemente, es handelt sich hier lediglich um Bezugslinien

Sistema Cristalino Ortorrômbico

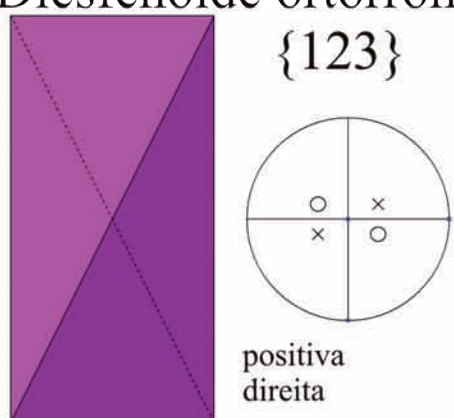
Pirâmide ortorrômbica
 $\{321\}$



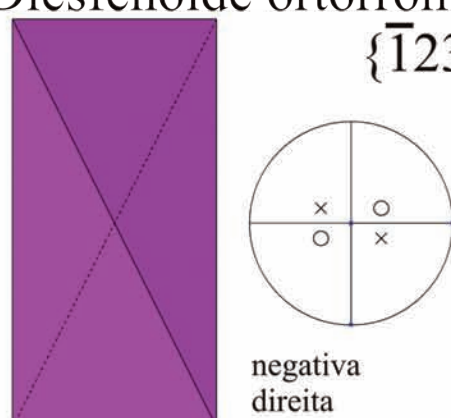
Pirâmide ortorrômbica
 $\{321\}$



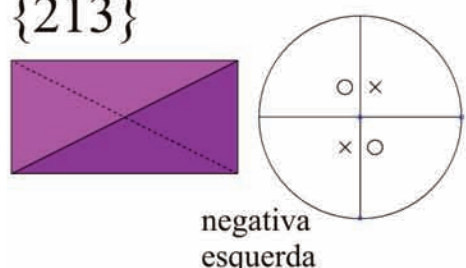
Diesfenóide ortorrômbica
 $\{123\}$



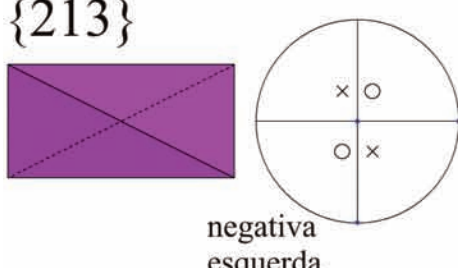
Diesfenóide ortorrômbica
 $\{\bar{1}23\}$



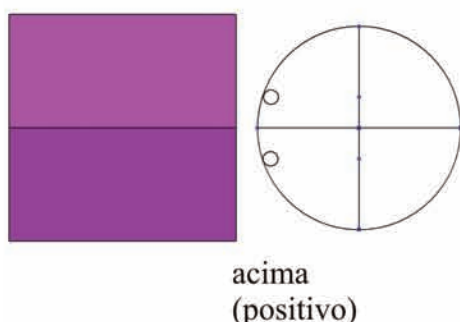
Diesfenóide ortorrômbica
 $\{213\}$



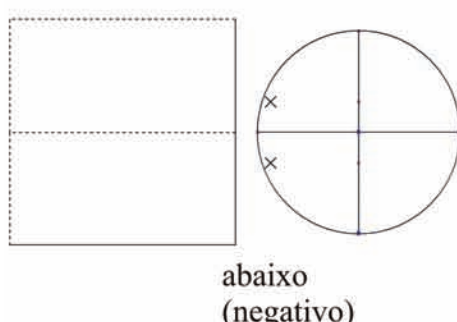
Diesfenóide ortorrômbica
 $\{\bar{2}13\}$



Posição II Domo
 $\{203\}$



Posição II Domão
 $\{\bar{2}03\}$



Essas projeções estereográficas não envolvem elementos de simetria, estão aqui apenas para linha de preferência.

System	Klasse	Symmetrieelement	polare Richtungen im Kristall	nichtpolare Richtungen im Kristall
I ^h 2m	1 [◆] + 3 [●] + 3m	alle ●	a_1, a_2, a_3 und alle Zonen \square auf ● die da-	

Weitere azentrische Klassen mit polaren Richtungen: 222, 4, 422, 42m, 622, 432

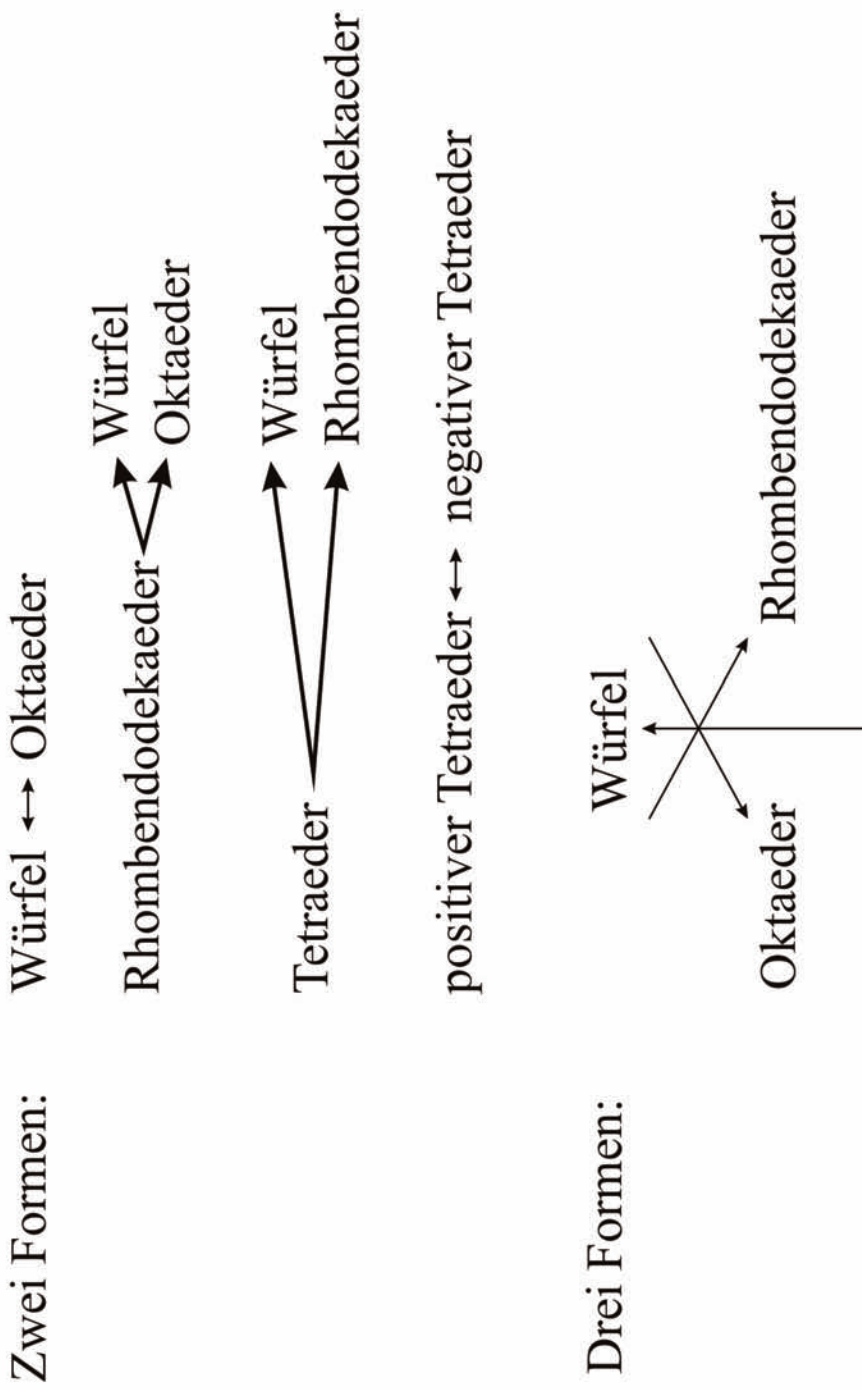
* = Klassen mit einzigartigen polaren Achsen, zu denen keine äquivalenten Achsen existieren:
ferroelektrische Stoffe

Sistemas	Classes	Elemenetos de Si-	Direções polares no cristal	Direções apolares no cristal
monoclínico				
tetragonal				
trigonal				
hexagonal				
I $\bar{2}$ 2m	1 ◻ +3 $\text{↑} \bullet$ + 3m	todas !	a_1, a_2, a_3 e todas zonas que se situam ²	
Cúbico ou iso-				
métrico				

Outras classes sem centro de simetria mas com direções polares: 222, 4, 422, 42m, 622, 432

*= Classes com eixos de simetria polar único, para as quais não existe um único eixo equivalente: materiais ferroelétricos

Die Kombination von Formen

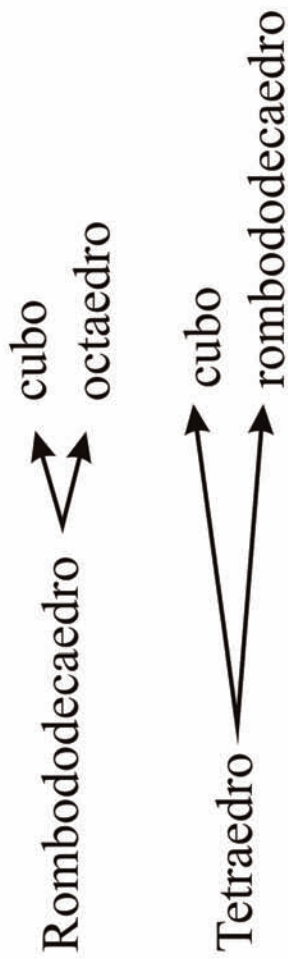


Kombinationen von Flächen und Steilen Rhomboedern

As Combinacões de Formas

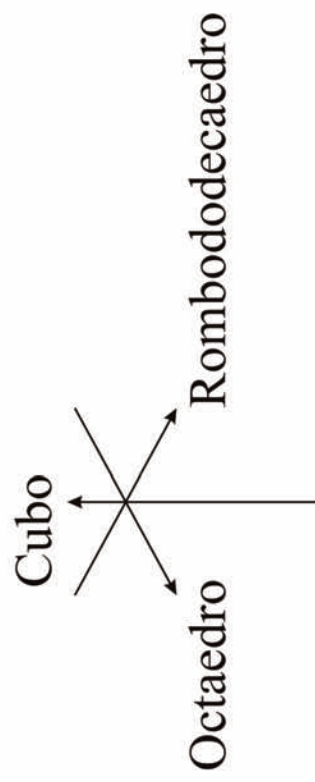
Duas Formas:

Cubo → Octaedro



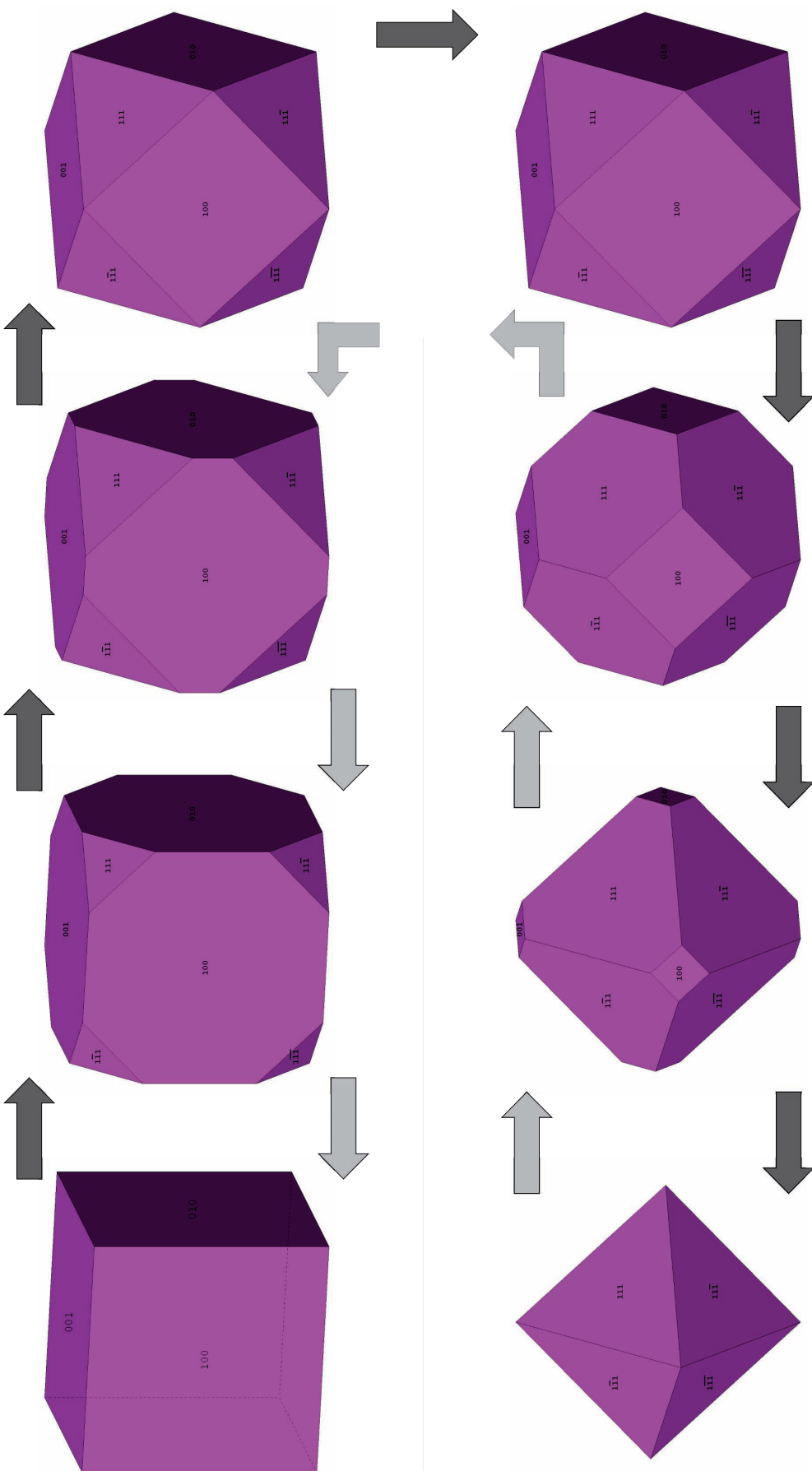
tetraedro positivo → tetraedro negativo

Três Formas:

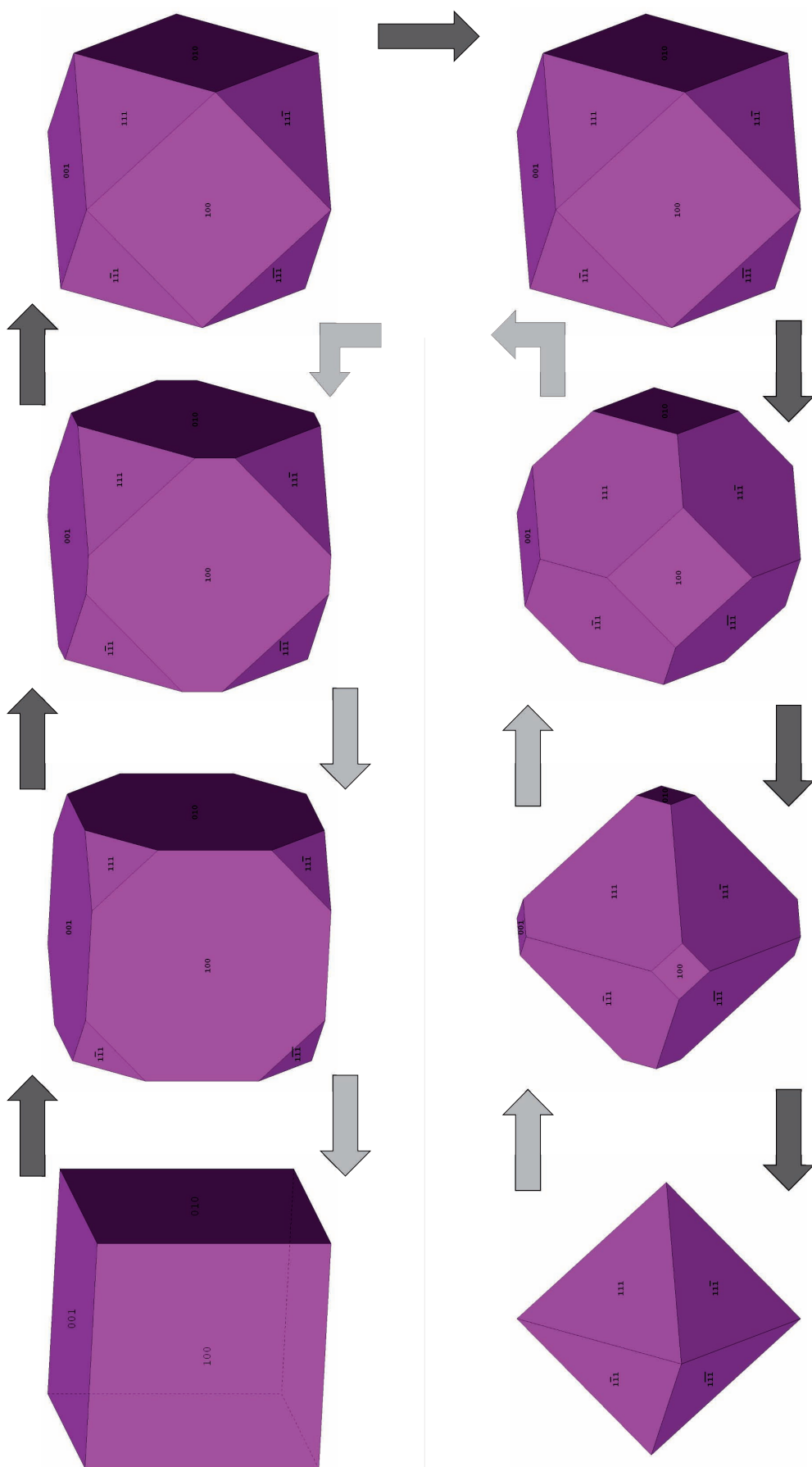


Combinação de romboedros achatados e alongados

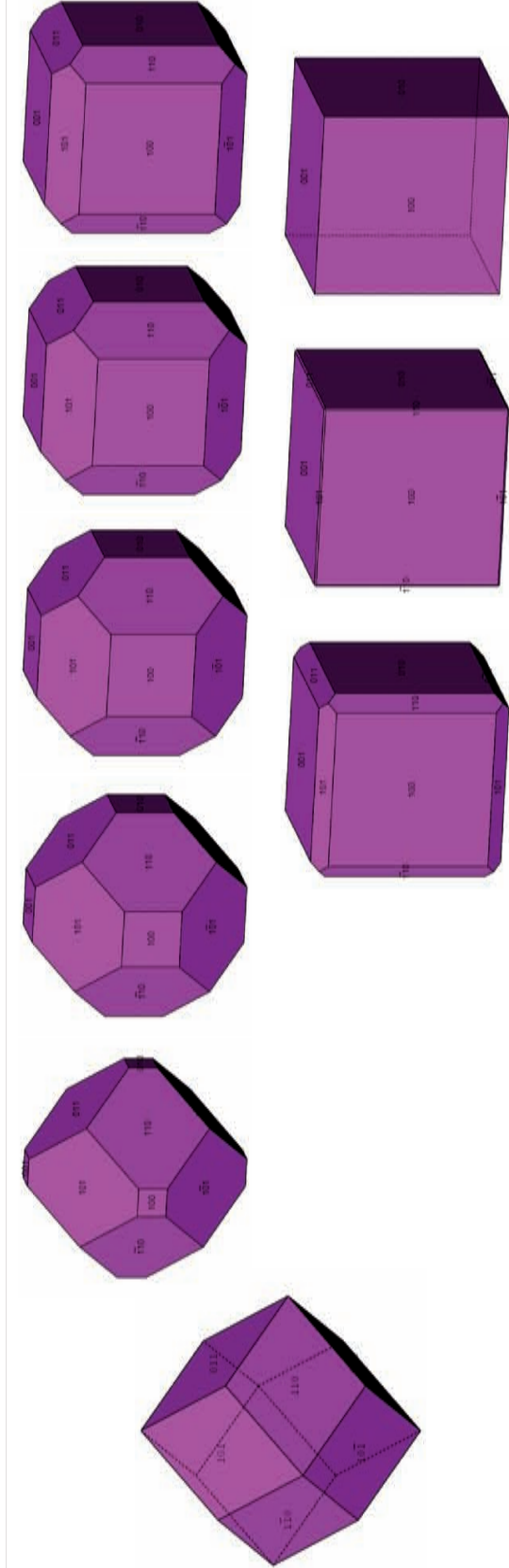
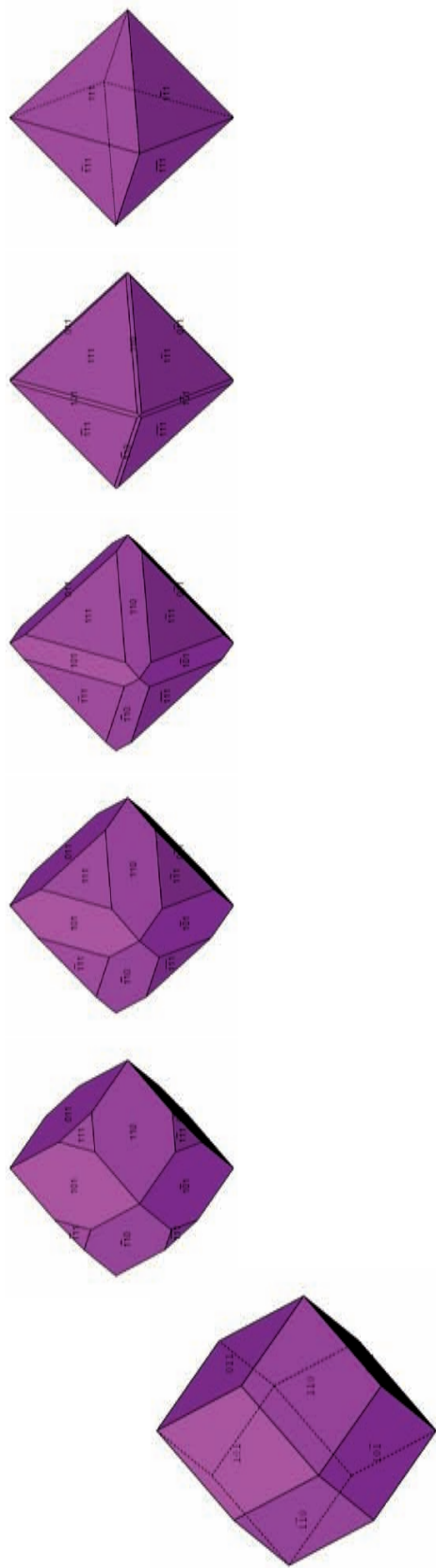
Vom Würfel zum Oktaeder



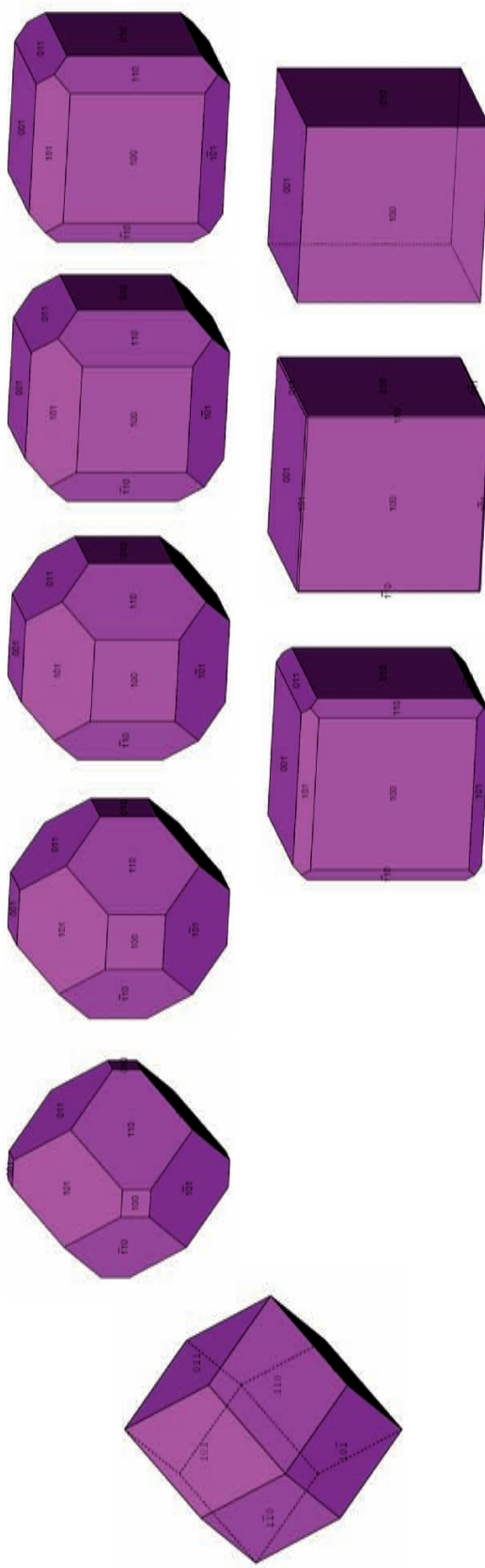
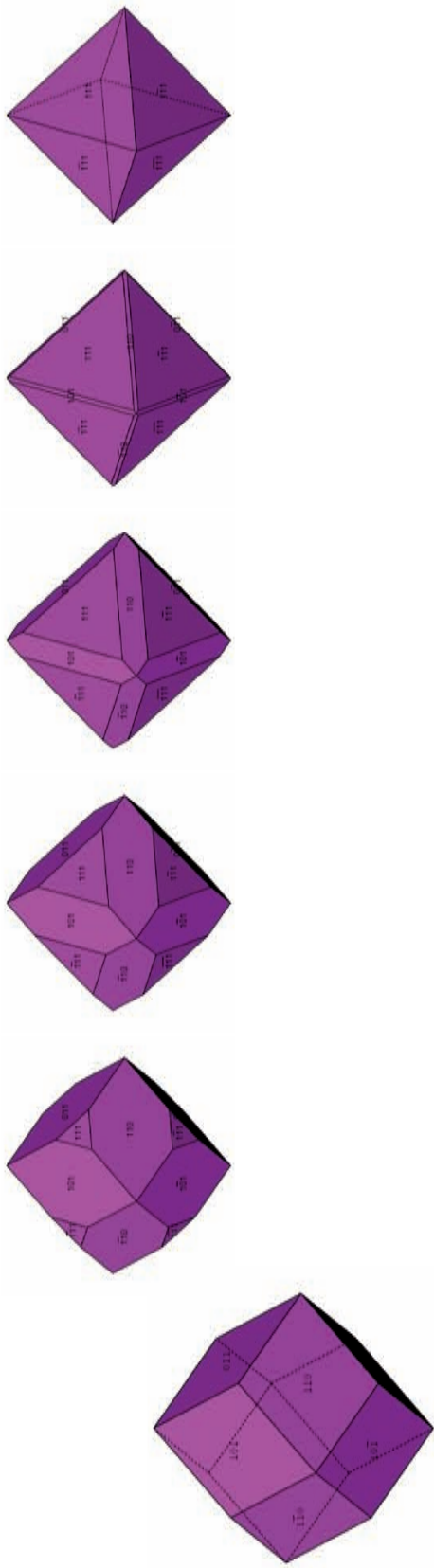
De cubo para octaedro



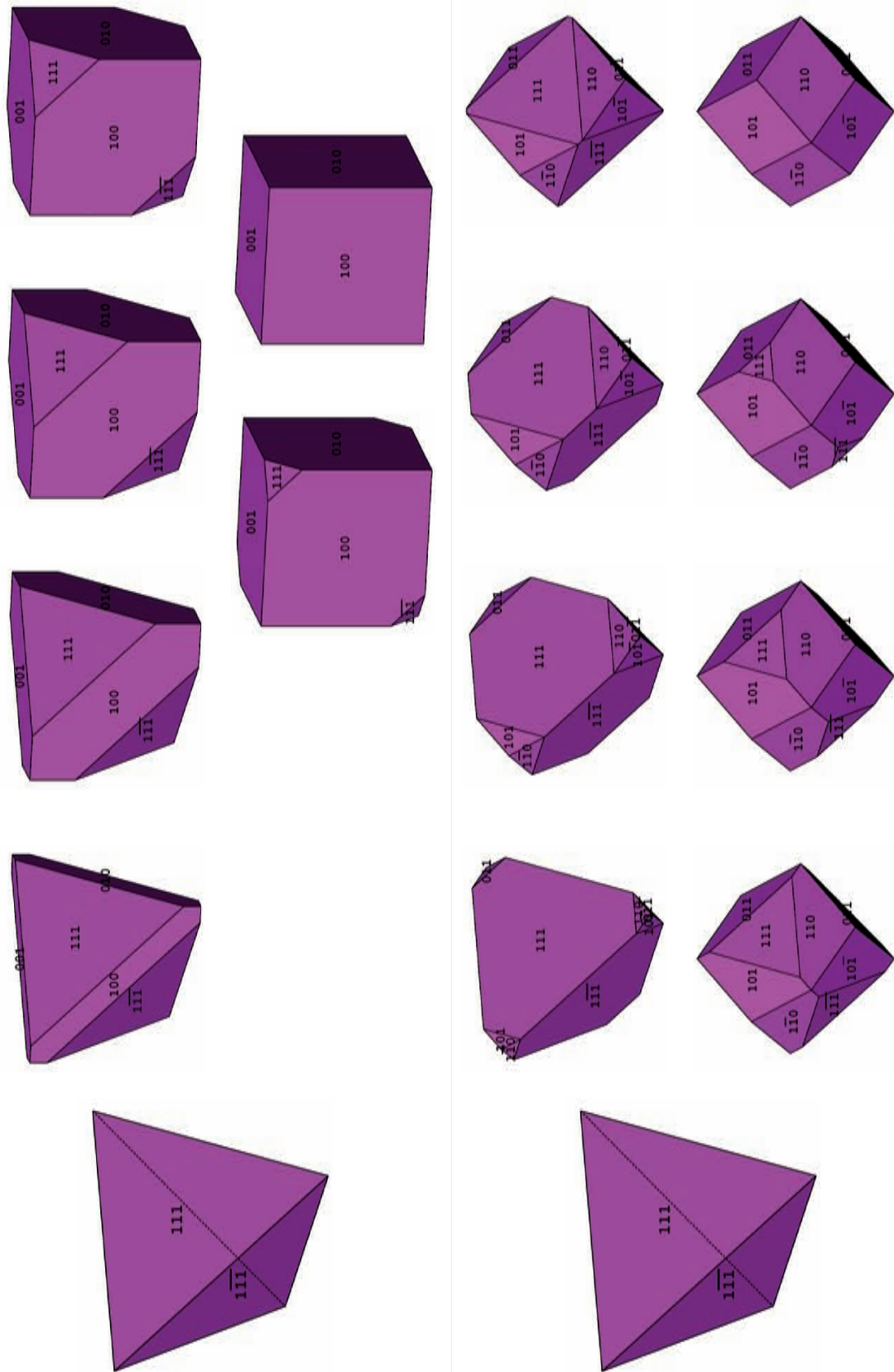
Kombination des Rhombendodekaeder mit Oktaeder und Würfel



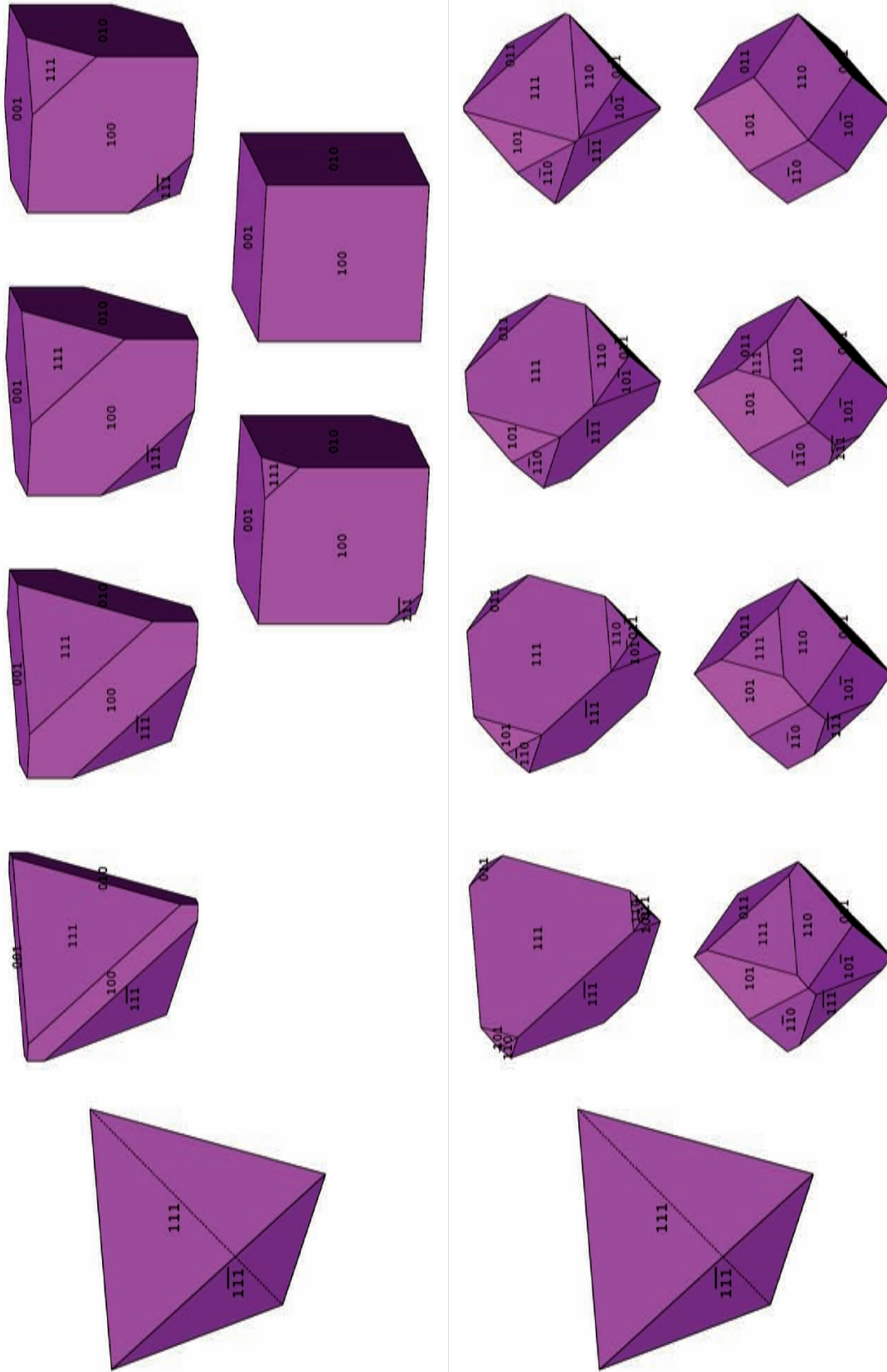
Combinação de rombododecaedro com octaedro e cubo



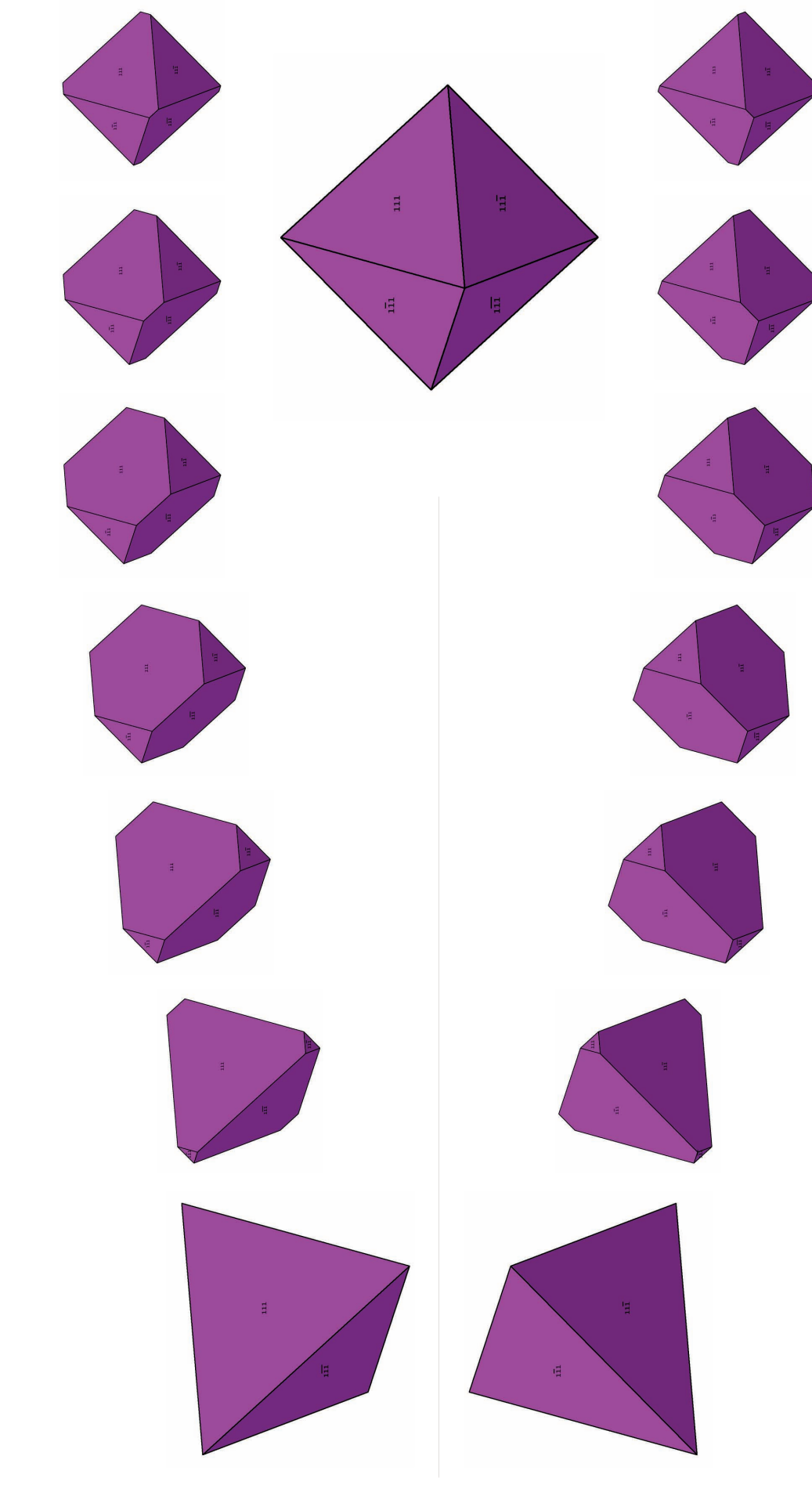
Kombination des Tetraeder mit Würfel und Rhombendodekaeder



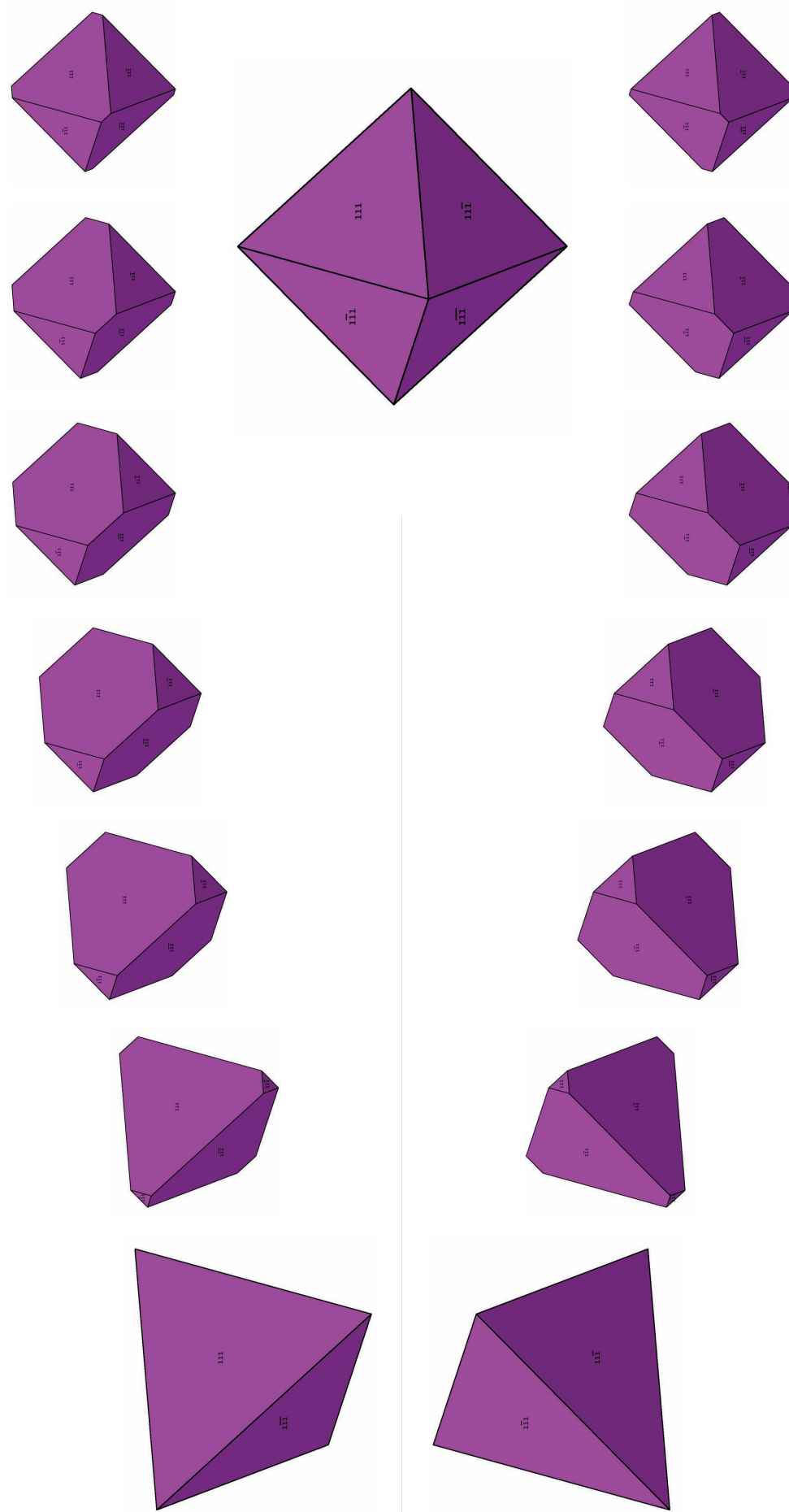
Combinações de tetraedros com cubos e rombododecaedro



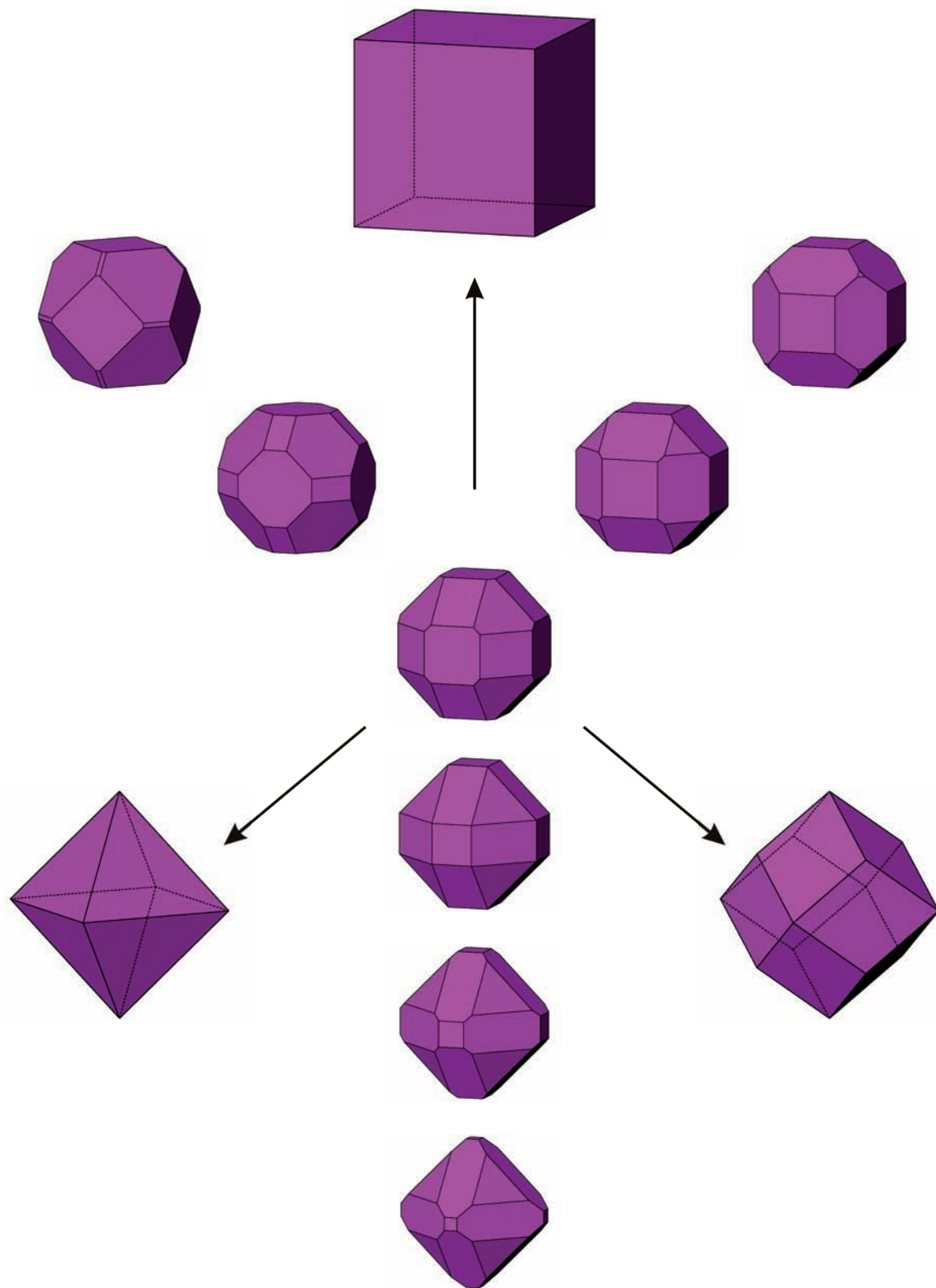
Kombination von positivem und negativem Tetraeder



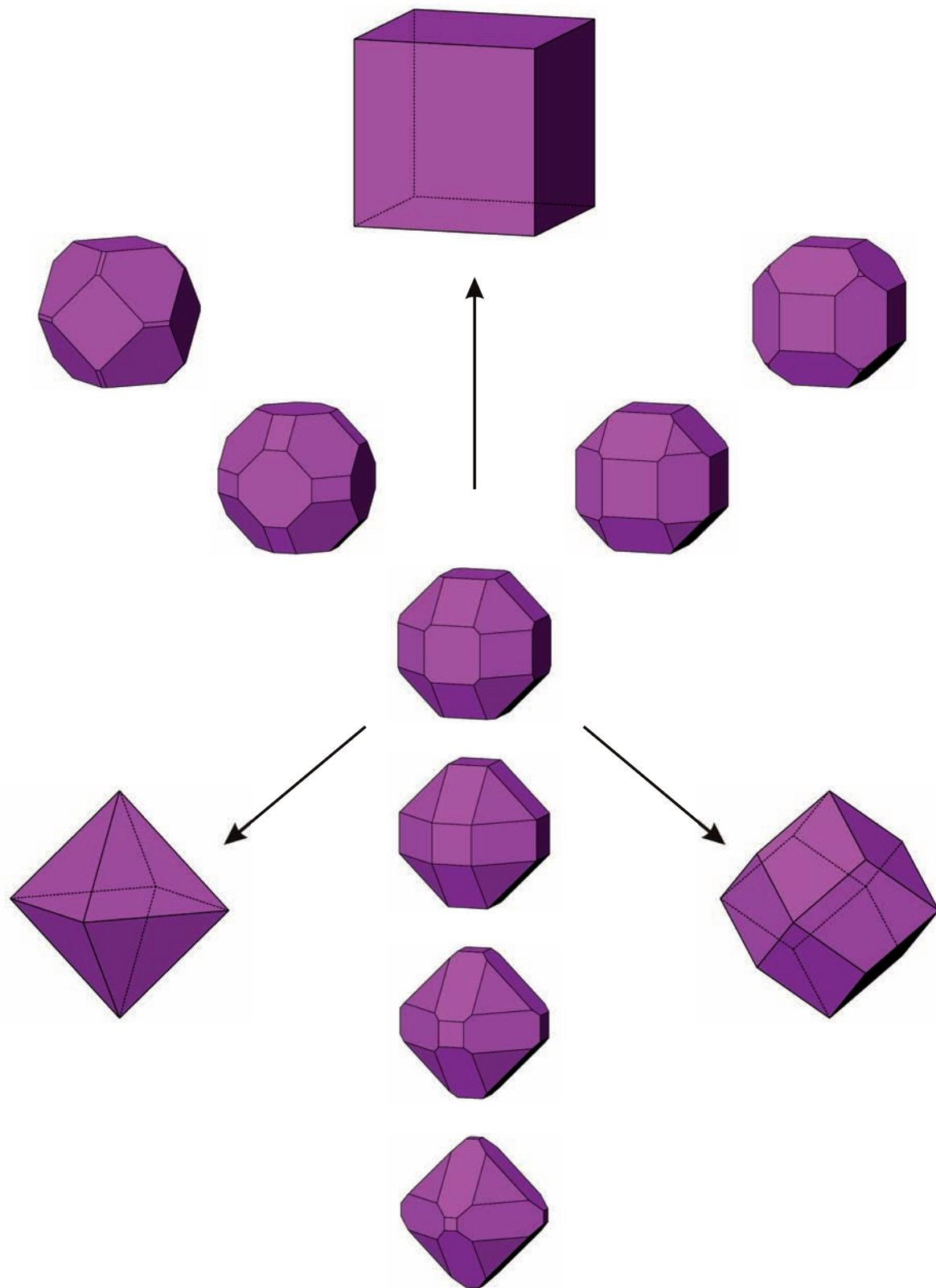
Combinações de tetraedros positivos e negativos



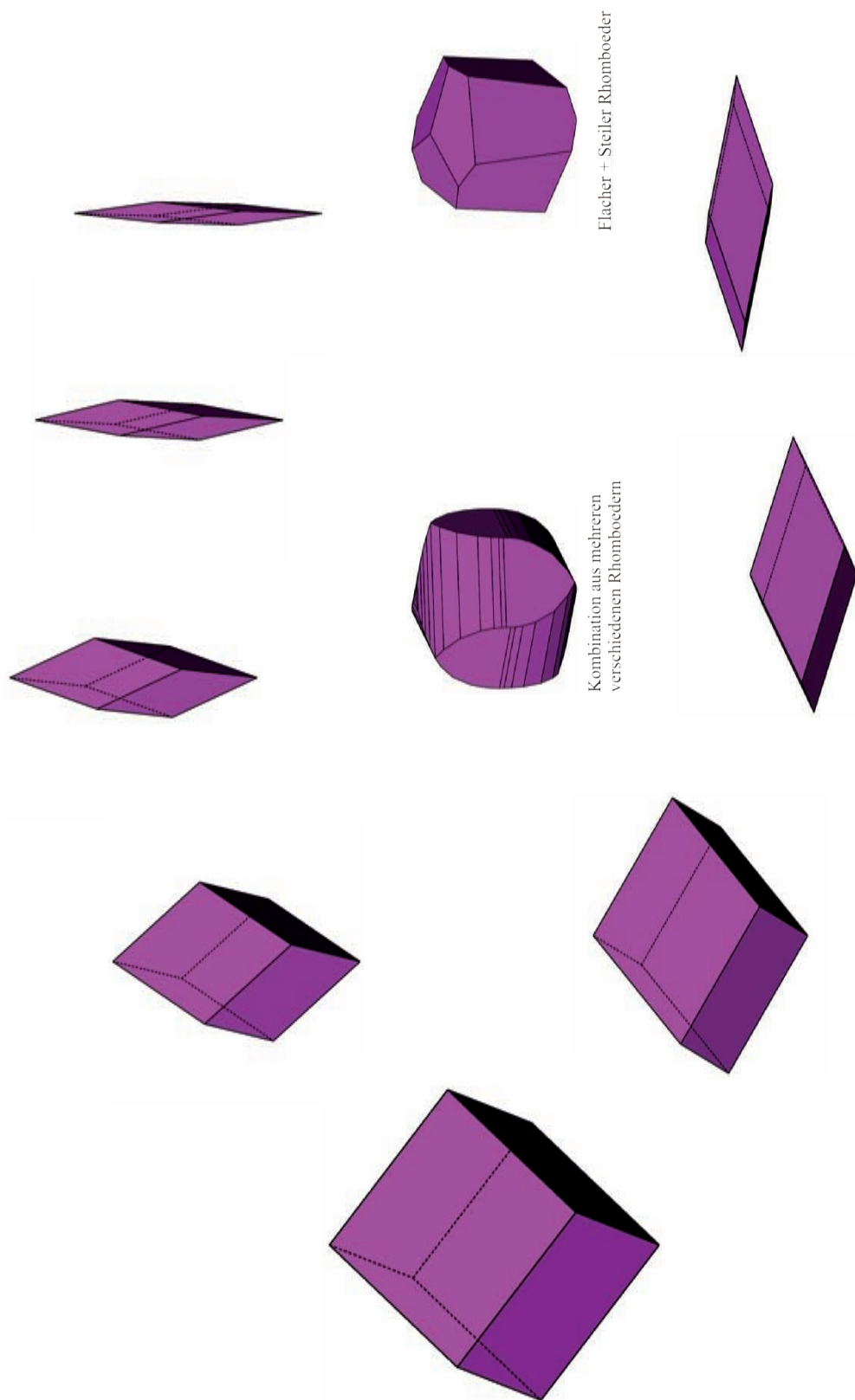
Kombinationen aus Würfel, Oktaeder und Rhombendodekaeder



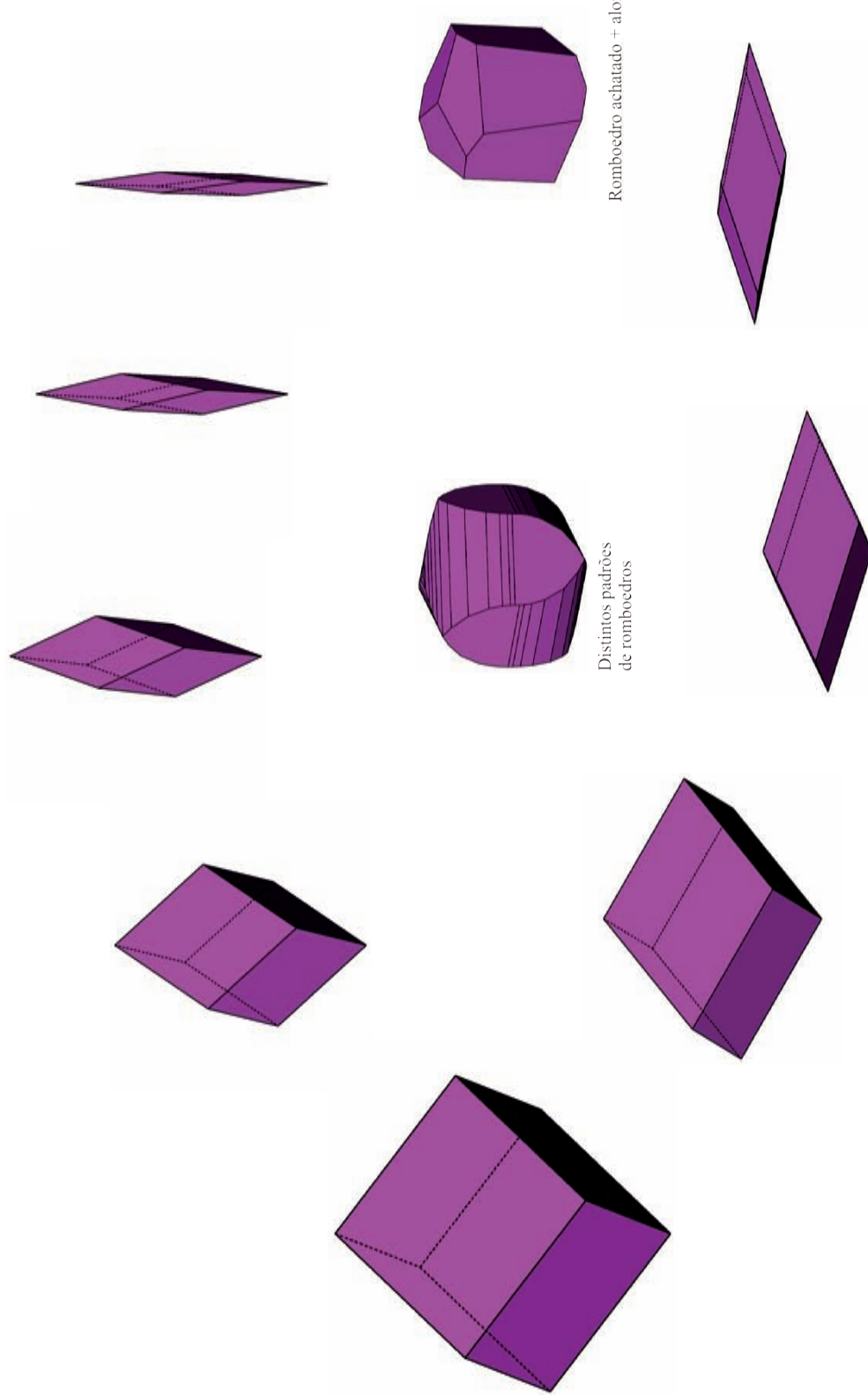
Combinações de cubo, octaedro e rombododecaedro



Verschieden steile und flache Rhomboeder

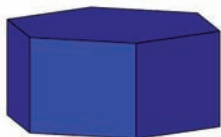


Combinações de distintos estilos de romboedros achataados e alongados



Einige ausgewählte Formen und Kombinationen nach Mineralbeispielen

Alguns exemplos selecionados de combinações de formas entre os minerais

Apatit:

Hexagonales Prisma
Basispinakoid



Hexagonales Prisma
Hex. Dipyramide I. St.
Hex. Dipyramide II. St.



Hexagonales Prisma
Basispinakoid
Hex. Dipyramide I. St.

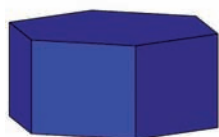


Hexagonales Prisma
Hex. Dipyramide I. St.
Hex. Dipyramide II. St.



Hexagonales Prisma
Hex. Dipyramide I. St.
Hex. Dipyramide II. St.

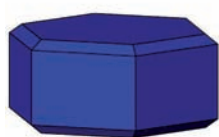
Chemische Zusammensetzung	: $\text{Ca}_5[(\text{PO}_4)_3(\text{F},\text{Cl},\text{OH})]$
Kristallsystem	: Hexagonal, $6/m$
Elementarzelle	: $a_0=9.38 \text{ \AA}$, $c_0=6.89 \text{ \AA}$
Raumgruppe	: $P\ 6/m$
Ausbildung	: Derb, eingewachsen, körnig, kryptokristallin, krustenartig, xx säulig, dicktafelig, nadelig

Apatita:

Prisma hexagonal
Base pinacoidal



Prisma hexagonal
Dipirâmide hexagonal I. pos.
Dipirâmide II. Posição



Prisma hexagonal
Base pinacoidal
Dipirâmide dihexagonal
I. pos.



Prisma hexagonal
Dipirâmide hexagonal I. pos.
Dipirâmide II. Posição

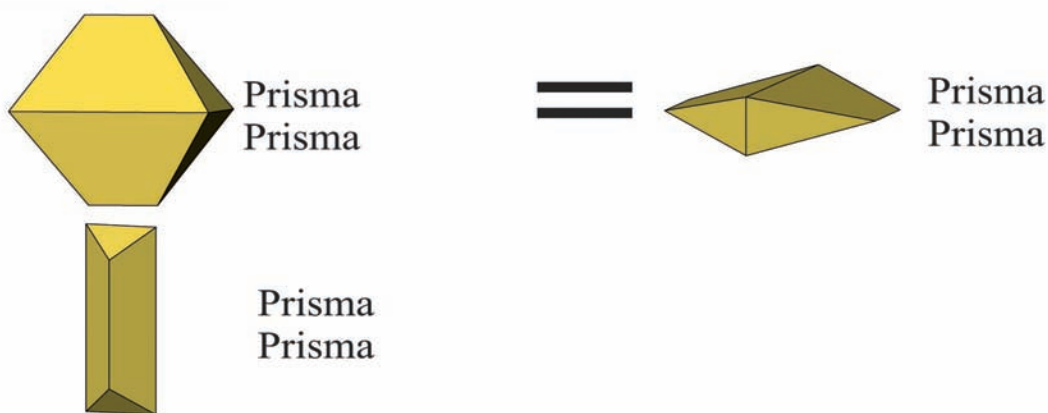


Prisma hexagonal
Dipirâmide hexagonal I. pos.
Dipirâmide II. Posição

Fórmula química
Sistema cristalino
Célula unitária
Grupo espacial
Características

: $\text{Ca}_5[(\text{PO}_4)_3(\text{F},\text{Cl},\text{OH})]$
: Hexagonal, 6/m
: $a_0=9.38 \text{ \AA}$, $c_0=6.89 \text{ \AA}$
: $P\ 6_3/m$
: maciço, granular, criptocristalino, com intercrescimento, xx
colunar, tabular, acicular

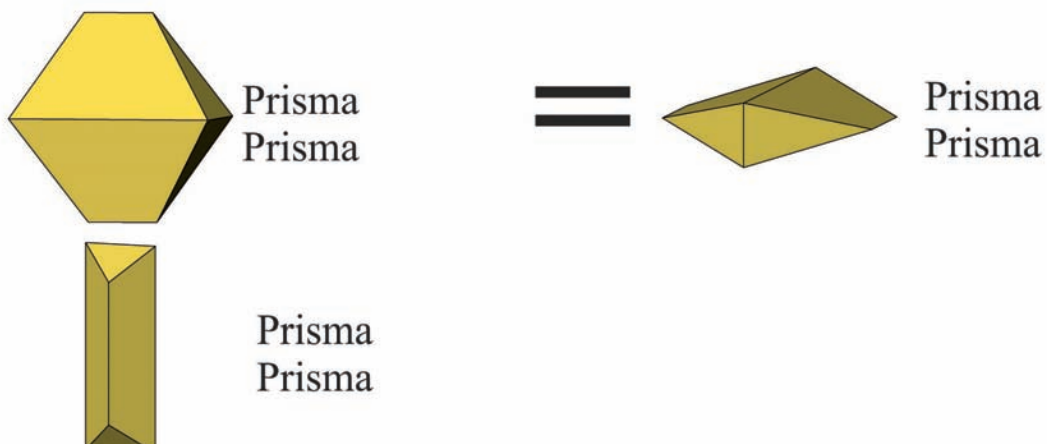
Arsenopyrit:



„Arsenkies“

Chemische Zusammensetzung	: FeAsS
Kristallsystem	: Monoklin, pseudorhombisch
Elementarzelle	: $a_o = 5.74 \text{ \AA}$, $b_o = 5.68 \text{ \AA}$, $c_o = 5.79 \text{ \AA}$, $\beta = 112.17^\circ$
Raumgruppe	: $P\bar{2}_1/c$
Ausbildung	: idiomorphe Kristalle, körnig

Arsenopirita:



Fórmula química

: FeAsS

Sistema cristalino

: Monoclínico, pseudorômbico

Célula unitária

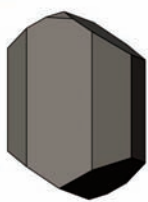
: $a_0 = 5.74 \text{ \AA}$, $b_0 = 5.68 \text{ \AA}$, $c_0 = 5.79 \text{ \AA}$, $\beta = 112.17^\circ$

Grupo espacial

: P 2₁/c

Características

: cristais idiomorfos, granular

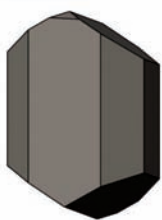
Augit:

Pinakoid
Prisma
Pinakoid
Pinakoid
Prisma



Pinakoid
Prisma
Pinakoid
Pinakoid
Prisma

Chemische Zusammensetzung	: $(\text{Ca}, \text{Mg}, \text{Fe}, \text{Al}, \text{Ti})[(\text{Si}, \text{Al})_2\text{O}_6]$
Kristallsystem	: Monoklin
Elementarzelle	: $a_o = 9.69 \text{ \AA}$, $b_o = 8,84 \text{ \AA}$, $c_o = 5.28 \text{ \AA}$, $\beta = 106.3^\circ$
Raumgruppe	: C 2/c
Ausbildung	: Kurzprismatische bis tafelige xx, achteckiger Querschnitt, oft zonar aufgebaut

Augita:

Pinacóide
Prisma
Pinacóide
Pinacóide
Prisma

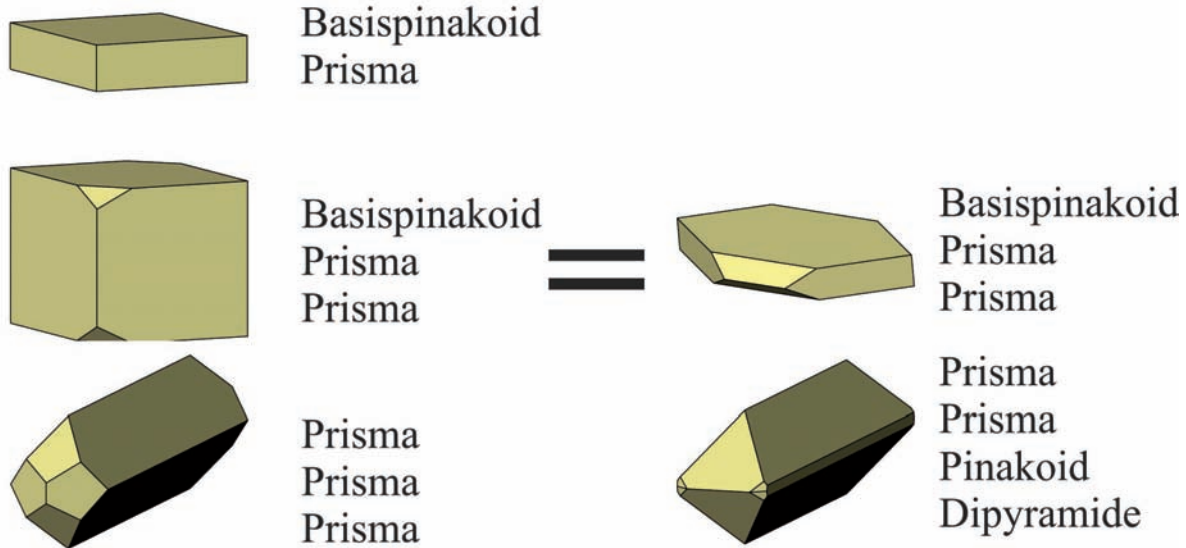


Pinacóide
Prisma
Pinacóide
Pinacóide
Prisma

Fórmula química
Sistema cristalino
Célula unitária
Grupo espacial
Características

: $(\text{Ca}, \text{Mg}, \text{Fe}, \text{Al}, \text{Ti})[(\text{Si}, \text{Al})_2\text{O}_6]$
: Monoclínico
: $a_o = 9.69 \text{ \AA}$, $b_o = 8.84 \text{ \AA}$, $c_o = 5.28 \text{ \AA}$, $\beta = 106.3^\circ$
: C 2/c
: de pequenos prismas até tabular xx; seções octógonas, geralmente zonado.

Baryt:



Chemische Zusammensetzung

: BaSO₄

Kristallsystem

: Rhombisch, 2/m 2/m 2/m

Elementarzelle

: $a_0 = 8.88\text{\AA}$, $b_0 = 5.45\text{\AA}$, $c_0 = 7.15\text{\AA}$

Raumgruppe

: P b n m

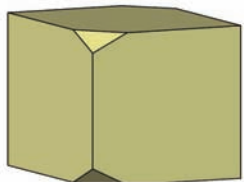
Ausbildung

: Dicht, feinkristallin, grobspälig, blättrig, xx meist tafelig oder meißelförmig

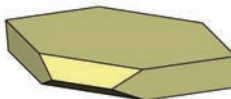
Barita:



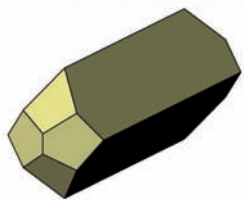
Pinacóide basal
Prisma



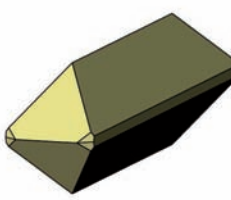
Pinacóide basal
Prisma
Prisma



Pinacóide basal
Prisma
Prisma



Prisma
Prisma
Prisma



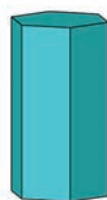
Prisma
Prisma
Pinacóide
Dipirâmide

Fórmula química
Sistema cristalino
Célula unitária
Grupo espacial
Características

: BaSO₄
: Rômbico, 2/m 2/m 2/m
: $a_0 = 8.88\text{\AA}$, $b_0 = 5.45\text{\AA}$, $c_0 = 7.15\text{\AA}$
: Pb n m
: denso, fino, prismático, laminar, xx principalmente tabular ou miceliforme (bastonete)

Beryll:

Hexagonales Prisma
Basispinakoid



Hexagonales Prisma
Basispinakoid



Hexagonales Prisma
Basispinakoid
Hex. Dipyramide II. St.



Hexagonales Prisma
Basispinakoid
Hex. Dipyramide I. St.
Hex. Dipyramide II. St.

Chemische Zusammensetzung

: $\text{Be}_3\text{Al}_2[\text{Si}_6\text{O}_{18}]$

Kristallsystem

: hexagonal

Elementarzelle

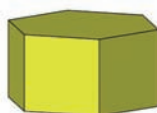
: $a_0 = 9.22\text{\AA}$, $c_0 = 9.19\text{\AA}$

Raumgruppe

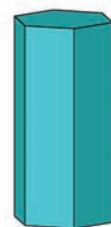
: $P\bar{6}/m\ m\ c$

Ausbildung

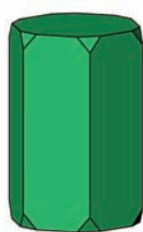
: säulig, stengelig, dominierend Prisma (1 0 – 1 0) und Pinakoid (0 0 0 1)

Berilo:

Prisma hexagonal
Pinacóide basal



Prisma hexagonal
Pinacóide basal



Prisma hexagonal
Pinacóide basal
Dipirâmide hexagonal
II. Posição



Prisma hexagonal
Pinacóide basal
Dipriâmide hexagonal I. pos.
Dipirâmide hexagonal II.pos.

Fórmula química

: $\text{Be}_3\text{Al}_2[\text{Si}_6\text{O}_{18}]$

Sistema cristalino

: hexagonal

Célula unitária

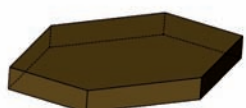
: $a_0 = 9.22\text{\AA}$, $c_0 = 9.19\text{\AA}$

Grupo espacial

: P 6/m m c

Características

: colunar, fibroso, dominanteamente prismático (1 0 - 1 0) e
pinacoidal (0 0 0 1)

Biotit:

Basispinakoid
Prisma
Pinakoid



Basispinakoid
Prisma
Pinakoid



Basispinakoid
Prisma
Pinakoid
Prisma

Chemische Zusammensetzung
Kristallsystem
Elementarzelle
Raumgruppe
Ausbildung

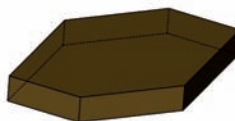
: $K(Mg, Fe)_3[(OH)_2/AlSi_3O_{10}]$
: Monoklin, trioktaedrisches Dreischichtsilikat
: $a_o = 5.35 \text{ \AA}$, $b_o = 9.26 \text{ \AA}$, $c_o = 10.23 \text{ \AA}$, $\beta = 100.3^\circ$
: C 2/m
: Tafelig, plattig, schuppig

Biotita:



Pinacóide basal
Prisma
Pinacóide

=



Pinacóide basal
Prisma
Pinacóide



Pinacóide basal
Prisma Pinacóide
Prisma

Fórmula química

: $K(Mg, Fe)_3[(OH)_2/AlSi_3O_{10}]$

Sistema cristalino

: Monoclínico, três folhas de silicatos tri-octaédricos

Célula unitária

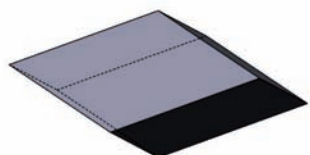
: $a_0 = 5.35 \text{ \AA}$, $b_0 = 9.26 \text{ \AA}$, $c_0 = 10.23 \text{ \AA}$, $\beta = 100.3^\circ$

Grupo espacial

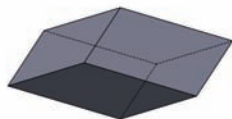
: C 2/m

Características

: tabular, micáceo, liso, laminar

Calcit:

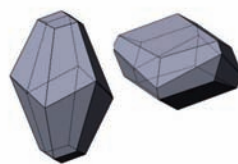
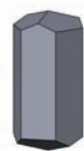
positiver Rhomboeder

negativer
Rhomboeder

negativer Rhomboeder

pos. Rhomboeder
Prisma
Skalenoeder

Skalenoeder

Skalenoeder
(+)-RhomboederPrisma
(-)-RhomboederPrisma
(+)-Rhomboeder

Chemische Zusammensetzung

: CaCO₃

Kristallsystem

: Trigonal, -3m

Elementarzelle

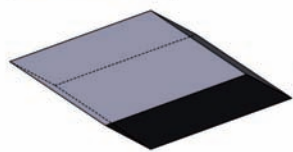
: $a_0 = 4.99$, $c_0 = 17.06$

Raumgruppe

: R-3c

Ausbildung

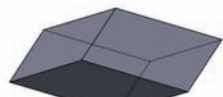
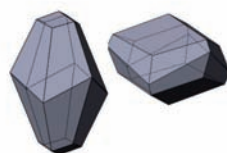
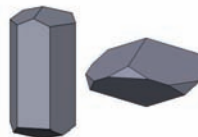
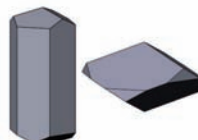
: Gesteinsbildend, dicht, oolithisch, derb
grobspätig, xx sehr verschieden (formenreiches
Mineral!), z. B. Rhomboeder und Skalenoeder,
säulige xx u.a.

Calcita:

Romboedro Positivo

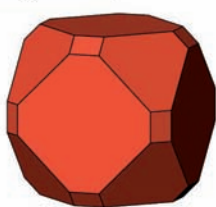


Escalenoedro

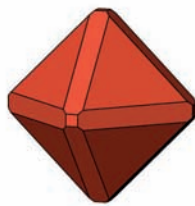
Romboedro negativo
achatadoEscalenoedro
Romboedro positivoRomboedro negativo
alongadoPrisma
Romboedro negativoRomboedro positivo
Prisma
EscalenoedroPrisma
Romboedro positivo

Fórmula química
Sistema cristalino
Célula unitária
Grupo espacial
Características

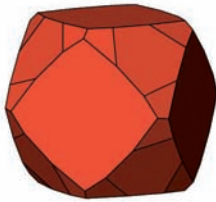
: CaCO_3
: Trigonal, -3m
: $a_o = 4.99$, $c_o = 17.06$
: R-3c
: formador de rocha, denso, oolítico, maciço, colunar, xx
muitas variações (mineral com vários hábitos possíveis!),
p.ex.: romboédrico e escalenoédrico, xx e outros

Cuprit:

Hexaeder
Oktaeder
Rhombendodekaeder



Hexaeder
Oktaeder
Rhombendodekaeder



Hexaeder
Oktaeder
Pentagonikositetraeder

Chemische Zusammensetzung

: Cu₂O

Kristallsystem

: Kubisch

Elementarzelle

: a_o=4.27 Å

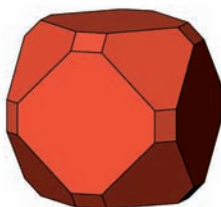
Raumgruppe

: Pn3m

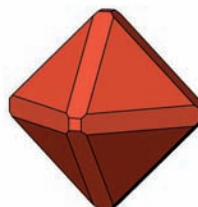
Ausbildung

: Derb, eingesprengt, Würfel, Oktaeder, nadelige x

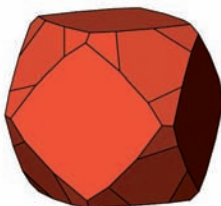
Cuprita:



Hexaedro (cubo) =
Octaedro
Rombododecaedro



Hexaedro (cubo)
Octaedro
Rombododecaedro

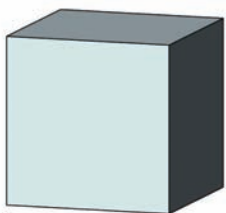


Hexaedro (cubo)
Octaedro
Pentagonicositetraedro

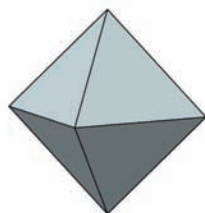
Fórmula química
Sistema cristalino
Célula unitária
Grupo espacial
Características

: Cu₂O
: Isométrico
: $a_0=4.27 \text{ \AA}$
: Pn3m
: maciço, disseminado, cúbico, octaédrico, acicular x

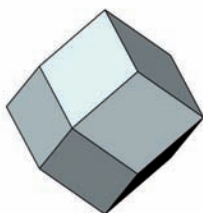
Diamant:



Hexaeder



Oktaeder



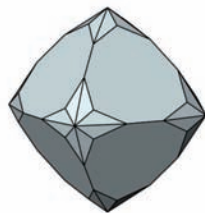
Rhombendodekaeder



Tetrakishexaedra



Hexakisoktaeder

Oktaeder
Hexakisoktaeder

Chemische Zusammensetzung

: C

Kristallsystem

: Kubisch

Elementarzelle

: $a_0 = 3.559 \text{ \AA}$

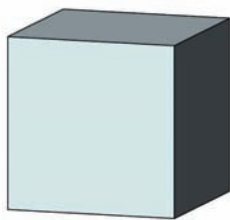
Raumgruppe

: Fd3m

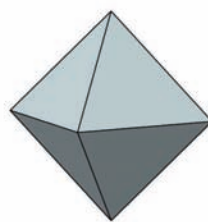
Ausbildung

: Oktaeder, Rhombendodekaeder, Würfel, xx
meist abgerundet

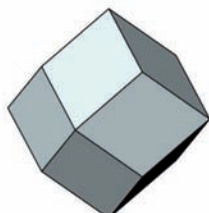
Diamante:



Hexaedro (cubo)



Octaedro



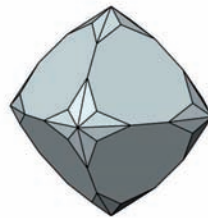
Rombododecaedro



Tetrahexaedro



Hexaoctaedro

Octaedro
Hexaoctaedro

Fórmula química

: C

Sistema cristalino

: Isométrico

Célula unitária

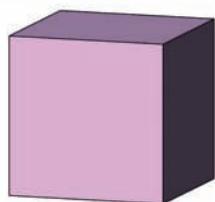
: $a_0 = 3.559 \text{ \AA}$

Grupo espacial

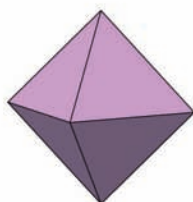
: Fd3m

Características

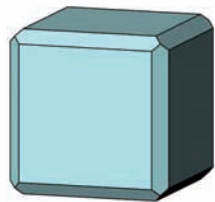
: octaédrico, romboédrico, cubo, xx por vezes arredondado

Fluorit:

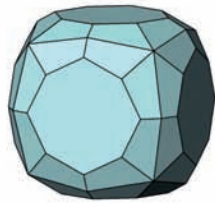
Hexaeder



Oktaeder

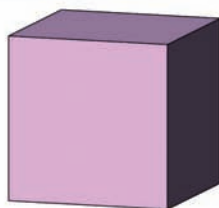
Hexaeder
OktaederOktaeder
RhombendodekaederHexaeder
Rhombendodekaeder

Tetrakishexaeder

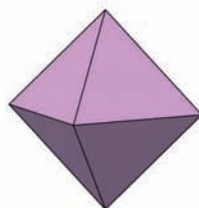
Hexaeder
Hexakisoktaeder

Chemische Zusammensetzung
Kristallsystem
Elementarzelle
Raumgruppe
Ausbildung

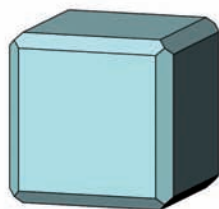
: CaF_2
: Kubisch
: $a_0 = 5.46 \text{ \AA}$
: $F\ m\bar{3}m$
: Derb, grobspälig, Würfel, Oktaeder,
Rhombendodekaeder, oft grobkristallin,

Fluorita:

Hexaedro (cubo)



Octaedro

Hexaedro
OctaedroOctaedro
RombododecaedroHexaedro
Rombododecaedro

Tetrahexaedro

Hexaedro
Hexaoctaedro

Fórmula química
Sistema cristalino
Célula unitária
Grupo espacial
Características

: CaF_2
: Isométrico
: $a_0 = 5.46 \text{ \AA}$
: $F\ m\bar{3}m$
: maciço, prismático, cúbico, octaédrico, rombododecaédrico; geralmente desenvolve cristais

Galenit:



Oktaeder

div.
Kub-Oktaeder

Würfel

Würfel
Oktaeder
Rhombendodekaeder

Chemische Zusammensetzung

: PbS

Kristallsystem

: Kubisch, NaCl-Gitter

Elementarzelle

: $a_0 = 5.94 \text{ \AA}$

Raumgruppe

: F m 3 m

Ausbildung

: Derb, eingesprengt, Würfel, Oktaeder,
Rhombendodekaeder, oft Kombinationen

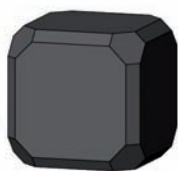
Galena:



Octaedro



Cubo (hexaedro)

Distintas combinações
de hexaedro e octaedroCubo (hexaedro)
Octaedro
Rombododecaedro

Fórmula química

: PbS

Sistema cristalino

: Isométrico, reticulados de NaCl

Célula unitária

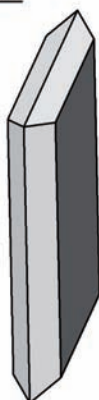
: $a_0 = 5.94 \text{ \AA}$

Grupo espacial

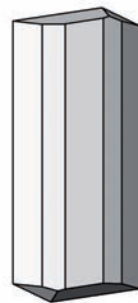
: F m 3 m

Características

: maciço, disseminado, cúbico, octaédrico, dodecaédrico
rômico, geralmente associado a outros minerais

Gips:

Prisma
Prisma
Pinakoid



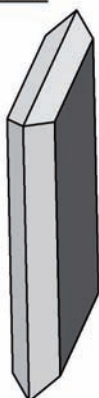
Prisma
Prisma
Prisma
Prisma
Pinakoid



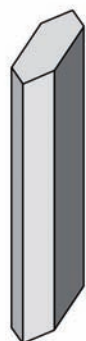
Prisma
Basispinakoid
Pinakoid

Chemische Zusammensetzung
Kristallsystem
Elementarzelle
Raumgruppe
Ausbildung

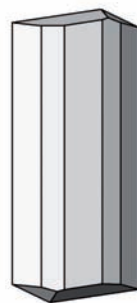
: $\text{CaSO}_4 \cdot 2\text{H}_2\text{O}$
: Monoklin, 2/m
: $a_0 = 5.68\text{\AA}$, $b_0 = 15.18\text{\AA}$, $c_0 = 6.89\text{\AA}$, $\beta = 113.83^\circ$
: A 2/a
: Dicht, feinkörnig, faserig, xx nadelig, prismatisch, tafelig, oft Schwalbenschwanzzwillinge

Gipso:

Prisma
Prisma
Pinacóide



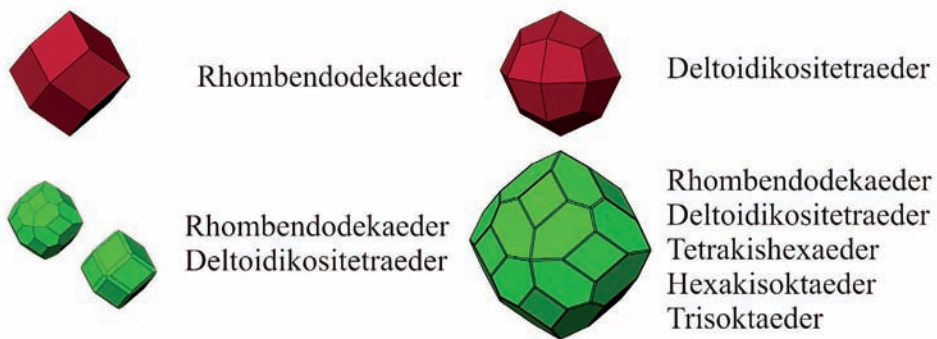
Prisma
Picanóide basal
Pinacóide



Prisma
Prisma
Prisma
Prisma
Pinacóide

Fórmula química
Sistema cristalino
Célula unitária
Grupo espacial
Características

: $\text{CaSO}_4 \cdot 2\text{H}_2\text{O}$
: Monoclínico, 2/m
: $a_o = 5.68\text{\AA}$, $b_o = 15.18\text{\AA}$, $c_o = 6.89\text{\AA}$, $\beta = 113.83$
: A 2/a
: denso, fino, fibroso, xx acicular, prismático, roseta, tabular; frequentemente com geminação do tipo ponta de flecha

Granat:

Chemische Zusammensetzung : $X_3Y_2[SiO_4]_3$
 X: Mg, Fe²⁺, Mn²⁺, Ca (8er Koord.)
 Y: Al, Fe³⁺, Cr³⁺, V³⁺ (6er Koord.)
 Für (SiO₄) z. T. auch (AlO₄) oder (OH)

Kristallsystem : Kubisch
 Ausbildung : Rhombendodekaeder (110), Deltoidikositetraeder (211)

„Pyralspite“

Pyrop $Mg_3Al_2[SiO_4]_3$

Almandin: $Fe_3Al_2[SiO_4]_3$

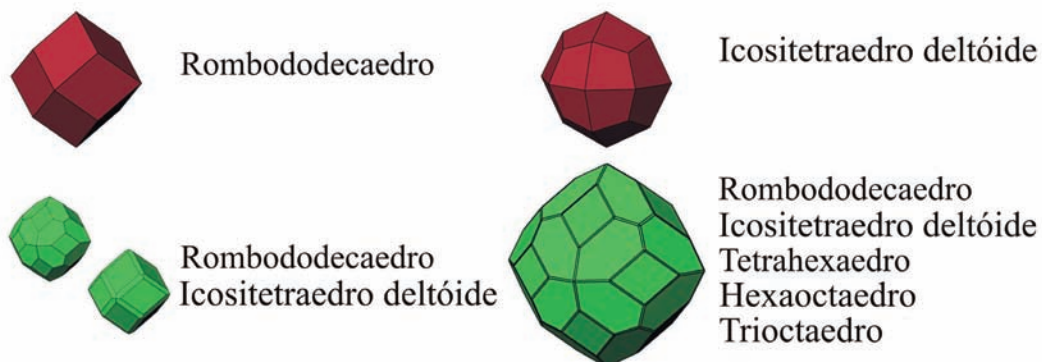
Spessartin: $Mn_3Al_2[SiO_4]_3$

“Ugrandite”

Uwarowit: $Ca_3Cr_2[SiO_4]_3$

Grossular: $Ca_3Al_2[SiO_4]_3$

Andradit: $Ca_3Fe_2[SiO_4]_3$

Granada:

Fórmula química

: $X_3Y_2[SiO_4]_3$
 X: Mg, Fe²⁺, Mn²⁺, Ca (8º coord.)
 Y: Al, Fe³⁺, Cr³⁺, V³⁺ (6º coord.)
 Para (SiO₄) por vezes também (AlO₄) ou (OH)

Sistema cristalino
 Características

: Isométrico (cúbico)
 : rombododecaédrico (110), icositetraedro deltoidal (211)

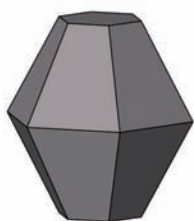
PiralspitaPiropo $Mg_3Al_2[SiO_4]_3$ Almandina: $Fe_3Al_2[SiO_4]_3$ Espessartita: $Mn_3Al_2[SiO_4]_3$ **Ugrandita**Uvarovita: $Ca_3Cr_2[SiO_4]_3$ Grossulária: $Ca_3Al_2[SiO_4]_3$ Andradita: $Ca_3Fe_2[SiO_4]_3$

Hämatit:

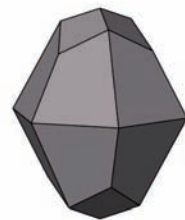
Rhomboeder
Basispinakoid



Rhomboeder
Basispinakoid



Dipyramide
Basispinakoid



Rhomboeder
Dipyramide



Rhomboeder
Dipyramide
Rhomboeder

Chemische Zusammensetzung

: Fe_2O_3

Kristallsystem

: Trigonal

Elementarzelle

: $a_0 = 5.03\text{\AA}$, $c_0 = 13.74\text{\AA}$

Raumgruppe

: R -3c

Ausbildung

: Erdig, schuppig, radialstrahlig, knollig, nierig, xx tafelig, plattig

Hematita:

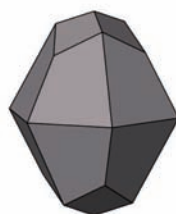
Romboedro
Pinacóide basal



Romboedro
Pinacóide basal



Dipirâmide
Pinaóide basal



Romboedro
Dipirâmide



Romboedro
Dipirâmide
Romboedro

“diamante-negro”

Fórmula química

: Fe_2O_3

Sistema cristalino

: Trigonal

Célula unitária

: $a_o = 5.03\text{\AA}$, $c_o = 13.74\text{\AA}$

Grupo espacial

: R -3c

Características

: terroso, radial (dendrítico), nodular, reniforme, xx tabular, laminar

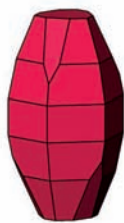
Korund:



Prisma
Basispinakoid



Prisma
Basispinakoid
Dipyramide



Prisma
Basispinakoid
Dipyramide
Dipyramide
Rhomboeder

Chemische Zusammensetzung	: Al_2O_3
Kristallsystem	: Trigonal
Elementarzelle	: $a_0=4.75 \text{ \AA}$, $c_0=12.98 \text{ \AA}$
Raumgruppe	: R-3c
Ausbildung	: Eingesprengt, säulige bis tonnenförmige xx, meist mit Flächenstreifung

Corindum:



Prisma
Pinacóide basal



Prisma
Pinacóide basal
Dipirâmide



Prisma
Pinacóide basal
Dipirâmide
Dipirâmide
Romboedro

Fórmula química

: Al_2O_3

Sistema cristalino

: Trigonal

Célula unitária

: $a_o = 4.75 \text{ \AA}$, $c_o = 12.98 \text{ \AA}$

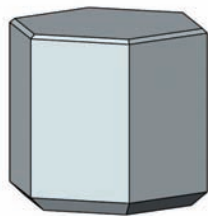
Grupo espacial

: R-3c

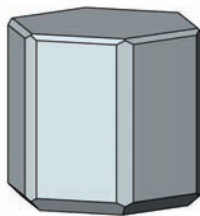
Características

: disseminado, colunar até oval, geralmente com estrias

Nephelin:



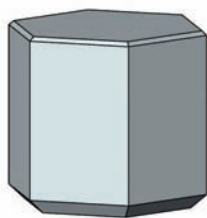
Prisma
Basispedion
Basispedion
Pyramide
Pyramide



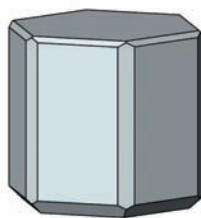
Prisma
Basispedion
Basispedion
Pyramide
Pyramide
Prisma

Chemische Zusammensetzung	: $\text{KNa}_3[\text{AlSiO}_4]_4$
Kristallsystem	: Hexagonal
Elementarzelle	: $a_o = 9.99 \text{ \AA}$, $c_o = 8.37 \text{ \AA}$
Raumgruppe	: $P\bar{6}_3$
Ausbildung	: Derb, selten säulige xx

Nefelina:



Prisma
Pédio basal
Pédio basal
Pirâmide
Pirâmide

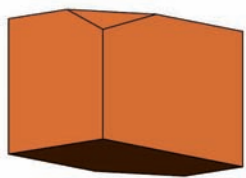


Prisma
Pédio basal
Pédio basal
Pirâmide
Pirâmide
Prisma

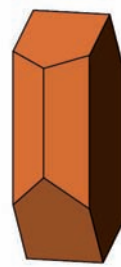
Fórmula química
Sistema cristalino
Célula unitária
Grupo espacial
Características

: $\text{KNa}_3[\text{AlSiO}_4]_4$
: Hexagonal
: $a_o = 9.99 \text{ \AA}$, $c_o = 8.37 \text{ \AA}$
: $P\ 6_3$
: maciço, raramente colunar xx

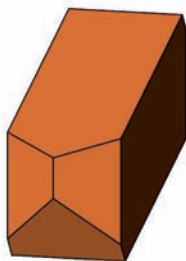
Orthoklas:



Prisma
Pinakoid
Pinakoid



Prisma
Basispinakoid
Pinakoid
Pinakoid

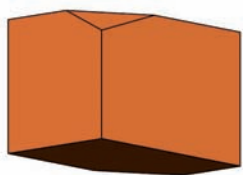


Prisma
Pinakoid
Basispinakoid
Pinakoid

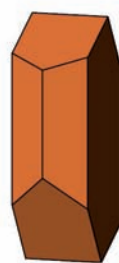
Chemische Zusammensetzung
Kristallsystem
Elementarzelle
Raumgruppe
Ausbildung

: $K[AlSi_3O_8]$ „Kalifeldspat“
: Monoklin
: $a_o = 8.62 \text{ \AA}$, $b_o = 12.99 \text{ \AA}$, $c_o = 7.19 \text{ \AA}$, $\beta = 116.02^\circ$
: C 2/m
: Gesteinsbildend, xx tafelig, prismatisch, häufig

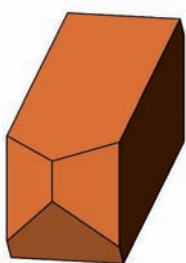
Ortoclásio:



Prisma
Pinacóide
Pinacóide



Prisma
Pinacóide basal
Pinacóide
Pinacóide

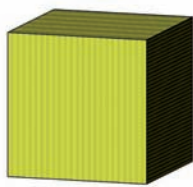


Prisma
Pinacóide
Pinacóide basal
Pinacóide

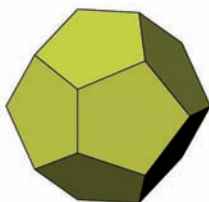
Fórmula química
Sistema cristalino
Célula unitária
Grupo espacial
Características

: $K[AlSi_3O_8]$ k-Feldspato (Feldspato potássico)
: Monoclínico
: $a_o = 8.62 \text{ \AA}$, $b_o = 12.99 \text{ \AA}$, $c_o = 7.19 \text{ \AA}$, $\beta = 116.02^\circ$
: C 2/m
: formador de rochas, xx tabular, prismático, frequentemente com geminações (Karlsbar, Manebach, Baveno)

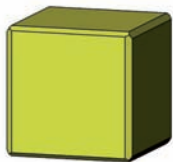
Pyrit:



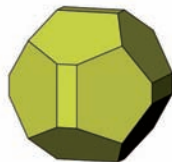
Würfel mit
Flächenstreifung



Pentagondodekaeder



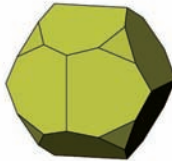
Pentagondodekaeder
Würfel



Pentagondodekaeder
Würfel



Pentagondodekaeder
Oktaeder
= “Pseudo-Ikosaeder”



Pentagondodekaeder
Oktaeder

Chemische Zusammensetzung
Kristallsystem

: FeS₂

: Kubisch: Struktur: ähnlich NaCl, S₂-Hanteln liegen parallel (1 1 1)

: $a_0 = 5.42 \text{ \AA}$

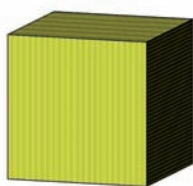
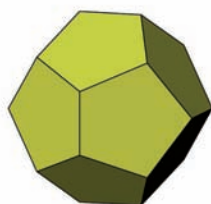
: P a 3

: Derb, eingesprengt, Würfel (oft mit Flächenstreifung), Oktaeder, Pentagondodekaeder

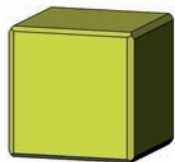
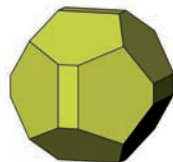
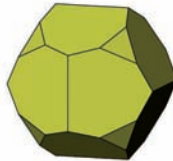
Elementarzelle

Raumgruppe

Ausbildung

Pirita:Cubo (hexaedro) com
estrias nas faces

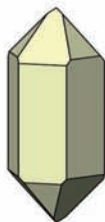
Pentagondodecaedro

Pentagondodecaedro
Cubo (hexaedro)Pentagondodecaedro
Cubo (hexaedro)Pentagondodecaedro
Octaedro
= Pseuo-isosaedroPentagondodecaedro
Octaedro

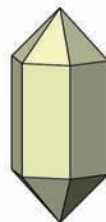
“Ouro de Tolo“

Fórmula química
Sistema cristalino
Célula unitária
Grupo espacial
Características

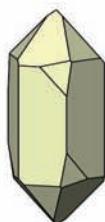
: FeS₂
: Isométrico (estrutura cúbica similar NaCl, com ligações S₂paralelas (1 1 1))
: $a_0 = 5.42 \text{ \AA}$
: P a 3
: maciço, disseminado, cúbico (geralmente estriado),
octaédrico, pentadodecaédrico

Quarz:

Hexagonales Prisma
pos. Rhomboeder
neg. Rhomboeder



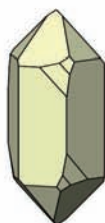
Hexagonales Prisma
Hex. Dipyramide
Hochquarz!
(andere Symmetrie)



Hexagonales Prisma
pos. Rhomboeder
neg. Rhomboeder
rechter Trapezoeder



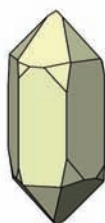
Hexagonales Prisma
pos. Rhomboeder
neg. Rhomboeder
linker Trapezoeder



Hexagonales Prisma
pos. Rhomboeder
neg. Rhomboeder
rechter Trapezoeder
rechte Dipyramide



Hexagonales Prisma
pos. Rhomboeder
neg. Rhomboeder
linker Trapezoeder
linke Dipyramide

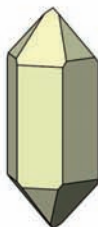


Hexagonales Prisma
pos. Rhomboeder
neg. Rhomboeder
“linker” Trapezoeder
“rechter” Trapezoeder

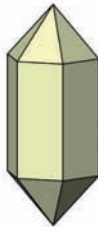
Chemische Zusammensetzung : SiO_2
Kristallsystem : Trigonal
Elementarzelle : $a_0 = 4.91 \text{ \AA}$, $c_0 = 5.40 \text{ \AA}$
Raumgruppe : $P\bar{3}121$, $P3_221$
Ausbildung

: derb, schöne Kristalle, z.T. wasserklar

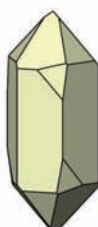
Quartzo



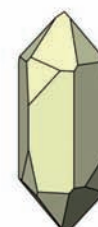
Prisma hexagonal
Romboedro positivo
Romboedro negativo



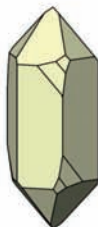
Prisma hexagonal
Dipirâmide hexagonal
Quartzo alta temperatura
(Outra simetria)



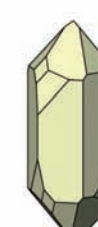
Prisma hexagonal
Romboedro positivo
Romboedro negativo
Trapezoedro direito



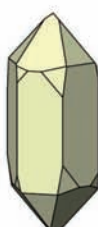
Prisma hexagonal
Romboedro positivo
Romboedro negativo
Trapezoedro esquerdo



Prisma hexagonal
Romboedro positivo
Romboedro negativo
Trapezoedro direito
Dipirâmide direita



Prisma hexagonal
Romboedro positivo
Romboedro negativo
Trapezoedro direito
Dipirâmide esquerda



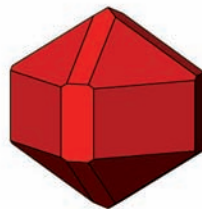
Prisma hexagonal
Romboedro positivo
Romboedro negativo
Trapezoedro esquerdo
direito

Fórmula química
Sistema cristalino
Célula unitária
Grupo espacial
Características

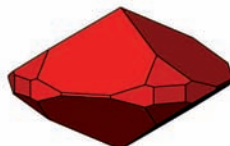
: SiO_2
: Trigonal
: $a_0 = 4.91 \text{ \AA}$, $c_0 = 5.40 \text{ \AA}$
: $P\bar{3}21$, $P3_221$
: granular; bem cristalizado, por vezes incolor

Rutil:

Prisma
Prisma
Dipyramide



Prisma
Prisma
Dipyramide
Dipyramide

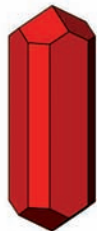


Prisma
Prisma
Dipyramide
Dipyramide
ditetragonales Prisma

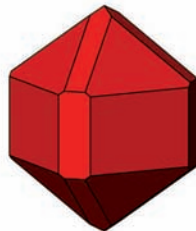
Chemische Zusammensetzung
Kristallsystem
Elementarzelle
Raumgruppe
Ausbildung

: TiO_2
: Tetragonal
: $a_0=4.594\text{\AA}$, $c_0=2.958\text{\AA}$
: $P\bar{4}/mnm$
: Derb, nadelige, stengelig, häufig Verzwillingung

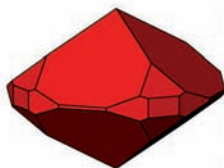
Rutilo:



Prisma
Prisma
Dipirâmide



Prisma
Prisma
Dipirâmide
Dipirâmide



Prisma
Prisma
Dipirâmide
Dipirâmide
Prisma ditetragonal

Fórmula química

: TiO_2

Sistema cristalino

: Tetragonal

Célula unitária

: $a_0=4.594\text{\AA}$, $c_0=2.958\text{\AA}$

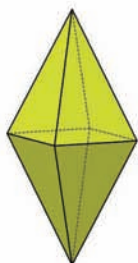
Grupo espacial

: $P\bar{4}/m\bar{n}m$

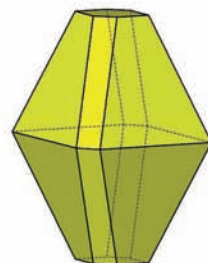
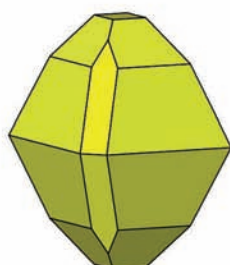
Características

: granular, acicular, fibroso, geralmente geminado
(ângulo 120°), com agregados reticulados

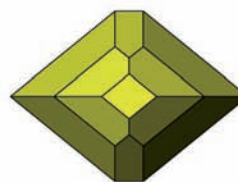
Schwefel:



Dipyramide

Dipyramide
Basispinakoid
PrismaDipyramide
Dipyramide
Basispinakoid
Prisma

=

**Kopfbild**
Dipyramide
Dipyramide
Basispinakoid
Prisma

Chemische Zusammensetzung: S

Kristallsystem

: orthorhombisch

Elementarzelle

: $a_0 = 10.45 \text{ \AA}$, $b_0 = 12.85 \text{ \AA}$, $c_0 = 24.46 \text{ \AA}$

Raumgruppe

: F ddd

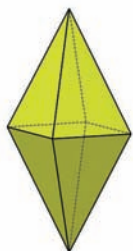
Besonderheiten

: bis 95° orthorhombisch, ab 95° monoklin,Schmelzpunkt $119,2^\circ\text{C}$ Ringförmige S_8 -Moleküle, zwischen den Molekülen

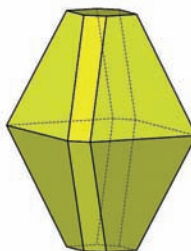
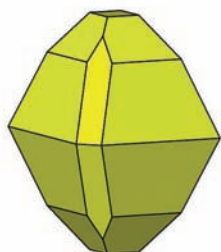
nur Van-der-Waalsche Bindung

Ausbildung

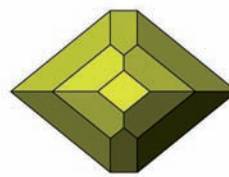
: Derbe, dichte, erdige Aggregate, pyramidale und
sphenoidische xx

Enxofre:

Dipirâmide

Dipirâmide
Pinacóide basal
PrismaDipirâmide
Dipirâmide
Pinacóide basal
Prisma

=

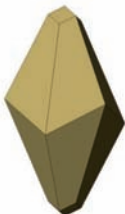
**Imagen de cima**
Dipirâmide
Dipirâmide
Pinacóide basal
Prisma

Fórmula química : S
 Sistema cristalino : ortorrômbico
 Célula unitária : $a_0 = 10.45 \text{ \AA}$, $b_0 = 12.85 \text{ \AA}$, $c_0 = 24.46 \text{ \AA}$
 Grupo espacial : F ddd
 Particularidades : até 95°C ortorrômbico, a partir de 95°C monoclinico,
 ponto de fusão 119,2 °C
 Moléculas S8 anelares; entre as moléculas apenas
 ligações do tipo Van-der-Waal
 Características : maciço, denso, agregados terrosos, piramidal e
 esfenóide xx

Siderit:



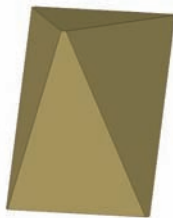
Rhomboeder



Rhomboeder
Skalenoeder



Rhomboeder
Skalenoeder
Skalenoeder
Rhomboeder



Rhomboeder
Basispinakoid



Rhomboeder
Basispinakoid
Rhomboeder
Skalenoeder

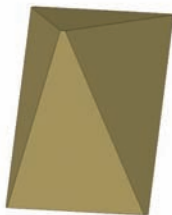
Chemische Zusammensetzung
Kristallsystem
Elementarzelle
Raumgruppe
Ausbildung

: FeCO₃,
: Trigonal, -3m
: $a_o = 4.72$, $c_o = 15.46$
: R -3c
: Feinkörnig bis grobspätig, rhomboedrische xx

Siderita:



Romboedro

Romboedro
EscalenoedroRomboedro
Escalenoedro
Escalenoedro
RomboedroRomboedro
Pinacóide basalRomboedro
Pinacóide basal
Romboedro
Escalenoedro

Fórmula química

: FeCO₃

Sistema cristalino

: Trigonal, -3m

Célula unitária

: $a_o = 4.72$, $c_o = 15.46$

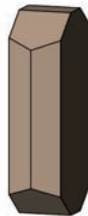
Grupo espacial

: R -3c

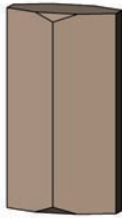
Características

: fino até colunar, romboédrico xx

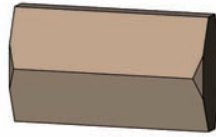
Staurolith:



Prisma
Basispinakoid
Pinakoid
Prisma



Prisma
Basispinakoid
Pinakoid
Prisma



Prisma
Basispinakoid
Pinakoid
Prisma

Chemische Zusammensetzung

: $(\text{Fe}, \text{Mg})_2\text{Al}_5(\text{Si}, \text{Al})_4\text{O}_{20}(\text{O}, \text{OH})_2$

Kristallsystem

: Monoklin

Elementarzelle

: $a_0 = 7.863 \text{ \AA}$, $b_0 = 16.61 \text{ \AA}$, $c_0 = 5.65 \text{ \AA}$, $\beta = 90-93^\circ$

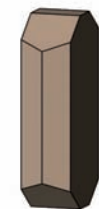
Raumgruppe

: C 2/m

Ausbildung

: Gesteinsbildend, xx tafelig, prismatisch, häufig

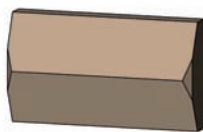
Estaurolita:



Prisma
Pinacóide basal
Pinacóide
Prisma



Prisma
Pinacóide basal
Pinacóide
Prisma

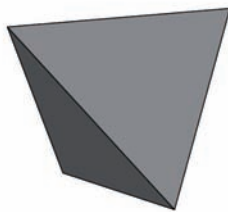


Prisma
Pinacóide basal
Pinacóide
Prisma

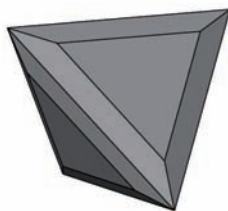
Fórmula química
Sistema cristalino
Célula unitária
Grupo espacial
Características

: $(\text{Fe}, \text{Mg})_2\text{Al}_9(\text{Si}, \text{Al})_4\text{O}_{20}(\text{O}, \text{OH})_2$
: Monoclínico
: $a_o = 7.863 \text{ \AA}$, $b_o = 16.61 \text{ \AA}$, $c_o = 5.65 \text{ \AA}$, $\beta = 90-93^\circ$
: C 2/m
: formador de rocha, xx tabular, prismática, mineral frequente

Tetraedrit:



Tetraeder

Tetraeder
HexaederTetraeder
TristetraederTetraeder
Tristetraeder
Rhomboeder

Chemische Zusammensetzung

: Cu₁₂Sb₄S₁₃, z. T. mit Ag-, Hg, Zn-Gehalten

Kristallsystem

: kubisch

Elementarzelle

: $a_0 = 10.36 \text{ \AA}$

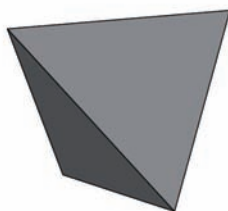
Raumgruppe

: I -4 3 m

Ausbildung

: derb, tetraedr. Ausbildung, mit Calcit, Quarz
verwachsen

Tetraedrita:



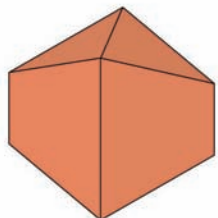
Tetraedro

Tetraedro
HexaedroTetraedro
TristetraedroTetraedro
Tristetraedro
Romboedro

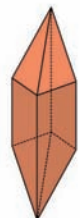
Fórmula química
Sistema cristalino
Célula unitária
Grupo espacial
Características

: Cu₁₂Sb₄S₁₃, por vezes com contribuições de Ag, Hg, Zn
: Isométrico (cúbico)
: $a_0 = 10.36 \text{ \AA}$
: I-4 3 m
: maciço; formação tetraédrica alternada com calcita e quartzo

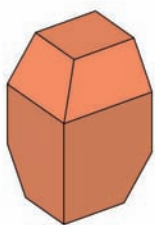
Titanit:



Prisma
Prisma



Prisma
Prisma

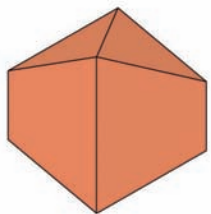


Prisma
Basispinakoid
Prisma

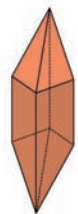
Chemische Zusammensetzung
Kristallsystem
Elementarzelle
Raumgruppe
Ausbildung

: CaTi [O / SiO₄]
: Monoklin
: $a_0 = 7.06 \text{ \AA}$, $b_0 = 8.71 \text{ \AA}$, $c_0 = 6.56 \text{ \AA}$, $\beta = 113.8^\circ$
: P2₁/a
: Eingesprengter, xx oft Briefkuvertförmig, stengelig,
tafelig

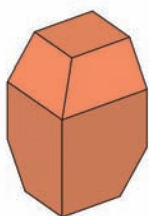
Titanita:



Prisma
Prisma



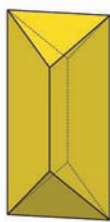
Prisma
Prisma



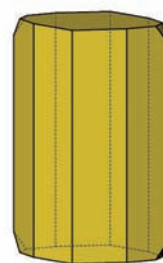
Prisma
Pinacóide basal
Prisma

Fórmula química
Sistema cristalino
Célula unitária
Grupo espacial
Características

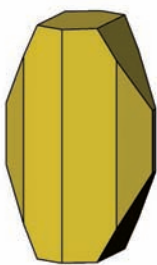
: CaTi [O / SiO₄]
: Monoclínico
: $a_0 = 7.06\text{ \AA}$, $b_0 = 8.71\text{ \AA}$, $c_0 = 6.56\text{ \AA}$, $\beta = 113.8^\circ$
: P2₁/a
: disseminado, xx geralmente losangular e com terminações em cunha, compacto, tabular

Topas:

Hexagonales Prisma
Basispinakoid



Prisma
Prisma
Basispinakoid
Prisma



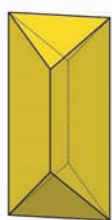
Prisma
Prisma
Basispinakoid
Prisma
Pinakoid



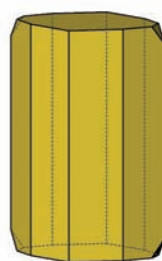
Prisma
Prisma
Basispinakoid
Prisma
Pinakoid

Chemische Zusammensetzung
Kristallsystem
Elementarzelle
Raumgruppe
Ausbildung

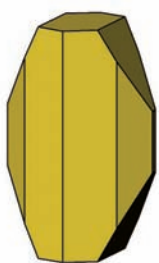
: CaTi [O / SiO₄]
: Monoklin
: $a_0 = 7.06 \text{ \AA}$, $b_0 = 8.71 \text{ \AA}$, $c_0 = 6.56 \text{ \AA}$, $\beta = 113.8^\circ$
: P2₁/a
: Eingesprengter, xx oft Briefkuvertförmig, stengelig,
tafelig

Topázio:

Prisma
Pinacóide basal



Prisma
Prisma
Pinacóide basal
Prisma



Prisma
Prisma
Pinacóide basal
Prisma
Pinacóide



Prisma
Prisma
Pinacóide basal
Prisma
Pinacóide

Fórmula química
Sistema cristalino
Célula unitária
Grupo espacial
Características

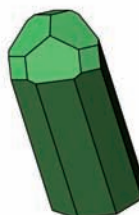
: $\text{Al}_2[\text{F}_2/\text{SiO}_4]$
: ortorrômbico
: $a_0 = 4.65\text{\AA}$, $b_0 = 8.8\text{\AA}$, $c_0 = 8.4\text{\AA}$
: Pb n m
: granular, fibroso, prismático, miceliforme (bastonete)

Turmalin

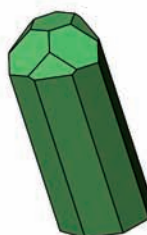
versch. Köpfe:



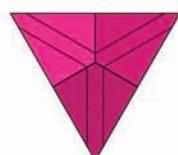
Basispedion
Trigonales Prisma
Hexagonales Prisma



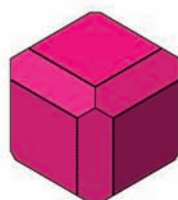
Pyramide
Pyramide
Trigonales Prisma
Hexagonales Prisma



Pyramide
Pyramide
Trigonales Prisma
Hexagonales Prisma



Pyramide
Trigonales Prisma
Pyramide
Pyramide



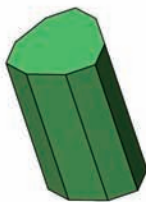
Pyramide
Pyramide
Trigonales Prisma
Pyramide
Pyramide



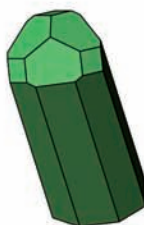
Pyramide
Trigonales Prisma
Hexagonales Prisma
Pyramide
Basispedion

Turmalina

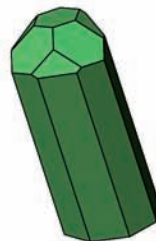
Terminações Diferentes:



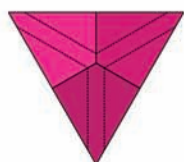
Pédio basal
Prisma trigonal
Prisma hexagonal



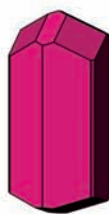
Pirâmide
Pirâmide
Prisma trigonal
Prisma hexagonal



Pirâmide
Pirâmide
Prisma trigonal
Prisma hexagonal



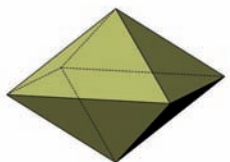
Pirâmide
Prisma trigonal
Pirâmide
Pirâmide



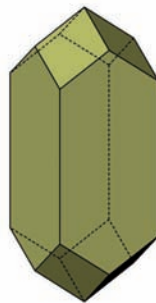
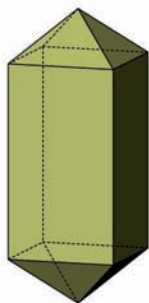
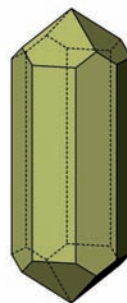
Pirâmide
Pirâmide
Prisma trigonal
Pirâmide
Pirâmide



Pirâmide
Prisma trigonal
Prisma hexagonal
Pirâmide
Pédio basal

Zirkon:

Dipyramide

Dipyramide
und Prisma
I. StellungDipyramide
und Prisma
II. StellungDipyramide
Prisma I. St.
Prisma II. St.

Chemische Zusammensetzung

: $\text{Zr}[\text{SiO}_4]$, enthält diadoch Hf, SEE

Kristallsystem

: Tetragonal

Elementarzelle

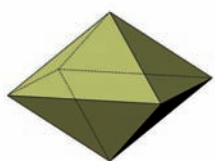
: $a_o = 6.60 \text{ \AA}$, $c_o = 5.98 \text{ \AA}$

Raumgruppe

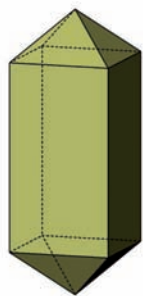
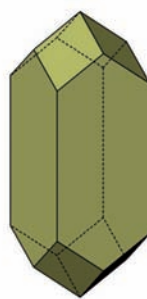
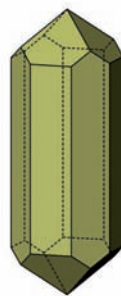
: $I\bar{4}_1/a\ m\ d$

Ausbildung

: Körner, häufig idiomorphe xx, kurzsäulig,
prismatisch

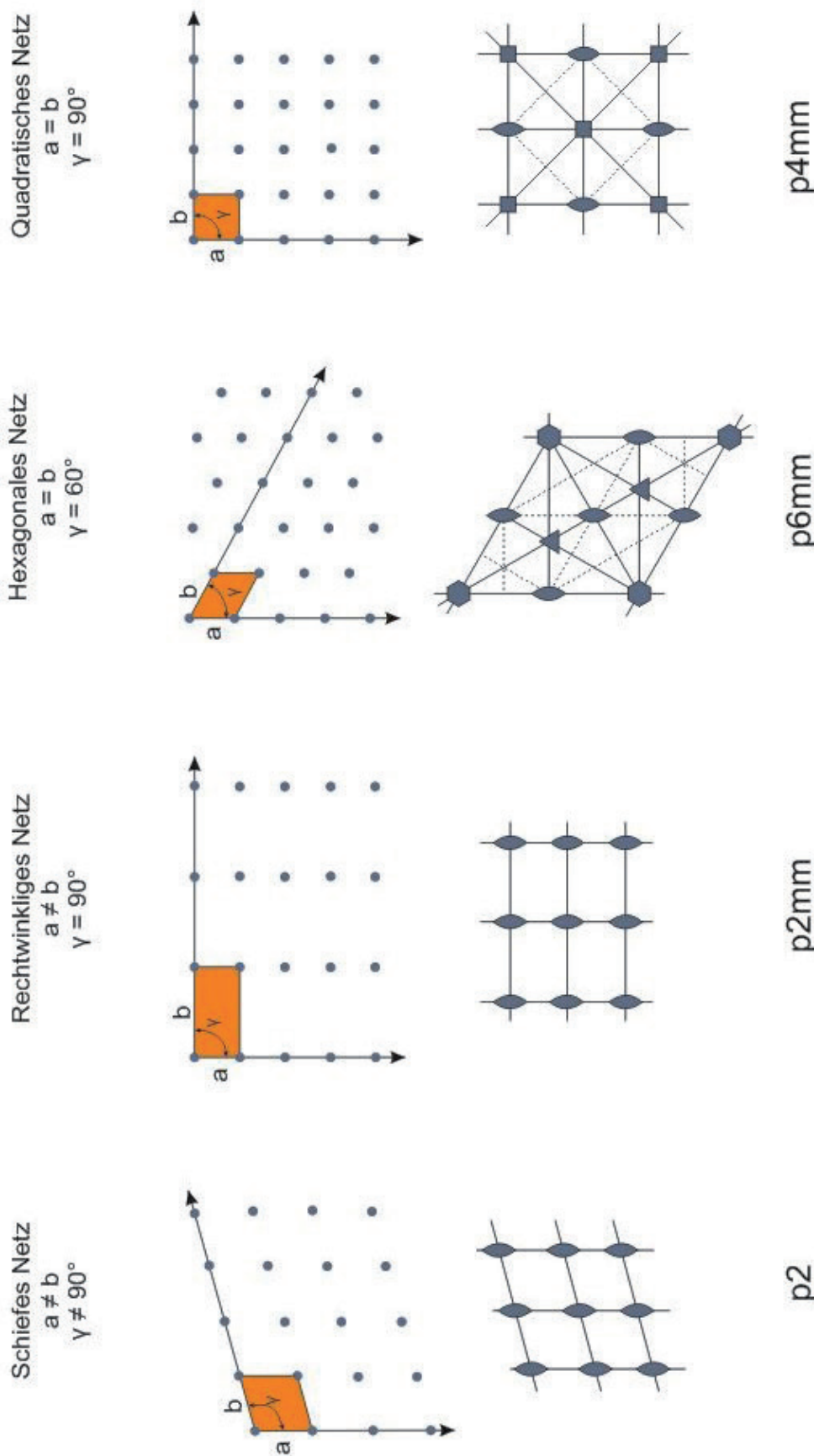
Zircão:

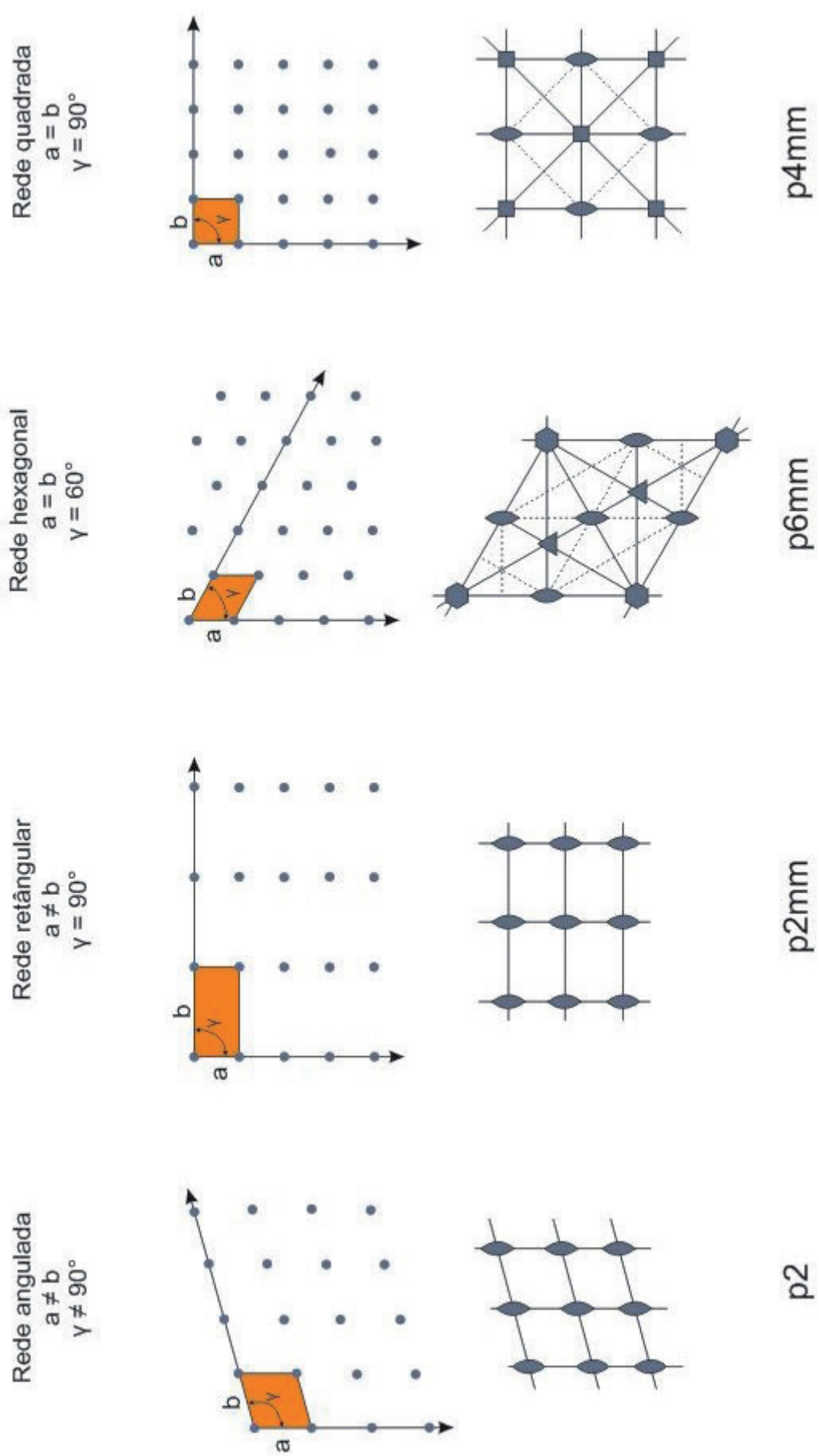
Dipirâmide

Dipirâmide
Prisma Posição IIDipirâmide
e Prisma Posição IDipirâmide
Prisma posição I
Prisma posição II

Fórmula química
Sistema cristalino
Célula unitária
Grupo espacial
Características

: Zr[SiO₄], contém Hf, ETR
: Tetragonal
: $a_0 = 6.60 \text{ \AA}$, $c_0 = 5.98 \text{ \AA}$
: I 4₁/a m d
: granular, geralmente idiomorfo xx, colunar, prismático





Symbolik der Symmetrieebenen

Symmetrieebene	Symbol	senkrecht zur Zeichenebene	Symbol	parallel	Bemerkung
Spiegelung	m				falls die Spiegelebene über der Zeichenebene liegt, wird die Höhe in Bruchteilen der Gitterkonstante angegeben $\frac{1}{4}$ = Spiegelebene liegt um $\frac{1}{4}$ über der Zeichenebene in der Elementarzelle
Gleitspiegelung, achsigal	a, b				Gleitspiegelung um $\bar{a}/2 \parallel a\text{-Achse}$ $\bar{b}/2 \parallel b\text{-Achse}$ $\bar{c}/2 \parallel c\text{-Achse}$ falls die Spiegelebene über d. Zeichenebene liegt, wird die Höhe in Bruchteilen der Gitterkonstante angegeben
	c				keines
Gleitspiegelung, diagonal	n				$\bar{t}(\bar{a}+\bar{b})/2 \parallel (001)$ $\bar{t}(\bar{a}+\bar{c})/2 \parallel (010)$ $\bar{t}(b+c)/2 \parallel (100)$ im tetragonalen und kubischen Fall $\bar{t}(\bar{a}+\bar{b}+\bar{c})/2 \parallel (111)$
Diamant- gleitspiegelung	d				$\bar{t}(\bar{a}+\bar{b})/4$ $\bar{t}(\bar{a}+\bar{c})/4$ $\bar{t}(b+c)/4$ im tetragonalen und kubischen Fall $\bar{t}(\bar{a}+\bar{b}+\bar{c})/4$
		Wirkung einer Spiegelebene \perp zur Projektionsebene: Original- und Bildpunkt werden durch ein Komma voneinander unterschieden. Die Lage der Projektionsebene wird durch + (oberhalb) oder - (unterhalb) beschrieben.			

Símbolos dos planos de simetria

Operação de simetria	símbolo	vertical para o plano do desenho	símbolo paralelo	comentário
Reflexão	m	—	— 1/4	caso o plano de simetria encontra-se acima do plano do desenho, sua altura é indicada em partes da constante do retículo. 1/4 significa que o plano da simetria encontra-se 1/4 acima do plano do desenho dentro da cela elementar.
Plano de reflexão translativo (planos a, b de deslizamento), axial		— — —	— 1/4 3/4 ←	Plano de reflexão translativo por $\bar{a}/2 \parallel$ eixo a $\bar{b}/2 \parallel$ eixo b $\bar{c}/2 \parallel$ eixo c caso o plano de reflexão encontra-se (é situado) acima do plano de desenho, seu montante é indicado em parte da constante do retículo.
c		nenhum	
Plano de reflexão translativo (planos de deslizamento), diagonal	n	— · — · —	— ↗	$\bar{t}(\bar{a}+\bar{b})/2 \parallel (001)$ $\bar{t}(\bar{a}+\bar{c})/2 \parallel (010)$ $\bar{t}(\bar{b}+\bar{c})/2 \parallel (100)$ no caso tetragonal e cúbico $\bar{t}(\bar{a}+\bar{b}+\bar{c})/2 \parallel (111)$
Plano de reflexão translativo (planos de deslizamento), diamante	d	→ · — · — ← · — · —	— ↗ — ↙	$\bar{t}(\bar{a}-\bar{b})/4$ $\bar{t}(\bar{a}-\bar{c})/4$ $\bar{t}(\bar{b}-\bar{c})/4$ no caso tetragonal e cúbico $\bar{t}(\bar{a}-\bar{b}+\bar{c})/4$



Efeito de um plano de reflexão \perp ao plano de projeção:
conto original e de demonstração serão separados por vírgula.
A posição do plano da projeção estão sendo indicada
por + (acima) ou - (abaixo).

Symbolik der Symmetriearchsen

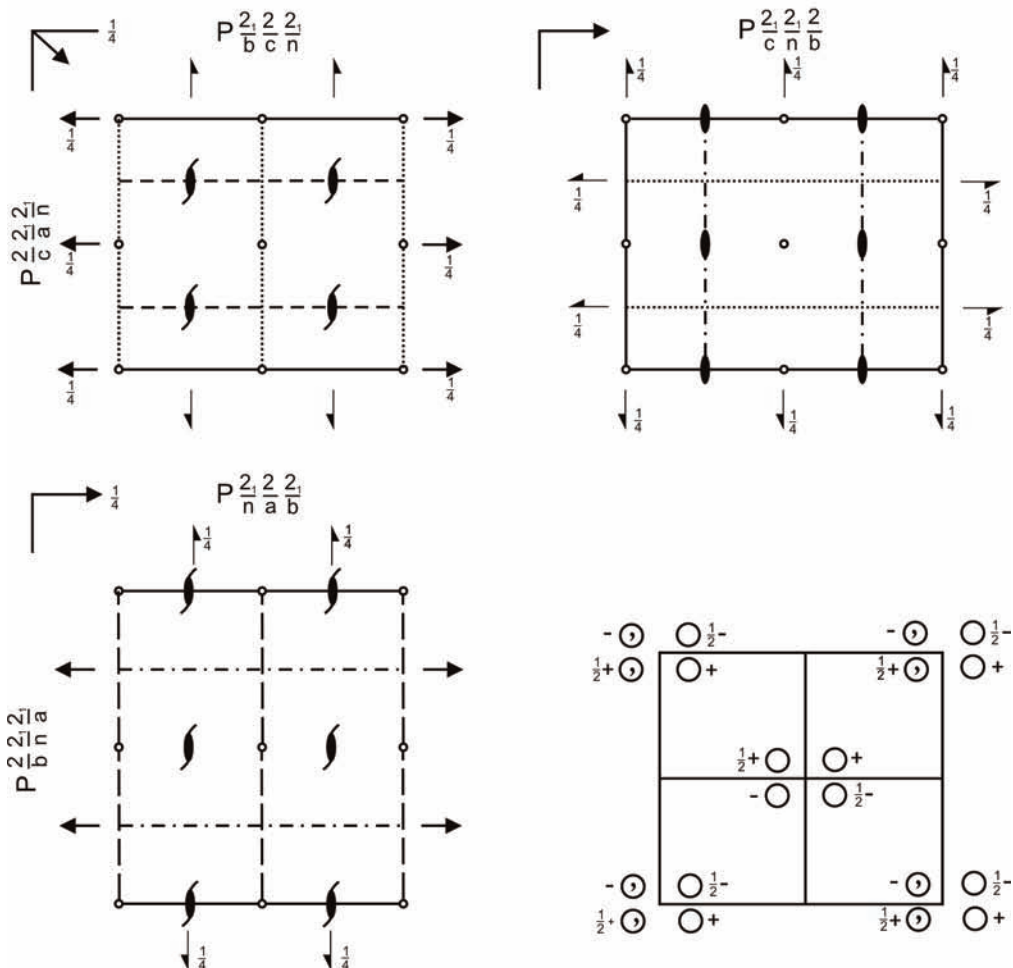
Symmetriearchse	Symbol	graphisches Symbol	Translation II Symmetriearchse bei rechtshändiger Symmetrieeoperation
Symmetriearchse	1		keine
Inversionszentrum	$\bar{1}$	○	keine
2-zählige Drehung	2	●	keine
2-zählige Schraubung	2_1	◐	1/2
3-zählige Drehung	3	▲	keine
3-zählige Schraubung	3_1	▲	1/3
	3_2	▲	2/3
3-zählige Inversionsdrehachse	$\bar{3}$	▲	keine
4-zählige Drehung	4	◆	keine
4-zählige Schraubung	4_1	◆	1/4
	4_2	◆	1/2
	4_3	◆	3/4
4-zählige Inversionsdrehachse	$\bar{4}$	◆	keine
6-zählige Drehung	6	◆	keine
6-zählige Schraubung	6_1	◆	1/6
	6_2	◆	2/6
	6_3	◆	3/6
	6_4	◆	4/6
	6_5	◆	5/6
6-zählige Inversionsdrehachse	$\bar{6}$	◆	keine

Símbolos dos eixos de simetria

Eixo de simetria	Símbolo	Símbolográfico	Translação II Eixo de simetria Operação de simetria no sentido direito
eixo de simetria	1		sem
centro de simetria	$\bar{1}$		sem
rotação (2)	2		sem
eixo de rotação com translação (2) (eixos parafuso)	2_1		1/2
rotação (3)	3		sem
eixo de rotação com translação (3) (eixos parafuso)	3_1		1/3
	3_2		2/3
centro de inversão rotativo (3)	$\bar{3}$		sem
rotação (4)	4		sem
eixo de rotação com translação (4) (eixos parafuso)	4_1		1/4
	4_2		1/2
	4_3		3/4
centro de inversão rotativo (4)	$\bar{4}$		sem
rotação (6)	6		sem
eixo de rotação com translação (6) (eixos parafuso)	6_1		1/6
	6_2		2/6
	6_3		3/6
	6_4		4/6
	6_5		5/6
centro de inversão rotativo (6)	$\bar{6}$		sem

Beispiel einer Raumgruppe **Pbcn**

Pbcn D_{2h}^{14} mmm Orthorhombisches Kristallsystem
 $P\bar{2}/b$ $2/c$ $2_{1}/n$ Patterson-Symmetrie Pmmm



Ursprung bei $\bar{1}$ in $1 c 1$

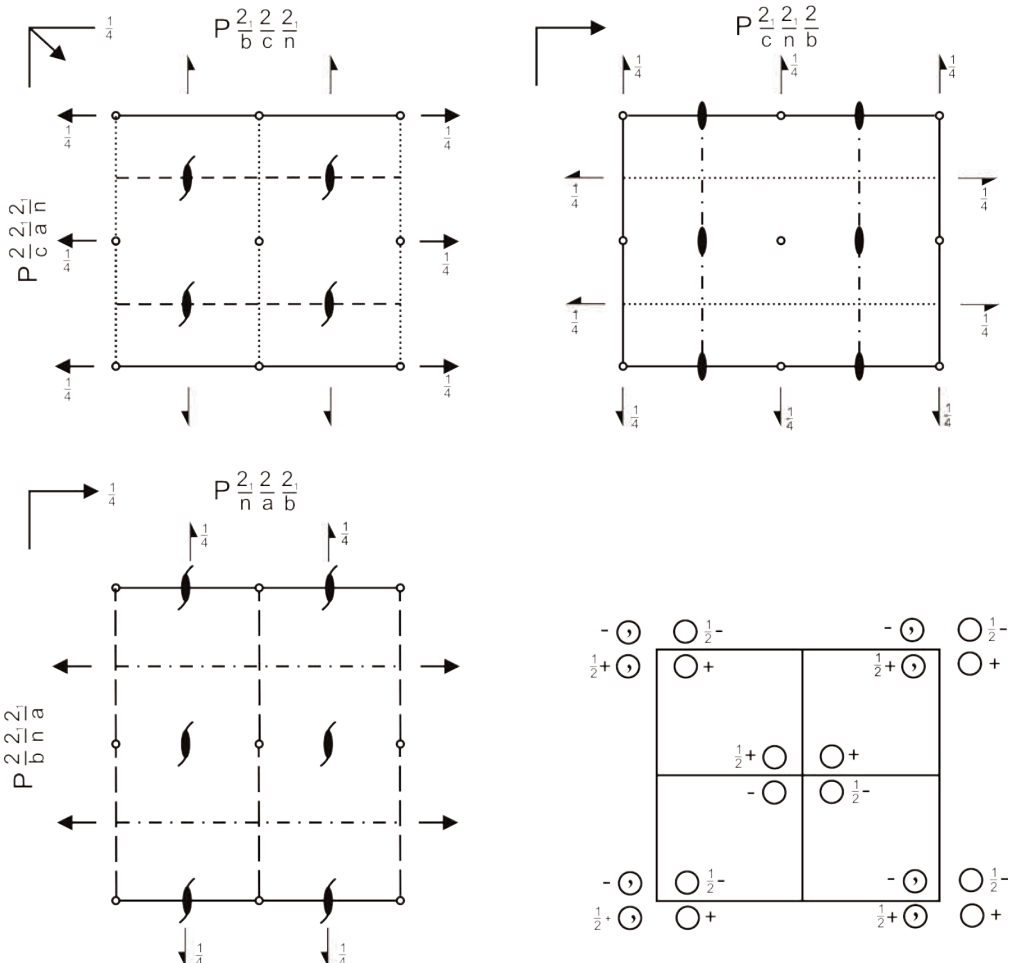
Asymmetrische Einheit $0 \leq x \leq \frac{1}{2}$ $0 \leq y \leq \frac{1}{2}$ $0 \leq z \leq \frac{1}{2}$

Symmetriee Operationen

- | | | | |
|----------------------------|--------------------------|-------------------------------|--------------------------------------|
| (1) 1 | (2) $2(0,0,\frac{1}{2})$ | $\frac{1}{4}, \frac{1}{4}, z$ | (3) $2 0, y, \frac{1}{4}$ |
| (4) $2(\frac{1}{2}, 0, 0)$ | $x, \frac{1}{4}, 0$ | (5) $\bar{1} 0, 0, 0$ | (6) $n(\frac{1}{2}, \frac{1}{2}, 0)$ |
| (7) $c x, 0, z$ | | (8) $b \frac{1}{4}, y, z$ | $x, y, \frac{1}{4}$ |

Exemplo grupo de espaço **Pbcn**

Pbcn D_{2h}¹⁴ mmm Sistema cristalino ortorrômbico
 P 2₁/b 2/c 2₁/n Simetria Patterson Pmmm



Origem: $\overline{1}$ em $1 \text{ c } 1$

Unidade assimétrica $0 \leq x \leq \frac{1}{2} \quad 0 \leq y \leq \frac{1}{2} \quad 0 \leq z \leq \frac{1}{2}$

Operação de simetria

- | | | | |
|----------------|----------------|---------------|------------------|
| (1) 1 | (2) 2(0,0,1/2) | 1/4,1/4,z | (3) 2 0,y,1/4 |
| (4) 2(1/2,0,0) | x,1/4,0 | (5) 1 0,0,0 | (6) n(1/2,1/2,0) |
| (7) c x,0,z | | (8) b 1/4,y,z | x,y,1/4 |

Die 230 Raumgruppen

Kristallsystem	Punktgruppe	Raumgruppen			
Triklin	1 -1	P1 P1			
Monoklin	2 M 2/m	P2 Pm P2/m P2 ₁ /c	P ₂ ₁ C ₂ C _m C _{2/m} C _{2/c}	C2 Cm C2/m Cc P2/c	
Orthorhombisch	222	P222 C222 ₁ I2 ₁ 2 ₁ 2 ₁	P222 ₁ C222 F222	P2 ₂ 2 ₂ I222	
	mm2	Pmm2 Pca2 ₁ Pna2 ₁ Ccc2 Aba2 Iba2	Pmc2 ₁ Pnc2 Pnn2 Amm2 Abm2 Fmm2 Ima2	Pcc2 Pmn2 Cmm2 Abm2 Fdd2 Imm2	Pma2 Pba2 Cmc2 ₁ Ama2 Imm2
	mmm	Pmmm Pmma Pbam Pmmn Cmcm Cmma Immm	Pnnn Pnna Pwn Pbcn Cmca Ccca Ibam	Pccm Pmna Pbcm Pbca Cmmm Fmmm Ibca	Pban Pcca Pnnm Pnma Cccm Fddd Imma
Tetragonal	4	P4 I4 P-4 4/m	P ₄ I ₄ I-4 P4/m I4/m	P4 ₁ I4 ₁ I-4 P4 ₂ m I4 ₁ a	P4 ₂ P4 ₃
	422	P422 P4 ₂ 22 I4 ₂ 22	P42 ₁ 2 P4 ₂ 2 ₂ I4 ₂ 22	P4 ₂ 22 P4 ₃ 22	P4 ₂ 2 ₂ P4 ₃ 2 ₂
	4mm	P4mm P4cc I4mm	P4bm P4nc I4cm	P4 ₂ cm P4 ₂ mc I4 ₁ md	P4 ₂ nm P4 ₂ bc I4 ₁ cd
	-42m	P-42m P-4m2 I-4m2	P-42c P-4c2 I-4c2	P-4 ₂ m P-4b2 I42m	P-42 ₁ c P-4n2 I42d
	4/mmm	P4/mmm P4/mbm P4 ₂ /mmc P4 ₂ /mhc I4/mmm	P4/mcc P4/mnc P4 ₂ /mcm P4 ₂ /mnm I4/mcm	P4/nbm P4/nmm P4 ₂ /nbc P4 ₂ /nmc I4 ₁ /amd	P4/ncc P4/nnc P4 ₂ /nnm P4 ₂ /ncm I4 ₁ /acd
Trigonal	3 -3 32 3m -3m	P3 P-3 P312 P3 ₂ 12 P3m1 R3m P-31m R-3m	P3 ₁ R-3 P321 P3 ₂ 21 P31m R3c P-31c R-3c	P3 ₂ R3 P3 ₁ 2 R32 P3c1 P31c P-3m1	R3
Hexagonal	6 -6 6/m 622 6mm -6m2 6/mmm	P6 P6 ₄ P-6 P6/m P622 P6 ₄ 22 P6mm P-6m2 P6/mmm	P6 ₁ P6 ₃ P6 P6 ₃ /m P6 ₂ 22 P6 ₃ 22 P6cc P-6c2 P6/mm	P6 ₅ P6 ₂ P6 ₅ 22 P6 ₂ 22 P6 ₃ cm P-62m P6 ₃ /mm	P6 ₂ P6 ₂ 22 P6 ₃ mc P-62c P6 ₃ /mmc
Kubisch	23 m-3 432 -43m m-3m	P23 I2 ₃ Pm-3 Im-3 P432 I432 P-43m F-43c Pm-3m Fm-3m Im-3m	F23 I23 Pn-3 Pa-3 P4 ₂ 32 P4 ₃ 2 F-43m I-43d Pn-3n Fm-3c Ia-3d	I23 Ia-3 Fm-3 Ia-3 F432 P4 ₃ 2 I-43m P-43n	P2 ₃ Fd-3 F4 ₃ 2 I4 ₃ 2 P-43n
				Pm-3n Fd-3m	Pn-3m Fd-3c

230 grupos espaciais

Sistemas cristalinos	Grupo de pontos ou classes cristalinas	Grupo espaciais				
Triclinico	1 -1	P1 P1				
Monoclínico	2 M 2/m P2 ₁ /c	P2 Pm P2/m C2/c	P2 ₁ Pc P2 ₁ /m C2/c	C2 Cm C2/m	Cc P2/c	
Ortorombico	222 mm2 mmm	P222 C222 I2 ₁ 2 ₁ 2 ₁ Pmm2 Pca ₂ Pna ₂ Ccc2 Aba2 Iba2 Pmmm Pmma Pbam Pmmn Cmcm Cmma Immm	P222 ₁ C222 F222 Pmc ₂ ₁ Pnc2 Pnn2 Amm2 Abm2 Fdd2 Ima2 Pnnn Pnna Pbcm Pbcn Cmca Ccca Ibam	Pcc2 Pmn ₂ Cmm2 Abm2 Fdd2 Pccm Pmna Pbcm Pbca Cmmm Fmmm Ibca	P2 ₁ 2 ₂ 2 F222 Pma2 Pba2 Cmc ₂ Ama2 Imm2 Pban Pcca Pnnm Pnma Cccm Fd _{dd} Imma	P2 ₁ 2 ₁ 2 ₁ I222 Pma2 Pba2 Cmc ₂ Ama2 Imm2 Pban Pcca Pnnm Pnma Cccm Fd _{dd} Imma
Tetragonal	4 -4 4/m 422 4mm -42m 4/mmm	P4 I4 P-4 P4/m I4/m P422 P4 ₂ 22 I422 P4mm P4cc I4 mm P-42m P4m2 I-4m2 P4/mmm P4/mbm P4 ₂ /mmc P4 ₂ /mbc I4/mmm	P4 ₁ I4 ₁ I-4 P4 ₂ m I4 ₁ /a P4 ₂ .2 P4 ₂ .2 ₂ I4 ₁ 22 P4bm P4nc I4cm P-42c P4c2 I-4c2 P4/mcc P4/mnc P4 ₂ /mcm P4 ₂ /mhc I4/mcm	P4 ₂ P4/n P4 ₂ /n P4 ₂ .22 P4 ₂ .2 ₂ I4 ₁ 22 P4 ₂ cm P4 ₂ mc I4 ₁ md P-42 ₁ m P4b2 I-42m P4/nbm P4/nmm P4 ₂ /nbc P4 ₂ /hmc I4 ₁ acd	P4 ₃ P4 ₂ /n P4 ₂ .2 ₂ P4 ₂ .2 ₁ P4 ₂ .2 I-42d P4/nnc P4/ncc P4 ₂ /nnm P4 ₂ /hcm I4 ₁ acd	
Trigonal	3 -3 32 3m -3m	P3 P-3 P312 P3 ₂ 12 P3m1 R3m P-31m R-3m	P3 ₁ R-3 P321 P3 ₂ 21 P31m R3c P-31c R-3c	P3 ₂ P3 ₁ 2 R32 P3c1 P31c P-3m1	R3 P3 ₂ 1 P3c1 P31c P-3c1	
Hexagonal	6 -6 6/m 622 6mm -6m2 6/mmm	P6 P6 ₄ P-6 P6/m P622 P6 ₂ 22 P6mm P-6m2 P6/mmm	P6 ₁ P6 ₃ P6 ₅ P6 ₂ 22 P6 ₂ 22 P6 ₃ cm P-62m P6 ₃ /mm	P6 ₂ P6 ₂ 22 P6 ₂ 22 P6 ₃ cm P-62c P6 ₃ /mmc		
Cúbico ou Isométrico	23 m-3 432 -43m m-3m	P23 I2 ₁ 3 Pm-3 Im-3 P432 I432 P-43m F-43c Pm-3m Fm-3m Im-3m	F23 Pn-3 Pa-3 P4 ₃ 2 P4 ₃ 2 F-43m I-43d Pn-3n Fm-3c Ia-3d	I23 Fm-3 Ia-3 F432 P4 ₃ 2 I43m I43d Pm-3n Fd-3m	P2 ₁ 3 Fd-3 F4 ₃ 2 I4 ₁ 32 P-43n Pn-3m Fd-3c	

Literatur

- Arroyo, M. I. & Hahn T. (2013): International Tables for Crystallography: Space-Group Symmetry. Brief Teaching Edition of Volume A, Wiley-Blackwell.
- Aslanov, L.A, Fetisov, G.V. & Howard, J.A. K. (1998): Crystallographic Instrumentation. OUP/ International Union of Crystallography.
- Backhaus, K.-O. (1972): Wörterbuch Kristallografie. Englisch-Deutsch-Französisch-Russisch. Verlag Technik, Berlin.
- Bernstein, J. (2008): Polymorphism in Molecular Crystals. Oxford University Press, Oxford.
- Berger, M. & Ehrenberg, L. (1981): Theorie und Anwendung der Symmetriegruppen. BSB B.G. Teubner Verlagsgesellsch., Leipzig.
- Berry, L.G. & Mason, B. (1959): Mineralogy. W.H. Freeman.
- Bloss, F.D. (1971): Crystallography and Crystal Chemistry. Holt Rinehart & Winston, New York.
- Boldyreva, E. (2010): High-Pressure Crystallography: From Fundamental Phenomena to Technological Applications. NATO Science for Peace and Security Series - B: Physics and Biophysics, Springer Verlag.
- Borchardt-Ott, W. (1995): Kristallographie. Springer Verlag.
- Borges, F.S. (1980): Elementos de cristalografia. Fundação Calouste Gulbenkian, Lisboa.
- Bruhns, W. & Ramdohr, P. (1965): Kristallographie. 6. Aufl., Walter de Gruyter, Berlin.
- Brown, I.D. (2006): The Chemical Bond in Inorganic Chemistry: The Bond Valence Model. OUP Oxford.
- Bunn, C.W. (1961): Chemical Crystallography. 2. Aufl., Clarendon Press, Oxford.
- Burkhardt, J.J. (1947): Die Bewegungsgruppen der Kristallographie. Birkhäuser Verlag, Basel.
- Burkhardt, J.J. (1988): Die Symmetrie der Kristalle. Birkhäuser Verlag, Basel.
- Burns, G. & Glasser, A.M. (1978): Space Groups for Solid State Scientists. Academic Press, New York.
- Burzlaff, H. & Zimmermann, H. (1986): Kristallsymmetrie, Kristallstruktur. R.Merkel Verlag, Erlangen.
- Chatterjee, S.K. (2008): Crystallography and the Worls of Symmetry. Berlin, Springer.
- Clegg, W., Blake, A.J., Gould, R.O. & Main, P. (2009): Crystal Structure Analysis, Principles and Practice. Oxford Science, IUCR.
- Deer, W.A., Howie, R.A. & Zussman,J. (1992): An introduction to the rock-forming minerals. Essex, Longman Scientific & Technical.
- Dent Glasser, L.S. (1977): Crystallography and ist Applications. New York, Van Nostrand.
- De Graef, M. & McHenry, M. E. (2012): Structure of Materials: An Introduction to Crystallography, Diffraction and Symmetry. Cambridge University Press.
- Donaldsen, J.D. & Ross, S.D. (1972): Symmetrie und Stereochemistry. London.
- Dorain, P.B. (1972): Symmetrie und anorganische Strukturchemie. Berlin Akademie-Verlag.
- Dyar, M.D. & Gunter, M.E. (2008): Mineralogy and optical mineralogy. Mineralogical Society of America, CD-ROM.

- Eckert, E. & Lindner, J.H. (1976): Strukturen der Materie und ihre Symmetrie. Bildstudio, Nieder-Ramstadt.
- Fabian, E. (1986): Die Entdeckung der Kristalle. Deutscher Verlag für Grundstoffindustrie, Leipzig.
- Ferraris, G., Makovicky, E. & Merlino S. (2008): Crystallography of Modular Materials. IUCR 15.
- Gay, P. (1972): The Crystalline State. Oliver and Boyd, Edinburgh.
- Giacovazzo, C. (2011, Ed.): Fundamentals of Crystallography. Oxford University Press, Oxford.
- Girolami, S. G. (2013): X-Ray Crystallography. University Science Books U.S.
- Glusker, J. P. & Trueblood, K. N. (2010): Crystal Structure Analysis. Oxford University Press, Oxford.
- Gottstein, G. (2007): Physikalische Grundlagen der Materialkunde. Springer Verlag, Berlin.
- Groth, P.H. von (2007): Tabellarische Übersicht der Mineralien nach ihren krystallographisch-chemischen Beziehungen. VDM Verlag Dr. Müller, Saarbrücken.
- Groth, P.H. von (1966): Entwicklungsgeschichte der mineralogischen Wissenschaften (Nachdruck d. Ausgabe von 1926). Springer Verlag, Berlin.
- Hahn, T. (2005): Complete Printed Set of International Tables for Crystallography: International Tables for Crystallography, Volume A: Space Group Symmetry.
- Hammond, C. (2009): The basics of crystallography and diffraction. 3. edition. International Union of Crystallography, Oxford Science Publications, Oxford University Press, Oxford.
- Hochleitner, R., Philipsborn, H. & Weiner, K.L. (1996): Minerale. Bestimmen nach äußeren Kennzeichen. Schweizerbart, Stuttgart.
- Jaffe, H.H. & Orchin, M. (1973): Symmetrie in der Chemie. 2. Aufl., Hüthig-Verlag, Heidelberg.
- Janssen, T., Chapuis, G. & de Boissieu, M. (2007): Aperiodic Crystals From Modulated Phases to Quasicrystals. IUCR 20.
- Julian, M.M. (2008): Foundations of Crystallography with Computer Applications. Crc Pr Inc.
- Kelly, A.A. & Knowles, K.M. (2012): Crystallography and Crystal Defects. John Wiley & Sons, New York.
- Kleber, W., Bautsch, H.-J. & Bohm, J. (1998): Einführung in die Kristallographie. 18. Auflage. Verlag Technik, Berlin.
- Klein, C. & Dutrow, B. (2007): Manual of Mineral Science. 23rd Edition. John Wiley & Sons, New York.
- Klein, C. (1989): Minerals and rocks exercises in crystallography, mineralogy and hand specimen petrology. Revised edition, John Wiley & Sons, New York.
- Klemm, M. (1982): Symmetrien von Ornamenten und Kristallen. Springer Verlag, Berlin.
- Knox, R.S. & Gold, A. (1964): Symmetry in the Solid State. W.A. Benjamin, New York Amsterdam.
- Krivovichev, S.V. (2009): Krivovichev Structural Crystallography of Inorganic Oxysalts. IUCR 22.
- Loeb, A.L. (1971): Color and Symmetry. John Wiley & Sons, New York.

- Ludwig, W. & Falter, C. (1988): Symmetries in Physics. Group Theory Applied to Physical Problems. Springer-Verlag, Berlin.
- McKie, S. & McKie, Chr. (1974): Crystalline Solids. Thomas Nelson, London.
- Muller, O. & Roy, R. (1974): Crystal chemistry of non-metallic materials. Springer Verlag, Berlin.
- Nicolle, J. (1954): Die Symmetrie und ihre Anwendung. Deutscher Verlag der Wissenschaften, Berlin.
- Niimura, N. & Podjarny, N. (2011): Neutron Protein Crystallography Hydrogen, Protons, and Hydration in Bio-macromolecules. Oxford University Press, Oxford.
- Oppermann, E. (2004): Kristalle und ihre Formen. Band 1, KristalloGrafik Verlag, Achberg.
- Oppermann, E. (2004): Kristalle und ihre Formen. Band 2, KristalloGrafik Verlag, Achberg.
- Oppermann, E. (2009): Kristalle und ihre Formen. Band 3, KristalloGrafik Verlag, Achberg.
- Pecharsky, V.K. & Zavalij, P. (2009): Fundamentals of Powder Diffraction and Structural Characterization of Materials. 2. Auflage, Springer Verlag, New York.
- Phillips, F.C. (1971): An Introduction to Crystallography. 4. Aufl., Oliver and Boyd, Edinburgh.
- Prince, E. (1982): Mathematical Techniques in Crystallography and Materials Science. Springer-Verlag, Berlin.
- Putnis, A. (1993): Introduction to mineral sciences. Cambridge University Press, New York.
- Quenstedt, F.A. (2007): Methode der Kristallographie. VDM Verlag Dr. Müller, Saarbrücken.
- Rath, R. (1965): Kristallographie. Philips, Eindhoven.
- Rohdes, G. (2006): Crystallography Made Crystal Clear. A Guide for Users of Macromolecular Models. Academic Press.
- Rosenfeld, B.A. & Sergejewa, N.D. (1978): Stereographie Projection. Izd. Mir ,Moskva.
- Rösler, H.-J. (1985): Lehrbuch der Mineralogie. 3. Aufl., Deutscher Verlag für Grundstoffindustrie, Leipzig.
- Rösler, H.-J. (1991): Lehrbuch der Mineralogie. 5. Aufl., Spectrum Akademischer Verlag, Berlin.
- Rupp B. (2009): Biomolecular Crystallography: Principles, Practice, and Application to Structural Biology. Taylor & Francis Ltd.
- Sands, D.E. (1994): Introduction to Crystallography. New York: W. A. Benjamin 1969. Reprint: Dover Pub. Inc.
- Scholz, E. (1990): Symmetrie, Gruppe, Dualität. Birkhäuser Verlag, Basel.
- Schroeder, R. (1950): Krystallometrisches Praktikum. Springer-Verlag, Berlin.
- Schumann, H. (1980): Kristallgeometrie. Deutscher Verlag für Grundstoffindustrie, Leipzig.
- Schwarzenbach, D. (1997): Crystallography. John Wiley & Sons.
- Schwarzenberger, R.L.E. (1980): N-dimensional Crystallography. Pitman, San Francisco.
- Shmueli, U. & Weiss G.H. (1995): Introduction to Crystallographic Statistics. OUP/International Union of Crystallography.
- Sommerfeldt, E. (1906): Geometrische Kristallographie. Wilhelm Engelmann, Leipzig.

- Steadman, R. (1982): Crystallography. Van Nostrand, New York.
- Strunz, H. & Nickel, E.H. (2001): Mineralogical Tables. Chemical-Structural Mineral Classification System. 9. Edition, Schweizerbart, Stuttgart.
- Tertsch, H. (1954): Die stereographische Projektion in der Kristallkunde. Verlag für Angew. Wissensch., Wiesbaden.
- Turowski, S. & Borchardt, R. (1999): Symmetrielehre der Kristallographie. Oldenbourg-Verlag, München.
- Vainshtein, B.K. (1983, Ed.): Modern Crystallography. Vol. 2: Structure of Crystals. Springer-Verlag, Berlin.
- Verma, A.R. & Krishna, P. (1966): Polymorphism and Polytypism in Crystals. John Wiley & Sons, New York.
- Van Smaalen, S. (2007): Incommensurate Crystallography. IUCR 21.
- Li W., Zhou G. & Mak T. (2008): Advanced Structural Inorganic Chemistry. Oxford Univ. Press, Oxford.
- Weiss, A. & Witte, U. (1983): Kristallstruktur und chemische Bindung. Verlag Chemie, Weinheim/Berstr.
- Weyl, H. (1952): Symmetrie. University Press, Princeton.
- Wondratschek, H. & Müller, U. (2010): International Tables for Crystallography: Volume A1: Symmetry Relations between Space Groups. John Wiley & Sons, New York.
- Wyckoff, R.W.G. (1962-1968): Crystal Structures. Vol. 1-6, 2. Aufl., Interscience Publishers, New York.
- Zolotoyabko, E. (2011): Basic Concepts of Crystallography. Wiley-VCH Verlag, Weinheim.

